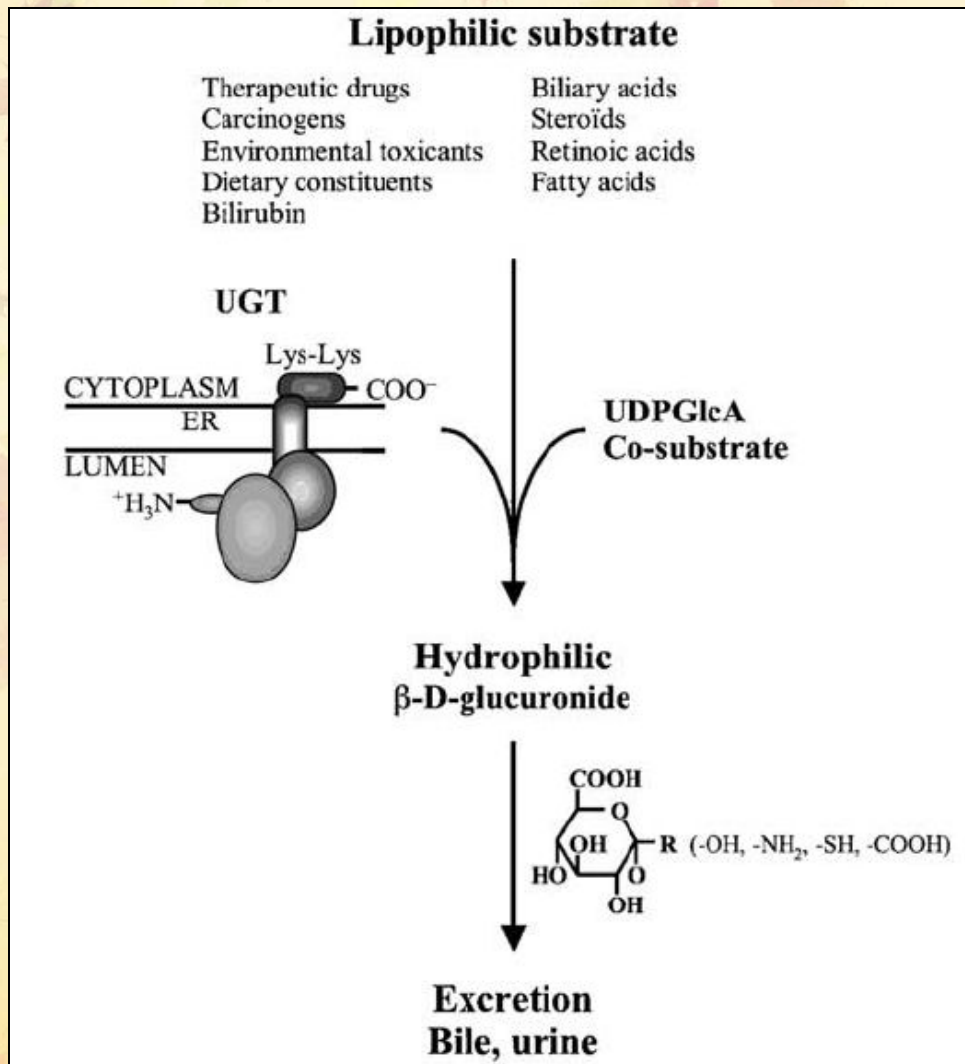


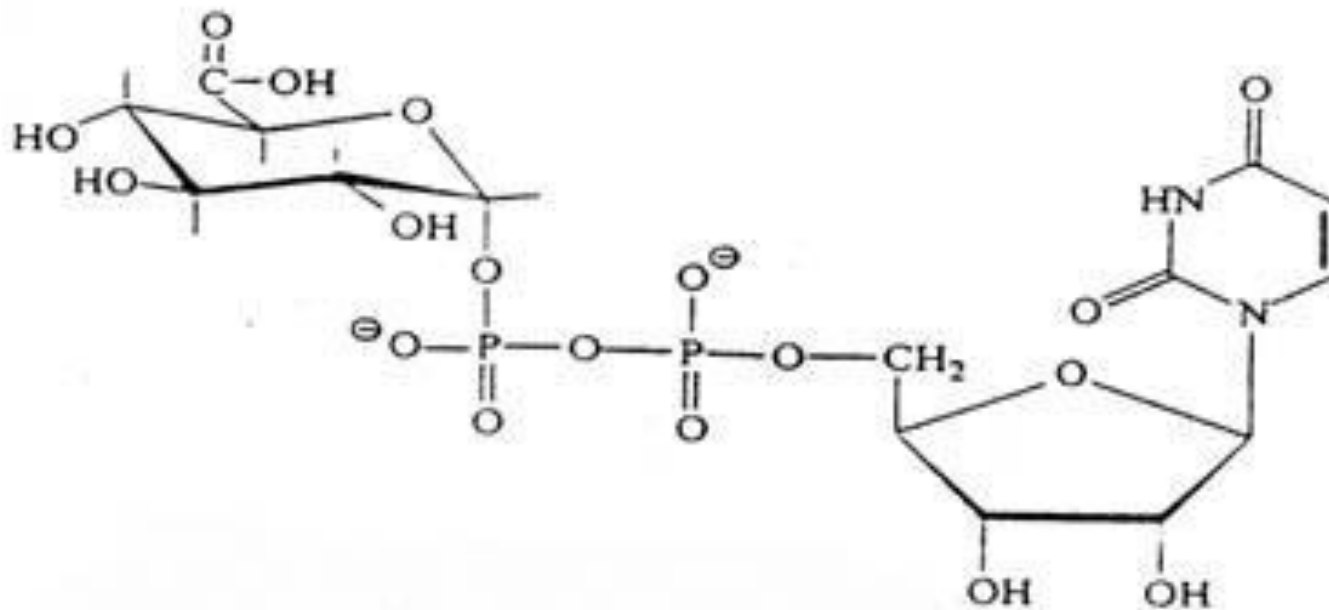
2-я фаза метаболизма ксенобиотиков и эндогенных соединений

- Глюкуронидация
- Сульфонирование
- Ацетилирование
- Метилирование
- Конъюгация с глутатионом (синтез меркаптуровой кислоты)
- Конъюгация с аминокислотами, такими как глицин, тауриновая, глутаминовая кислоты.

УДФ-глюкуронозил-трансфераза (UGT)

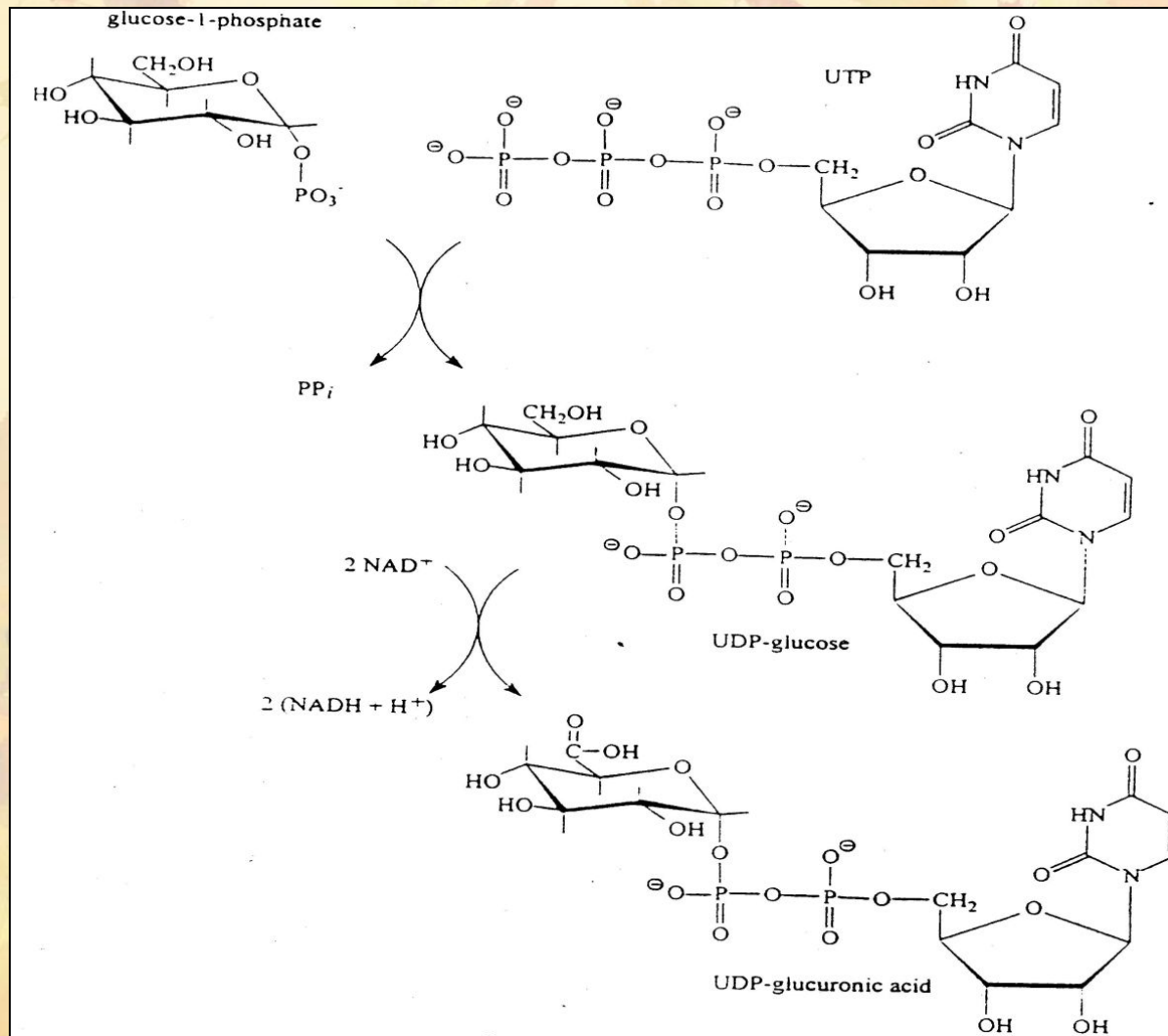


1. Реакции глюкуронидации Кофактор

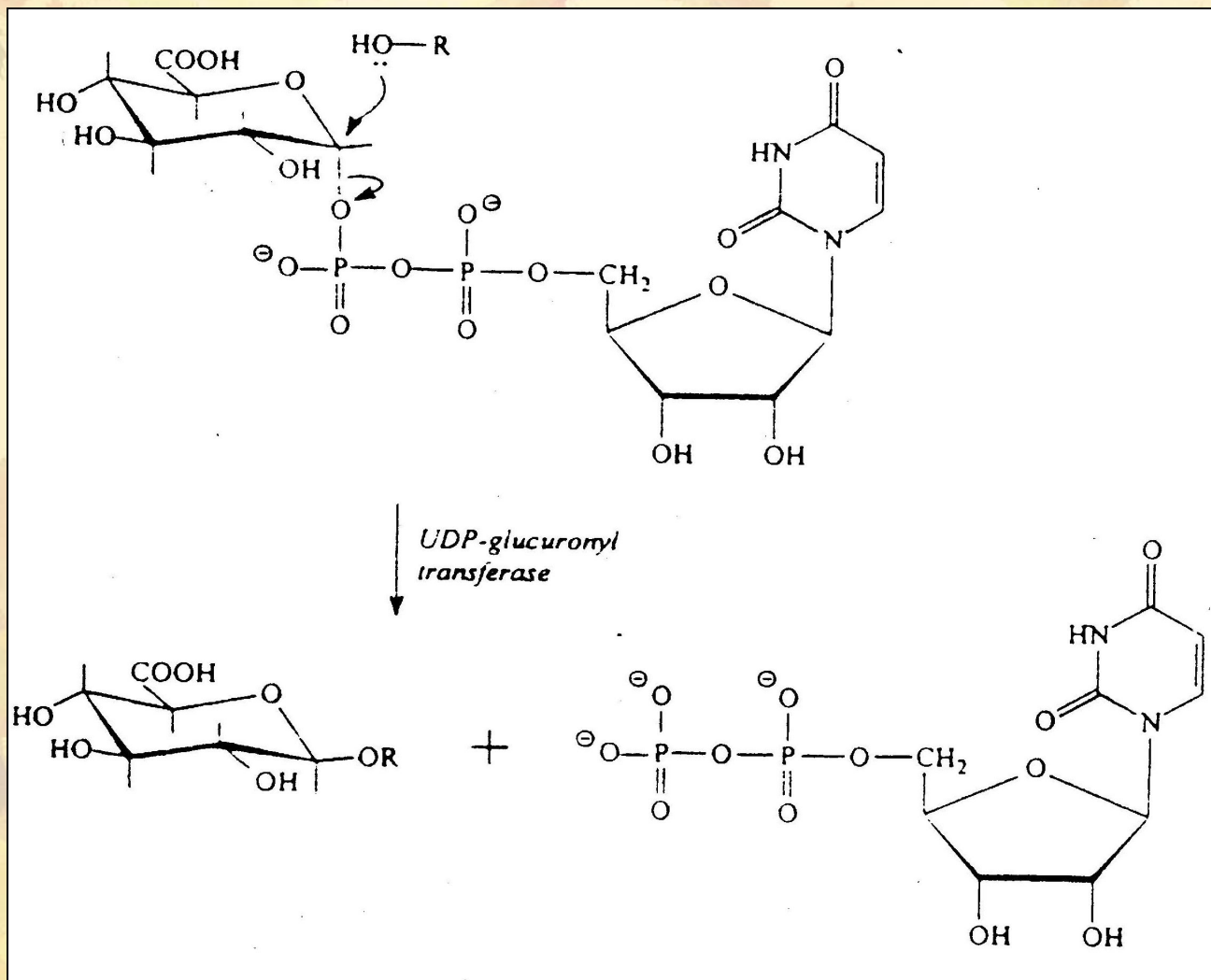


Уридин-5'-дифосфо-α-D-глюкуроновая к-та
(UDP-GA)

Синтез УДФ-глюкуроновой кислоты



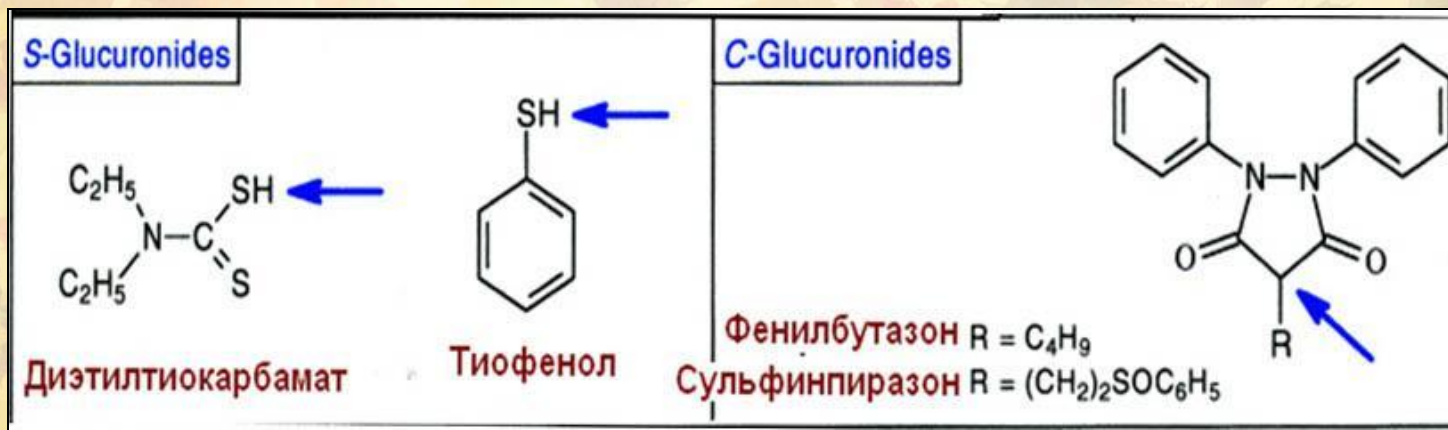
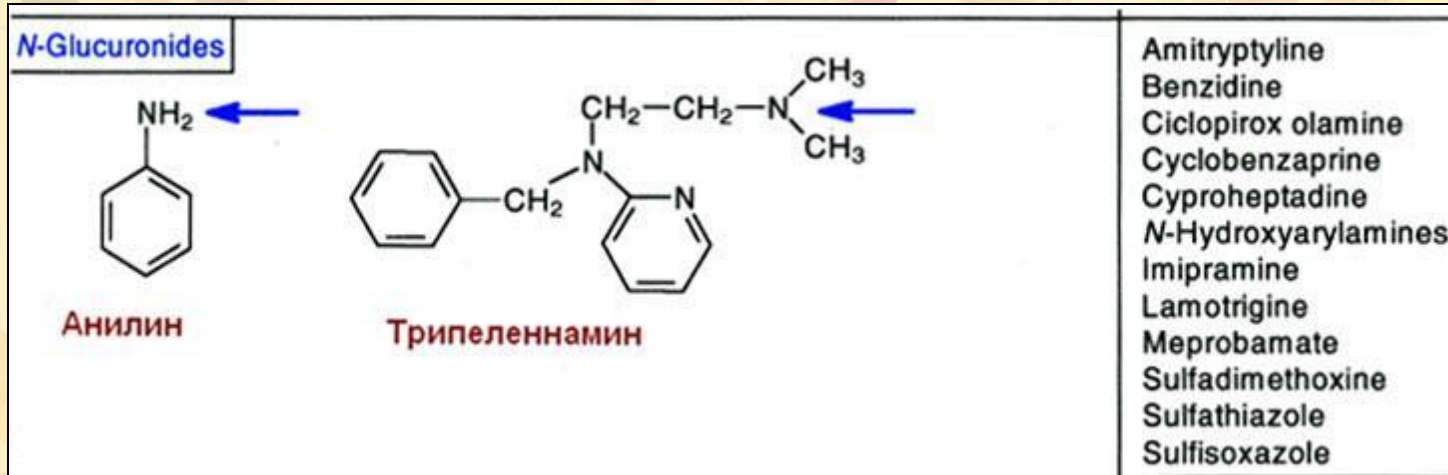
Реакция глюкуронидации



Примеры реакций

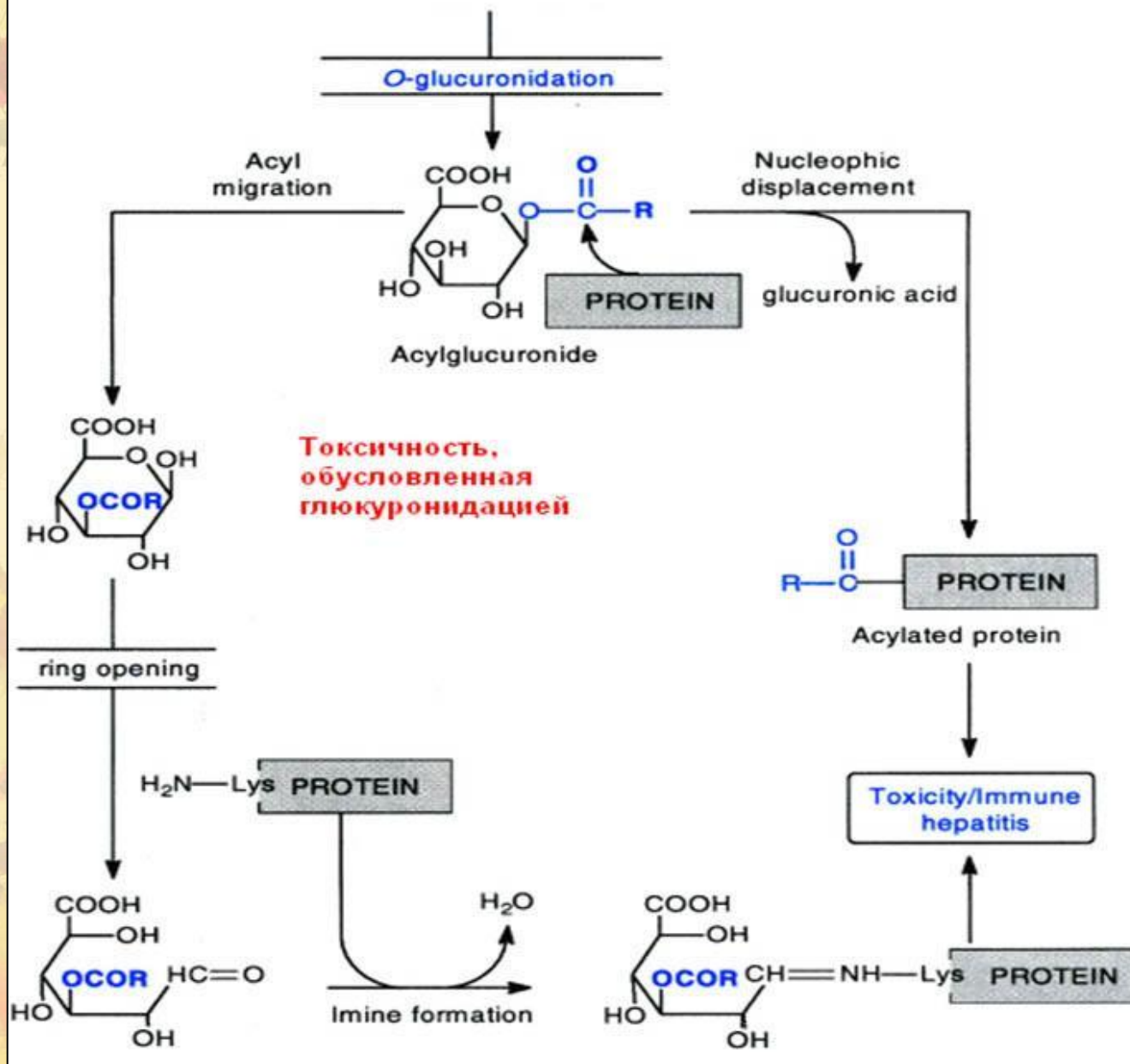
O-Glucuronides (ethers)		Other Examples
<p>Нафтол</p> <p>Дигитоксигенин моно-дигитоксозид (dt₁)</p>		Acetaminophen Codeine Dextrophan Diethylstilbestrol Estrone Hexobarbital Methylphenylcarbinol Morphine Naloxone 4-Nitrophenol Oxazepam Phenolphthalein Progesterone Propofol Propranolol Temazepam Testosterone Thyroxine Trichloroethanol
<p>Хлорамфеникол</p>		
O-Glucuronides (esters)	<p>Билирубин</p>	Benoxaprofen Diclofenac Diflunisal Etodolac Ketoprofen Lopanoic acid Naproxen Suprofen Tolmetin Valproic acid Zomepirac

Примеры реакций



R-COOH

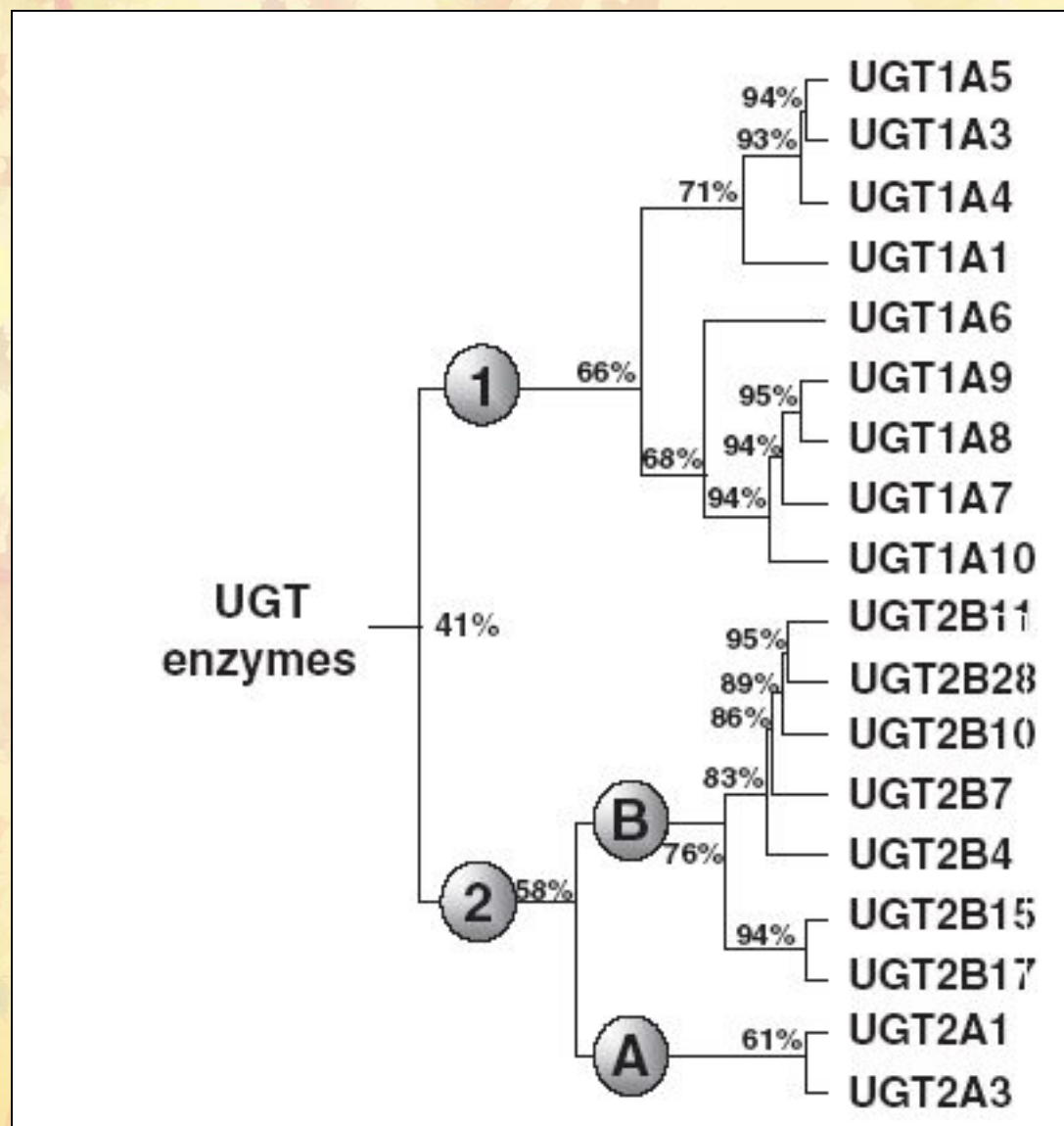
Например, диклофенак



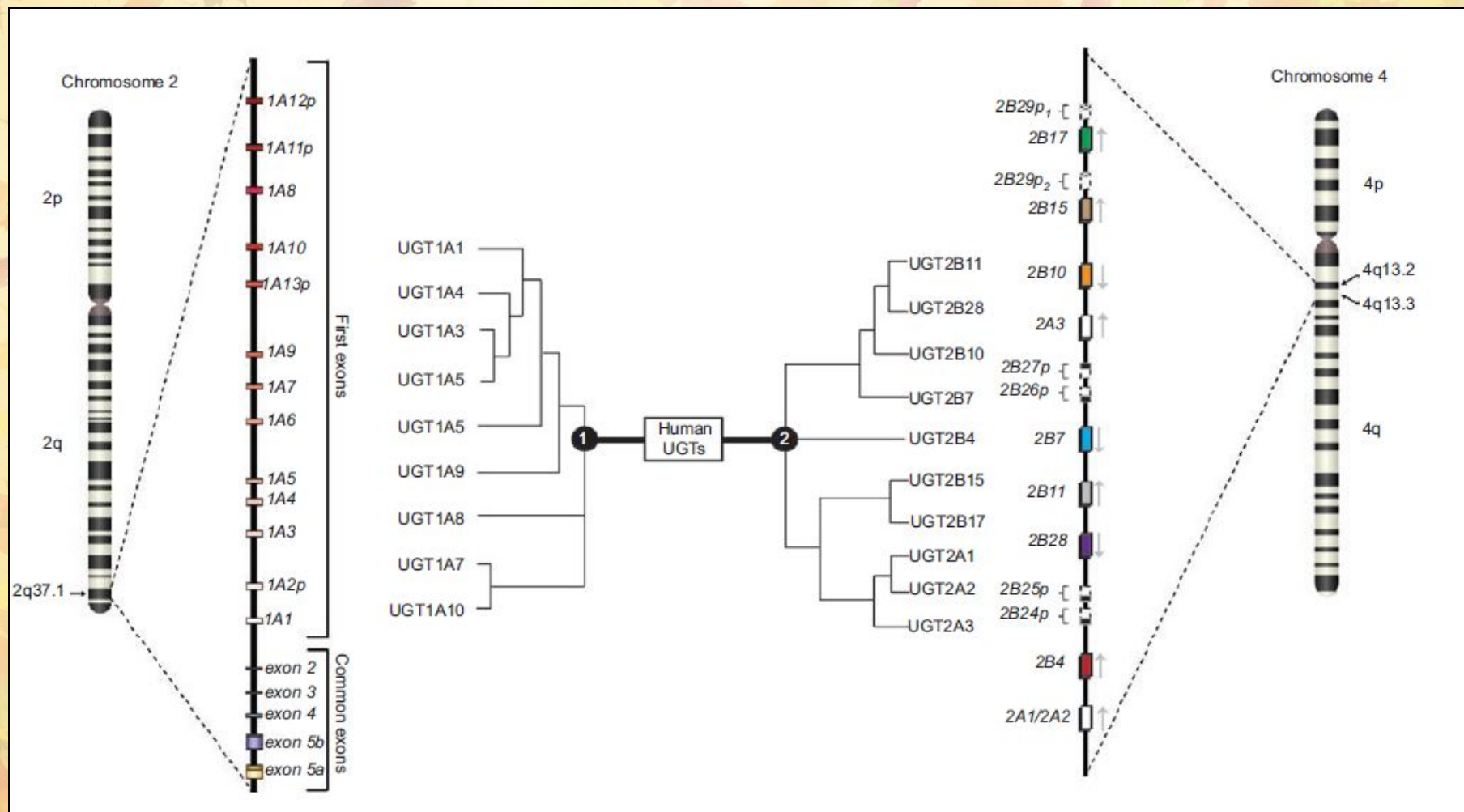
Субстраты для UGTs (UGTs; ЕС 2.4.1.17)

- **Эндогенные субстраты:** билирубин, стероидные гормоны, тиреоидные гормоны, желчные кислоты, жирорастворимые витамины.
- **Экзогенные субстраты:** лекарства, химические канцерогены, загрязнители окружающей среды, компоненты диеты)

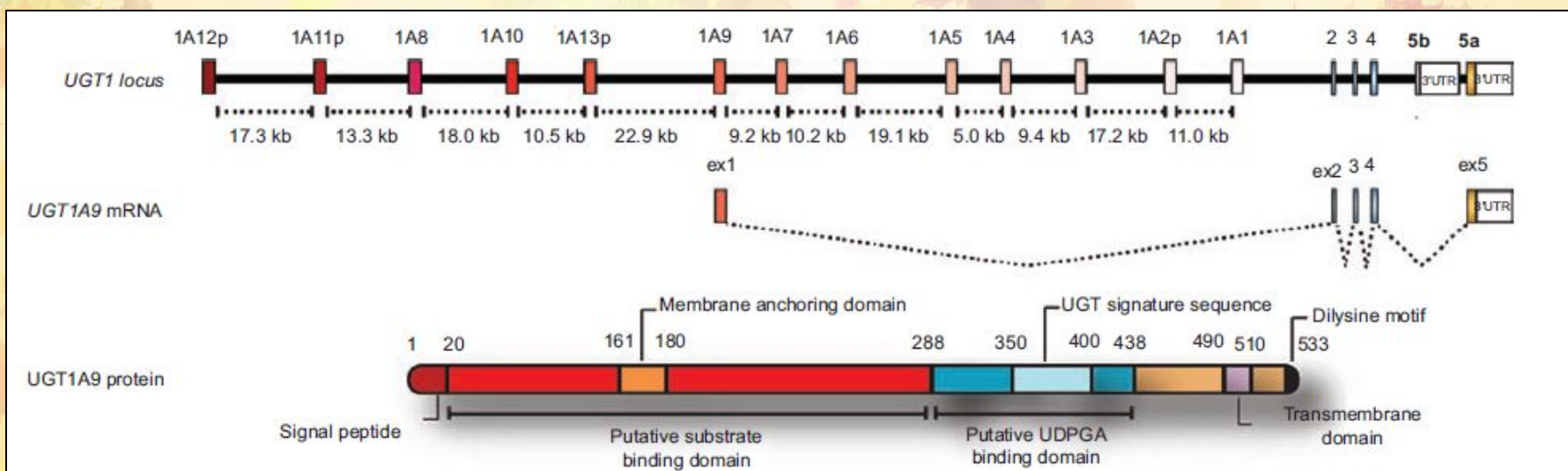
Классификация UGTs человека



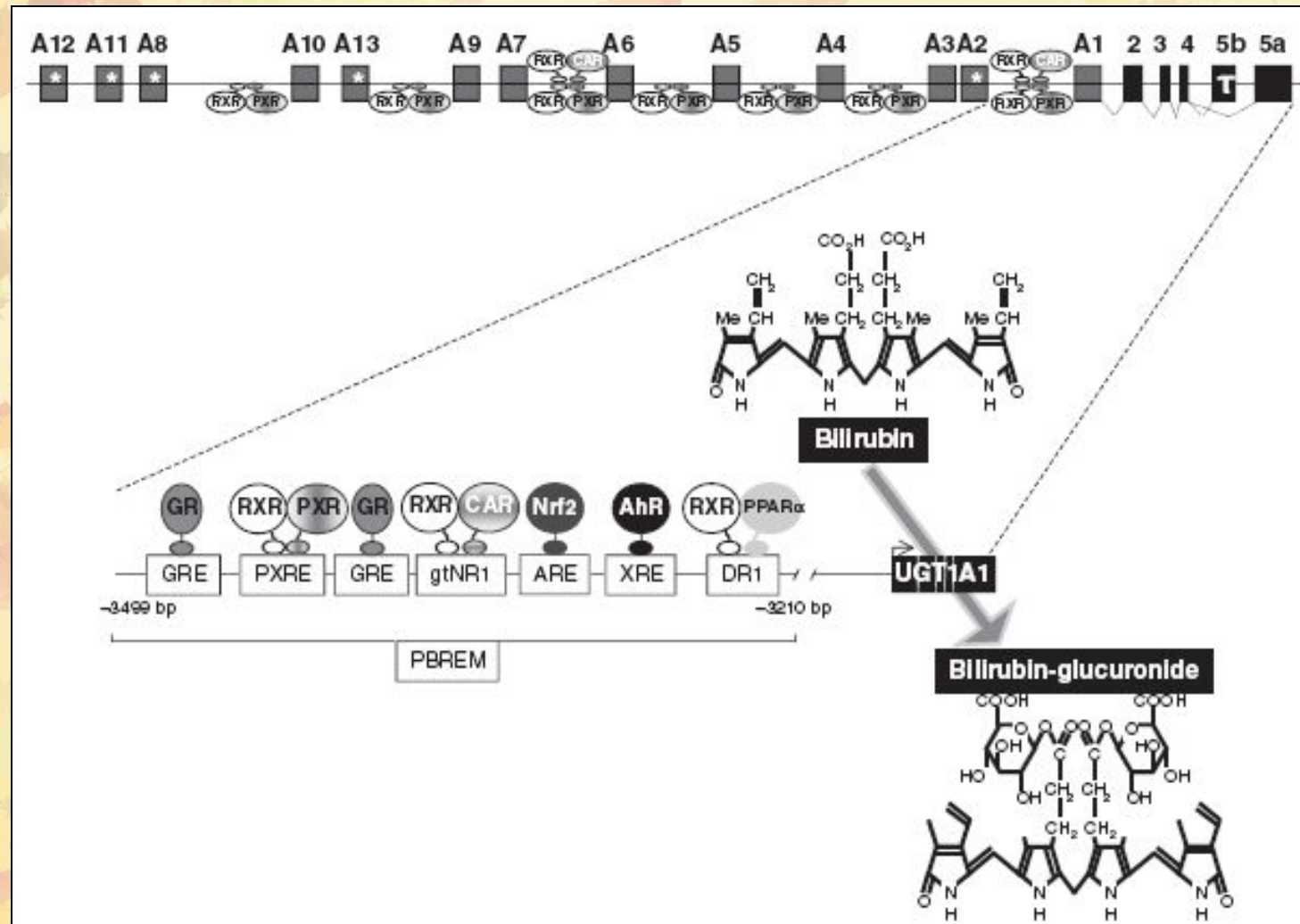
Локализация генов



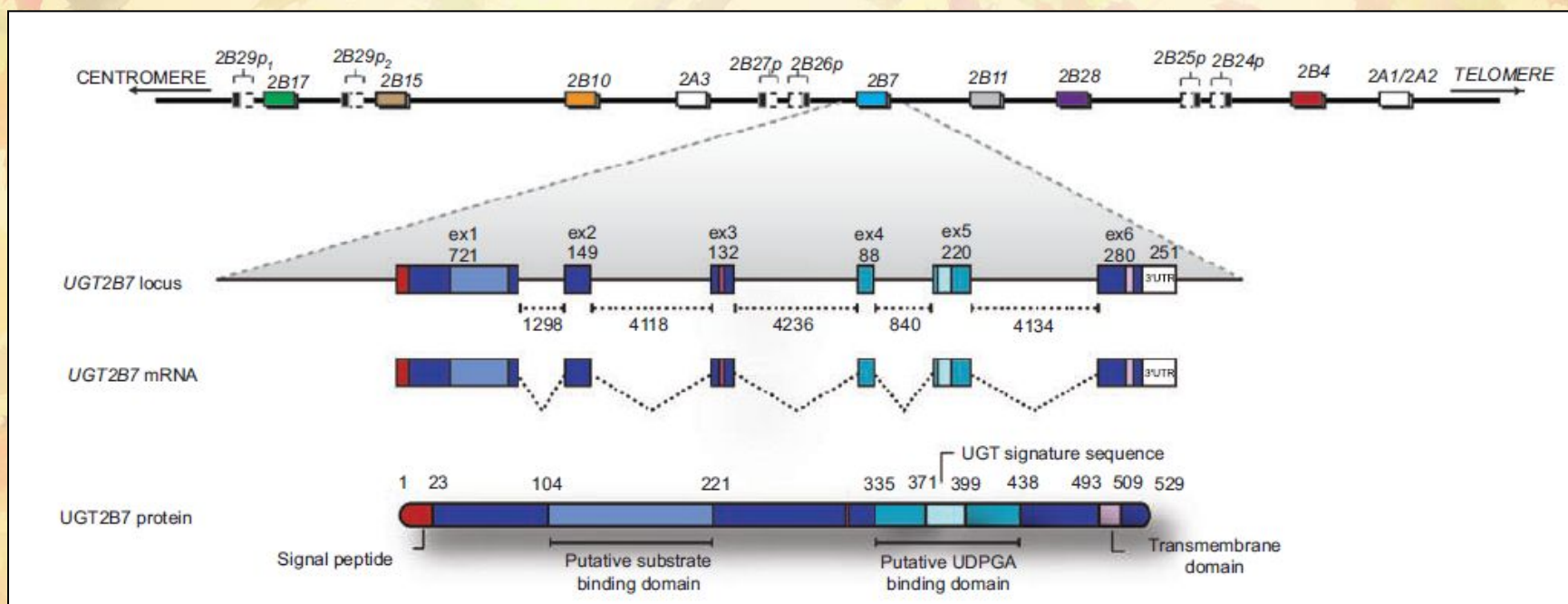
Свойства UGT1A



Свойства UGT1A1



Свойства UGT2B



Регуляция экспрессии генов ферментов 2-й фазы

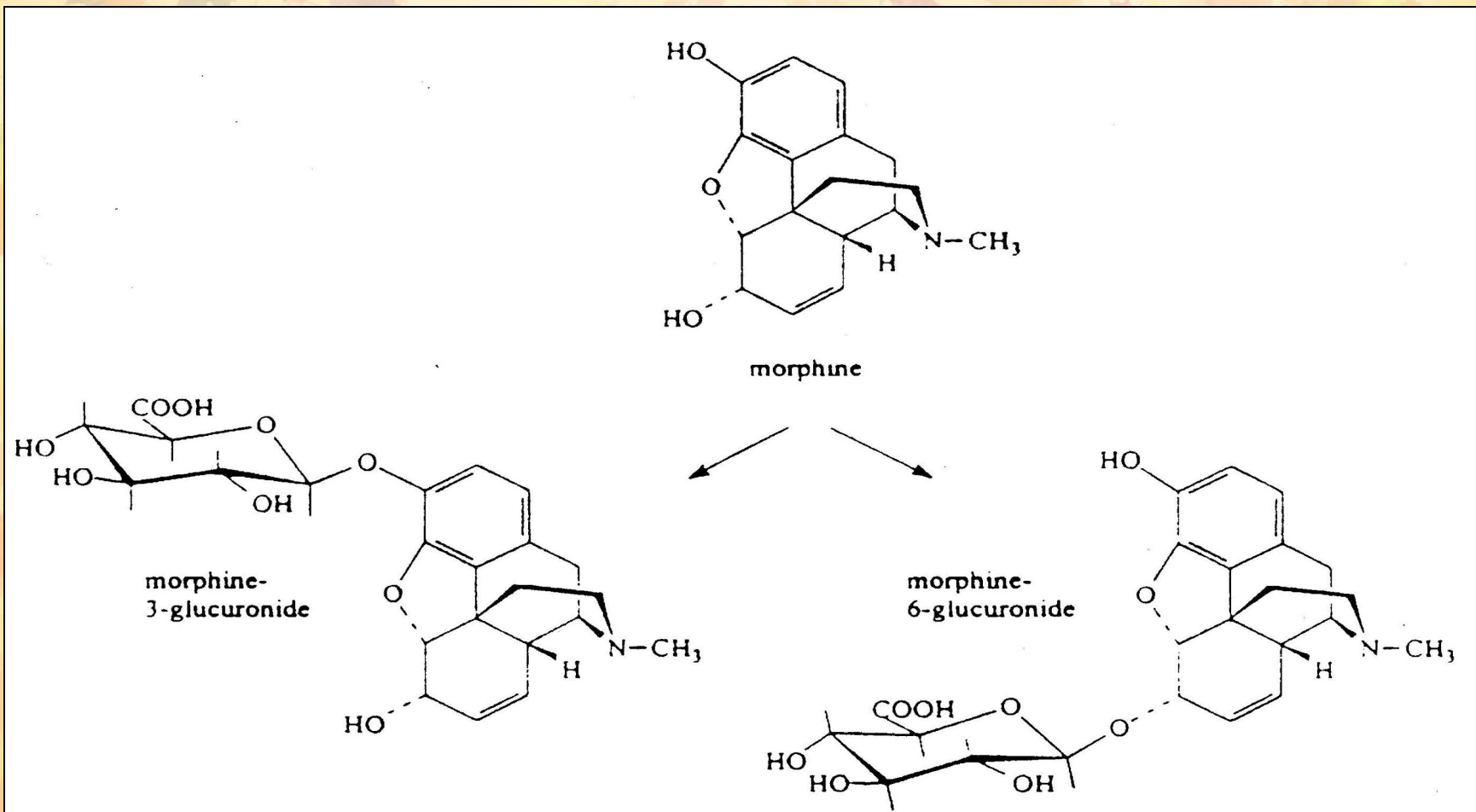
PXR^a

UGT1A1 ↑ (HepG2, Caco-2, L-I, Tg mice)
UGT1A3 ↑ (HepG2, Caco-2, L-I, Tg mice)
UGT1A4 ↑ (HepG2, Caco-2, L-I, Tg mice)
UGT1A6 ↑ (HepG2, L-I, Tg mice)
UGT1A9 ↑ (L-I, Tg mice)
UGT1A5 ↑ (I, Tg mice)
UGT1A10 ↑ (I, Tg mice)
SULT2A1 ↑ (HepG2, HH)

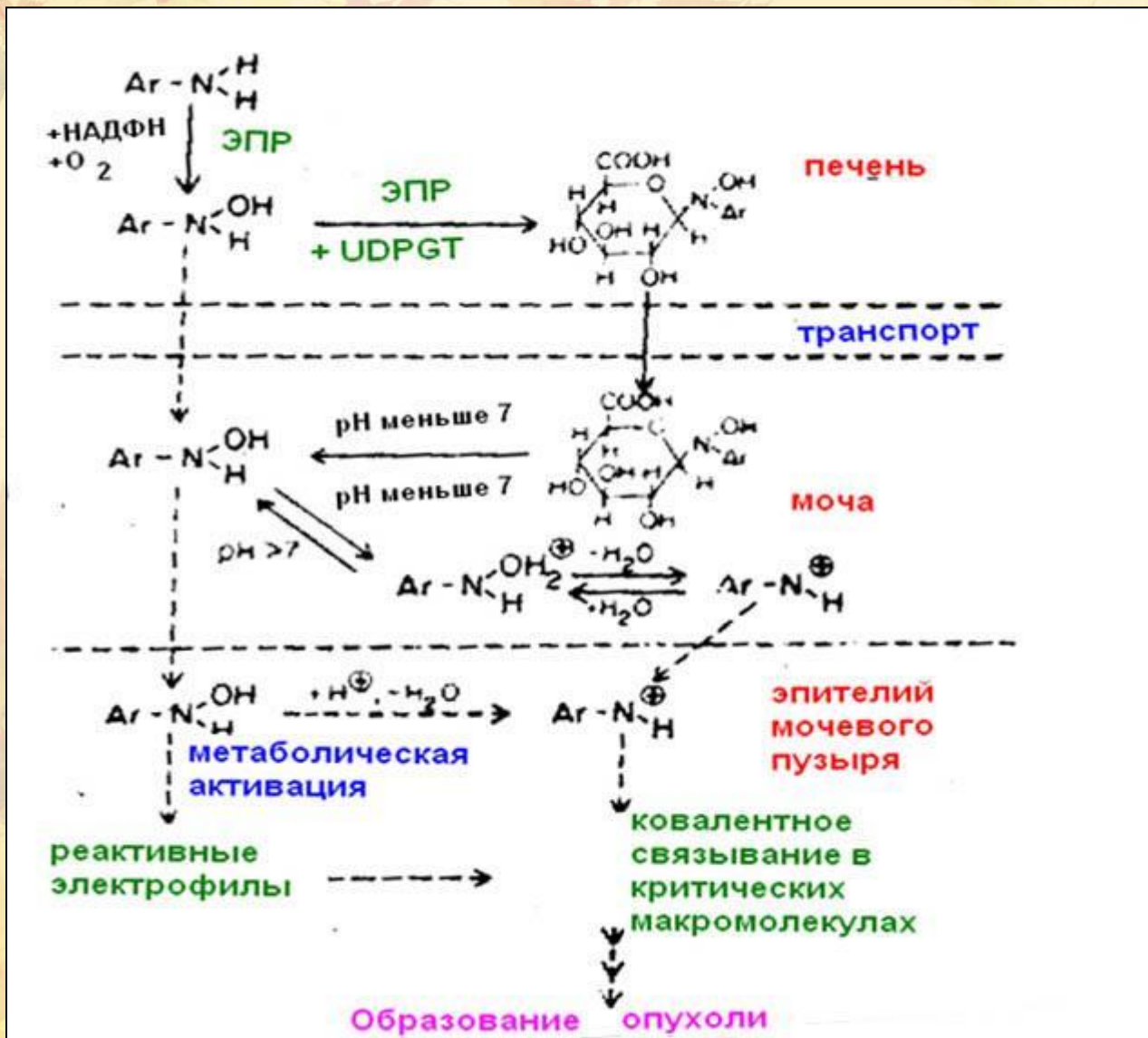
CAR

UGT1A1 ↑ (HH)
UGT1A6 ↑ (HH)
GSTA2 ↑ (HH)
SULT1A1 ↑ (HH)
SULT2A1 ↑ (HepG2)
SULT1A2 ↑ (HepG2)
NAT1 ↑ (HepG2)

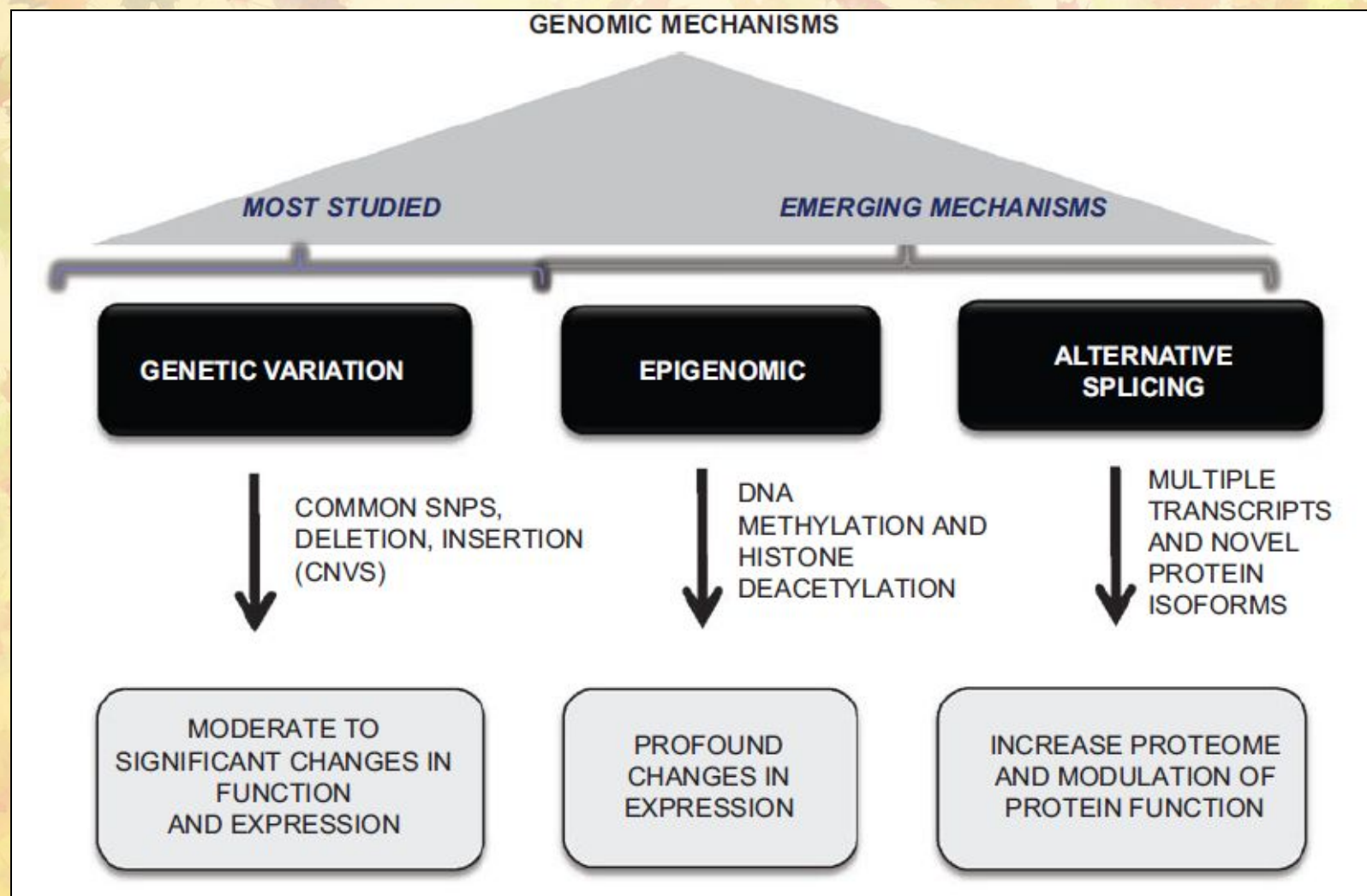
Метаболизм морфина (UGT2B7)



УДФ-ГТ и рак мочевого пузыря



Факторы, определяющие индивидуальный фенотип UGT



2. Сульфонирование

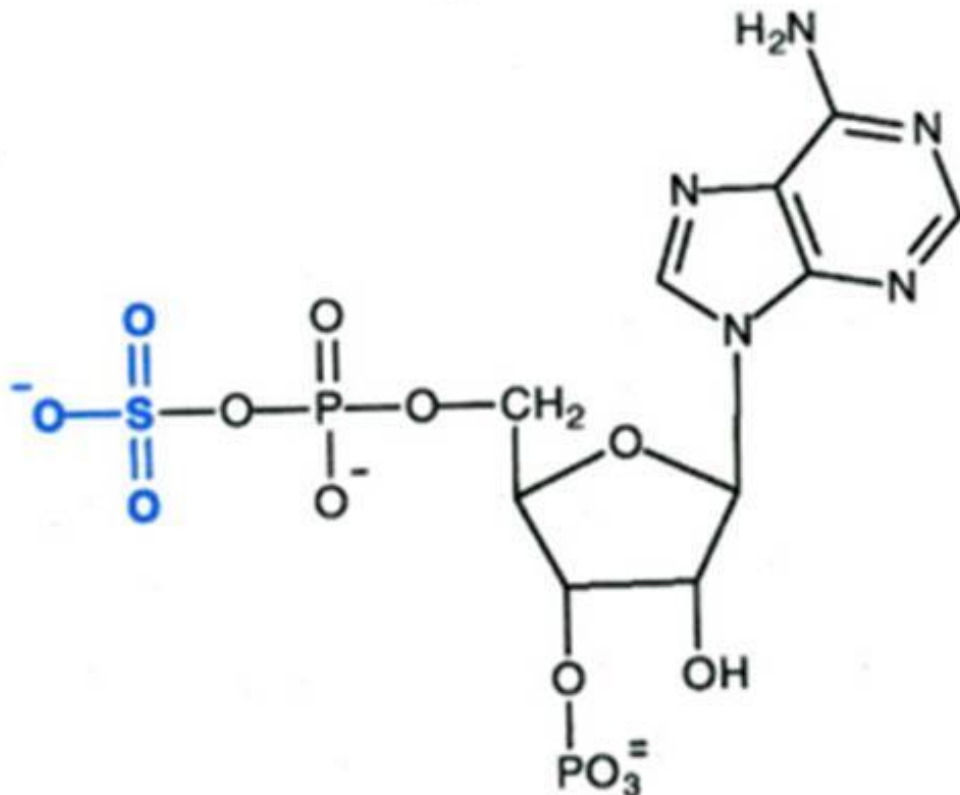
- Сульфонируются соединения м.м. от 10 000 до 1 000 000 и выше.
Метаболиты (сульфонаты) имеют рК 1,5
- остаются полностью ионизированными в биологических системах.

Сера в клетке существует в виде SO_4^{2-}

Субстраты

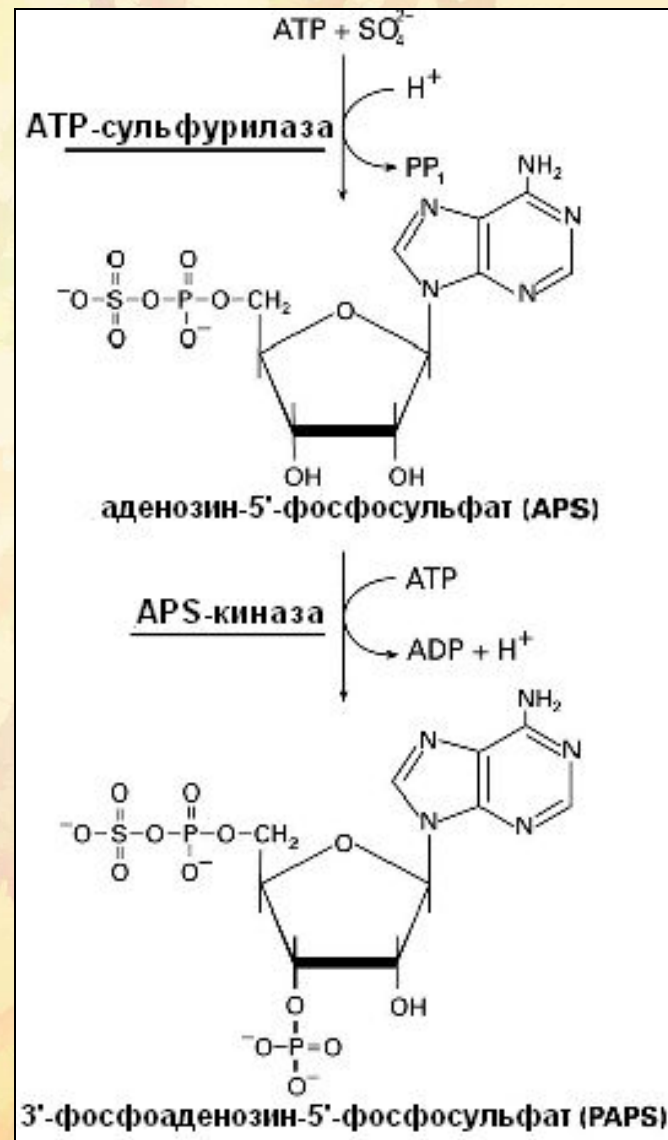
- Ксенобиотики
- Гормоны
- Глюкозоаминоуглюканы и протеогликаны
- Низкомолекулярные клеточные компоненты (catecholamines, иодотирозины, витамин С.

PAPS – уникальный донор SO_3^-



3'-фосфоаденозин-5'-фосфосульфат (PAPS)

Синтез кофактора



PAPS-деградирующие ферменты

Содержание PAPS:

- У крыс в печени и почках – до 160 и 50 нмоль/г ткани
- В других органах – 20 нмоль/г ткани
- У человека - 24 нмоль/г ткани

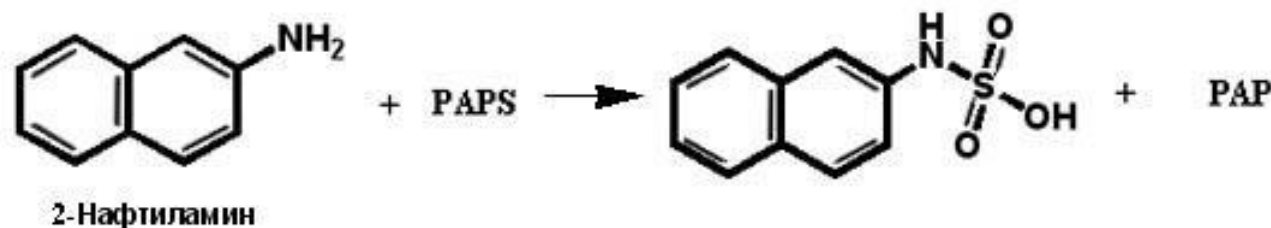
3'-нуклеозидаза



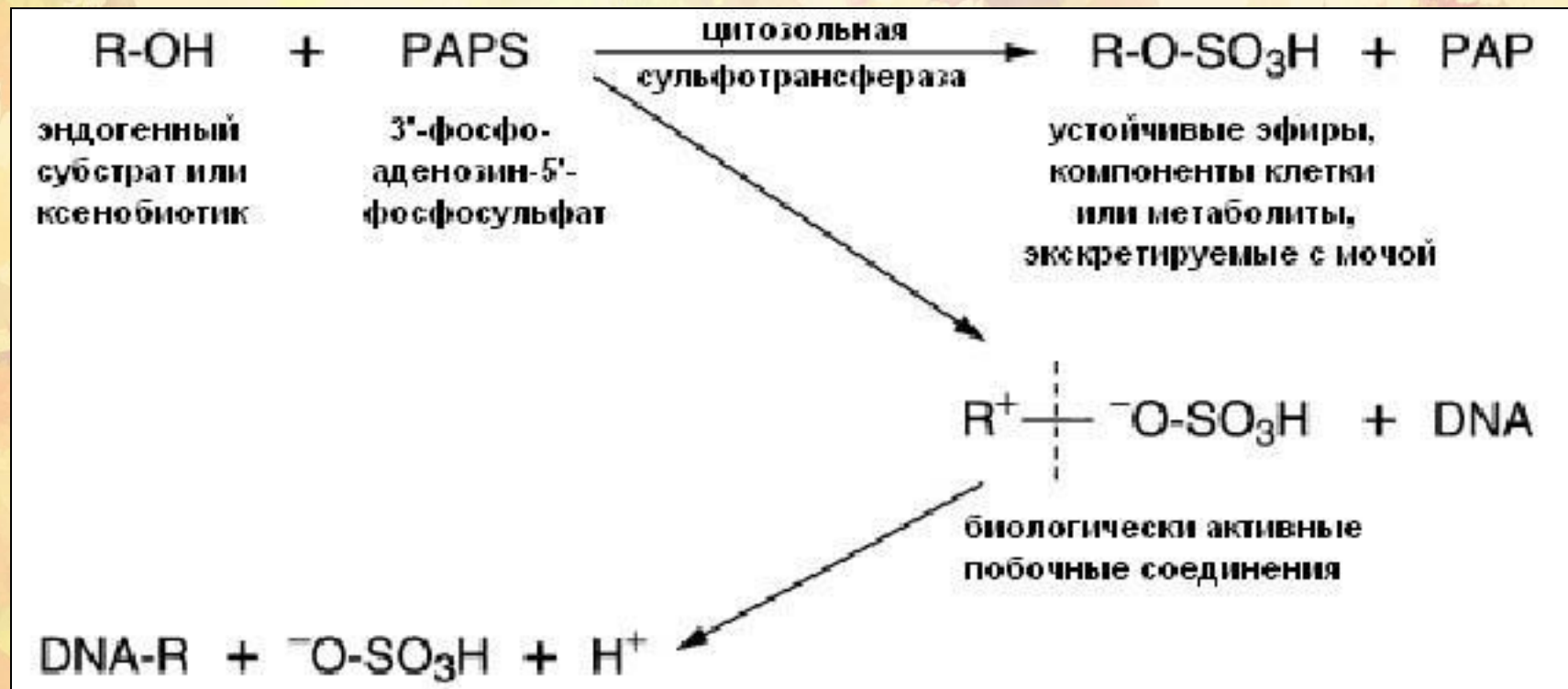
сульфогидролаза



SULT в метаболизме ксенобиотиков



Схематичное изображение реакции сульфонирования, в результате которой образуются устойчивые соединения или биологически активные побочные продукты, связывающиеся с нуклеиновыми кислотами и вызывающие повреждения ДНК



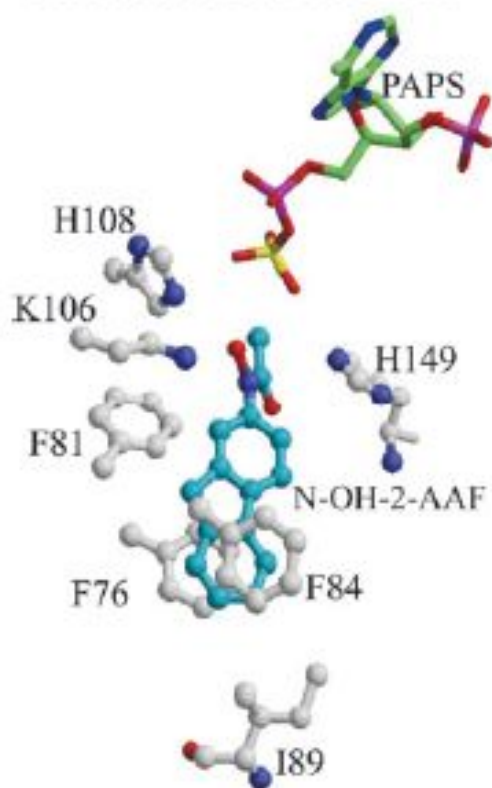
Структура SULT1A1 человека в комплексе с 3'-фосфоаденозин-5'-фосфат (PAP) и р-нитрофенолом



Взаимодействие SULT с канцерогенами

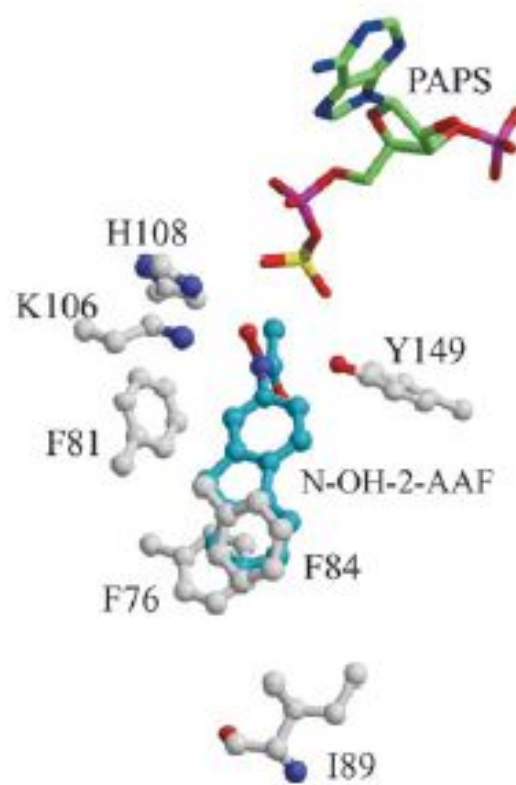
SULT1A1

SULT1A1:PAPS:N-OH-2-AAF



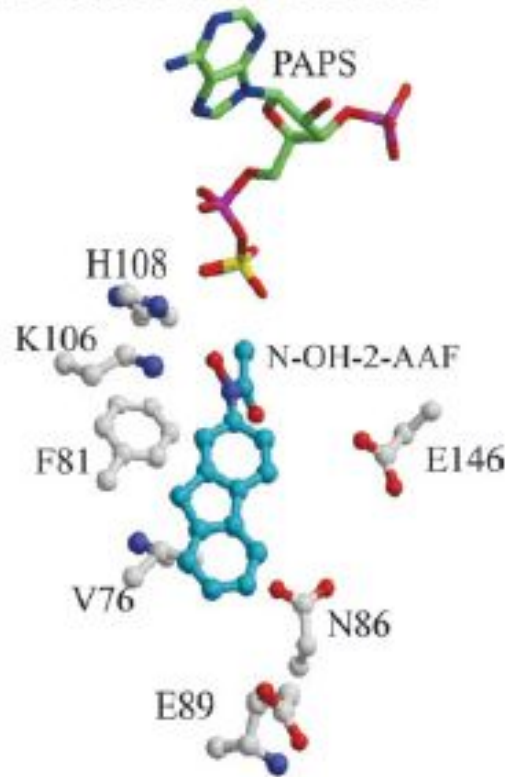
SULT1A2

SULT1A2:PAPS:N-OH-2-AAF

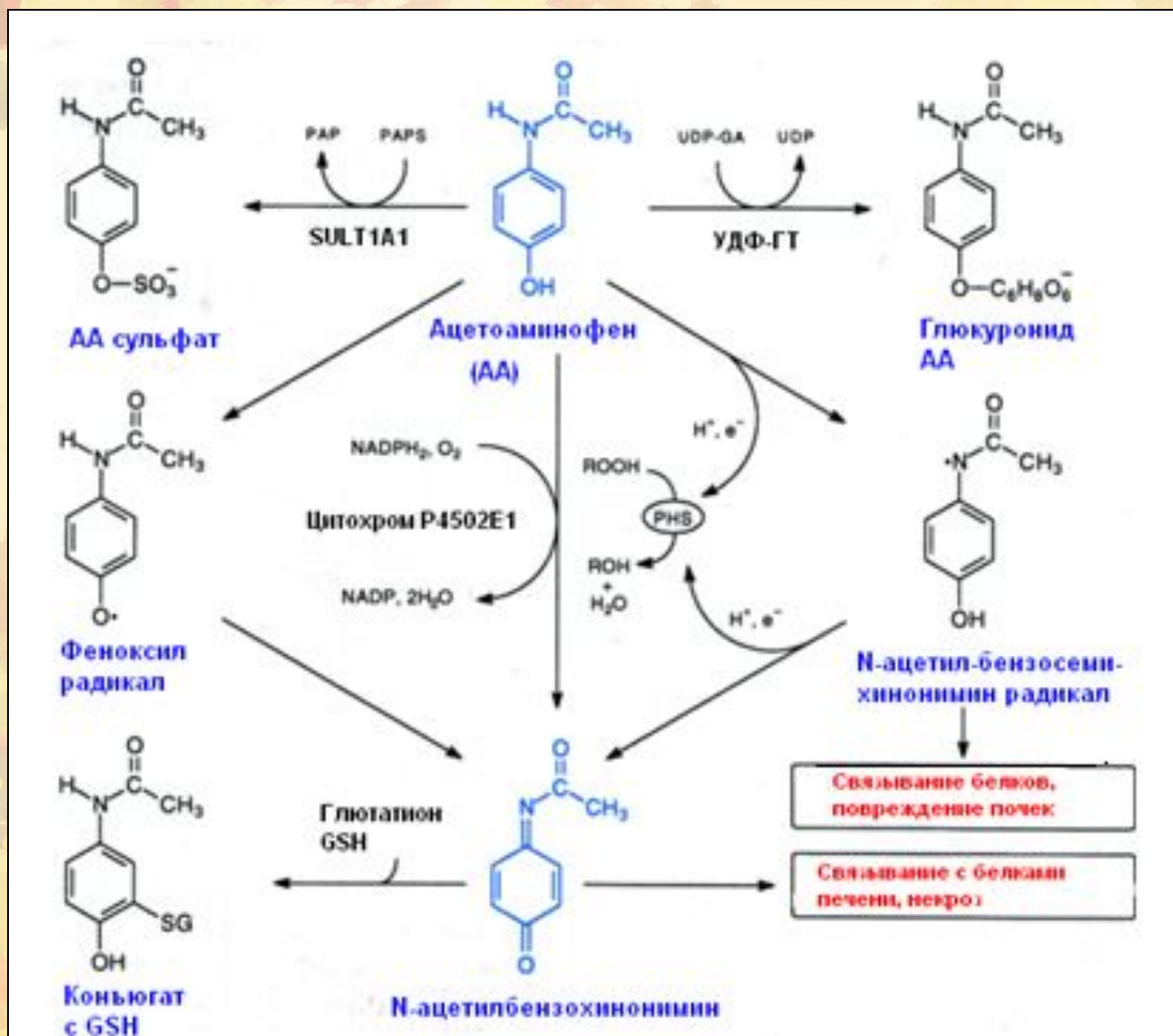


SULT1A3

SULT1A3:PAPS:N-OH-2-AAF



Активация ацетоаминофена



Регуляция экспрессии генов ферментов 2-й фазы

PXR ^a	CAR
UGT1A1 ↑ (HepG2, Caco-2, L-I, Tg mice)	UGT1A1 ↑ (HH)
UGT1A3 ↑ (HepG2, Caco-2, L-I, Tg mice)	UGT1A6 ↑ (HH)
UGT1A4 ↑ (HepG2, Caco-2, L-I, Tg mice)	GSTA2 ↑ (HH)
UGT1A6 ↑ (HepG2, L-I, Tg mice)	SULT1A1 ↑ (HH)
UGT1A9 ↑ (L-I, Tg mice)	SULT2A1 ↑ (HepG2)
UGT1A5 ↑ (I, Tg mice)	SULT1A2 ↑ (HepG2)
UGT1A10 ↑ (I, Tg mice)	NAT1 ↑ (HepG2)
SULT2A1 ↑ (HepG2, HH)	

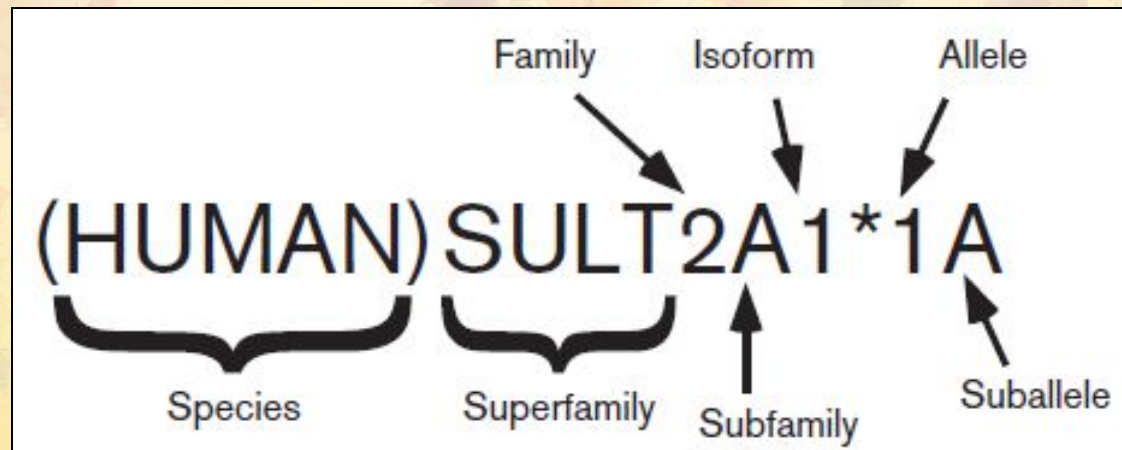
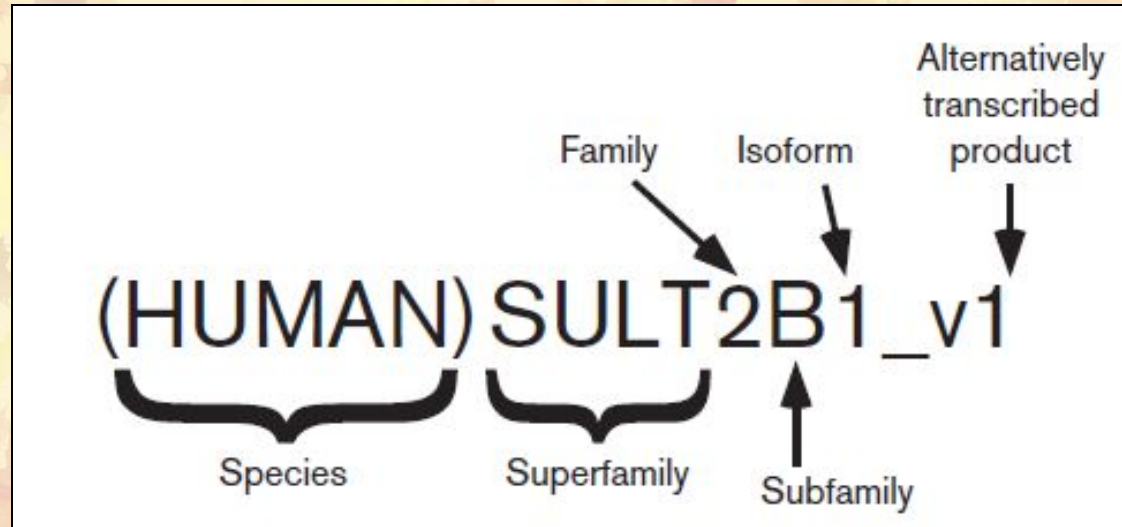
AHR-регулируемые гены

AhR^a

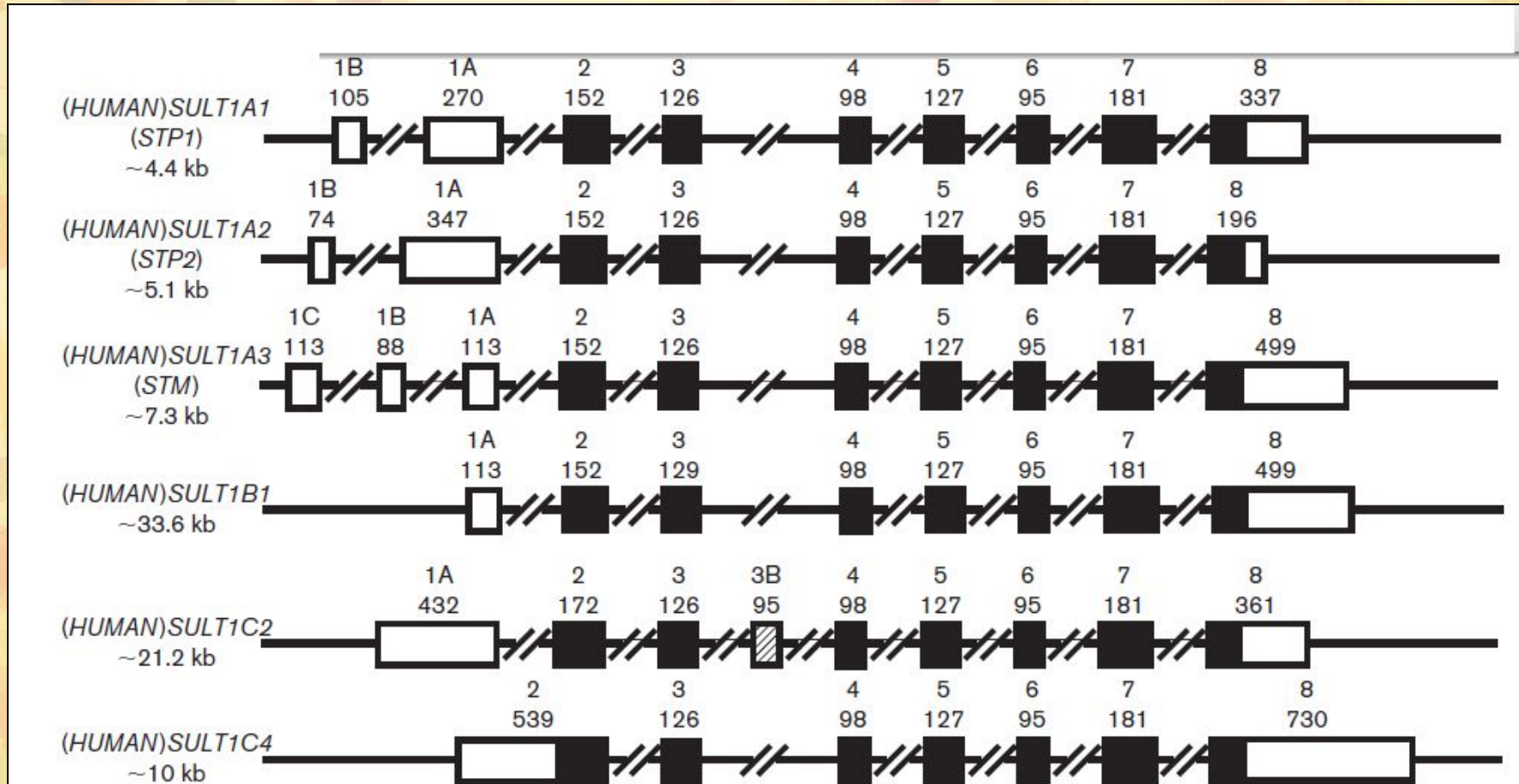
Human

- UGT1A1 ↑ (HepG2, L; Tg mice)
- UGT1A6 ↑ (HepG2, L; Tg mice)
- UGT1A3 ↑ (L-I; Tg mice)
- UGT1A4 ↑ (L-I; Tg mice)
- UGT1A5 ↑ (I; Tg mice)
- UGT1A7 ↑ (I; Tg mice)
- UGT1A8 ↑ (I; Tg mice)
- UGT1A9 ↑ (L-I; Tg mice)
- UGT1A10 ↑ (I; Tg mice)
- SULT1A1 ↑ (HepG2)
- SULT1A2 ↑ (HepG2)
- SULT2A1 ↑ (HepG2)
- GSTM1 ↑ (HepG2)
- NAT1 ↑ (HepG2)
- mEPHX ↑ (HepG2)
- COMT ↑ (mammary gland cells)
- GSTA1 ↑ (HH)
- GSTA2 ↑ (HH)

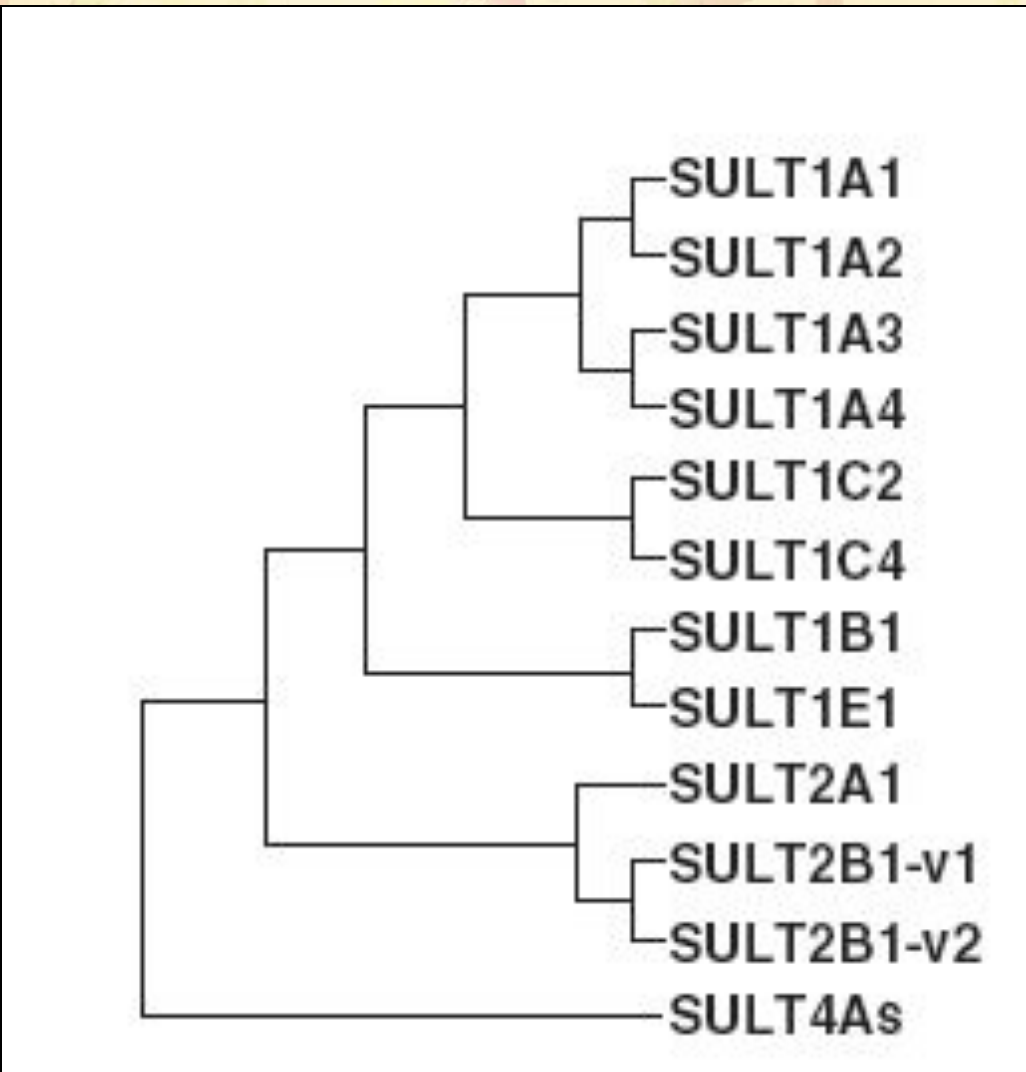
Номенклатура SULTs и аллельных вариантов



Генная структура SULTs



Филогения SULTs человека



СУБСТРАТЫ ДЛЯ СУЛЬФОТРАНСФЕРАЗ (SULT) ЧЕЛОВЕКА

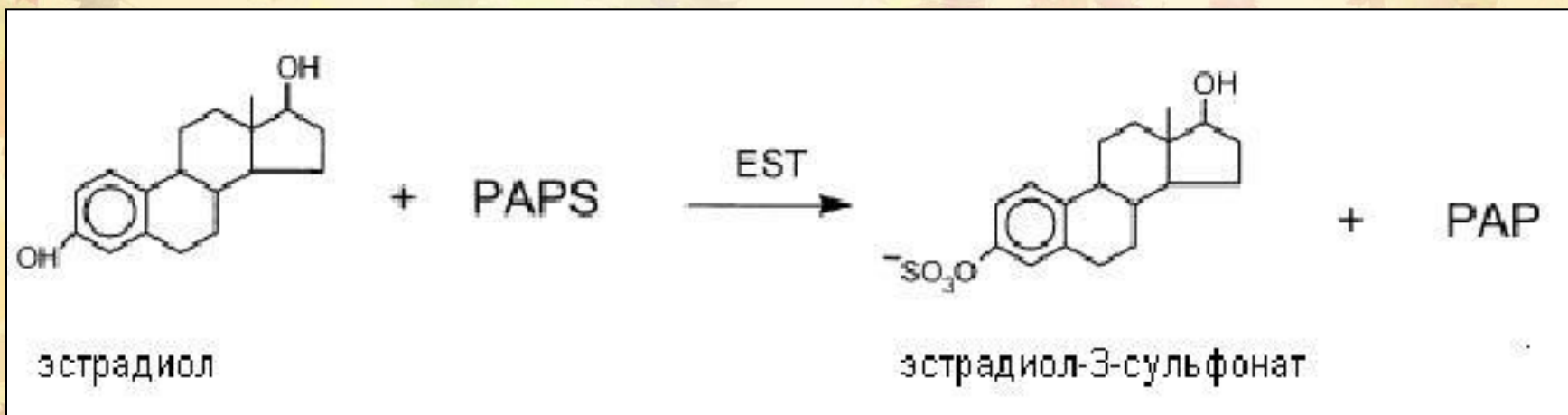
1A1	1A2	1A3	1B1	1C1	1C2	1E1	2A1	2B1a	2B1b
Простые фенолы	Простые фенолы	Катехоламины	Простые фенолы	N-OH-2 Ацетамидофен	?	Эстрон	DHEA	DHEA	DHEA
Катехолы	Катехолы	Катехолы	Катехолы			Эстрадиол	Прегненолон		
Миноксидил		Тирамин	Иодотиронины			Эстриол	Холестерол		
Парацетамол		Изопренолин				Тироксин	ОН-ПАУ		
Гидроксиламины		Добутамин				ДЭСЭ	Кортизол		
Иодотиронины							Тестостерон		

Расовые частоты аллелей *SULT*

Раса	N	<i>SULT1A1*1</i>	<i>SULT1A1*2</i>	<i>SULT1A1*3</i>
Белые	242	0.656	0.332	0.012
Китайцы	290	0.914	0.080	0.006
Афро-американцы	70	0.477	0.294	0.229
		<i>SULT1A2*1</i>	<i>SULT1A2*2</i>	<i>SULT1A2*3</i>
Белые		0.507	0.389	0.104
Китайцы		0.924	0.076	нет
Афро-американцы		0.637	0.249	0.114

□

Ферментативная реакция, осуществляемая эстрогеновой сульфотрансферазой

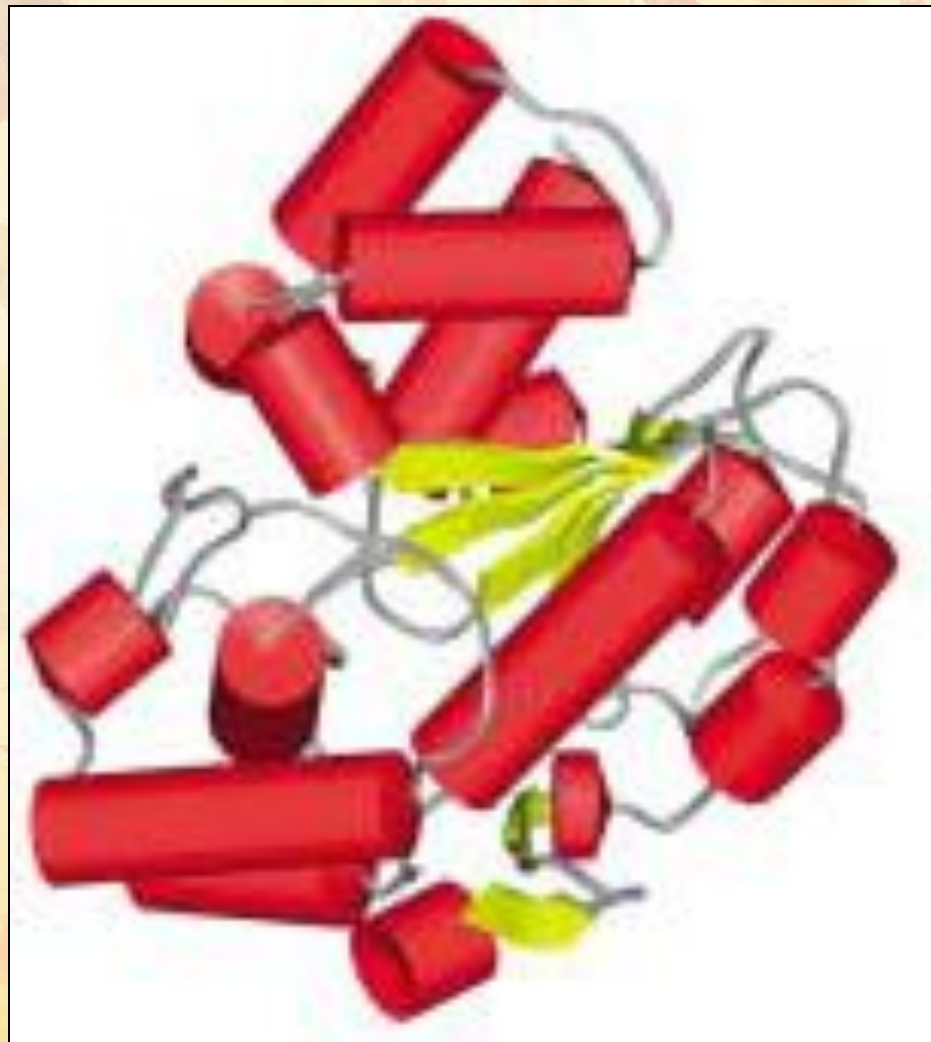


Структура гена *SULT1E1*.

Черными прямоугольниками обозначены кодирующие участки, белыми – некодирующие. Числа под номерами экзонов обозначают их длину в п.о.



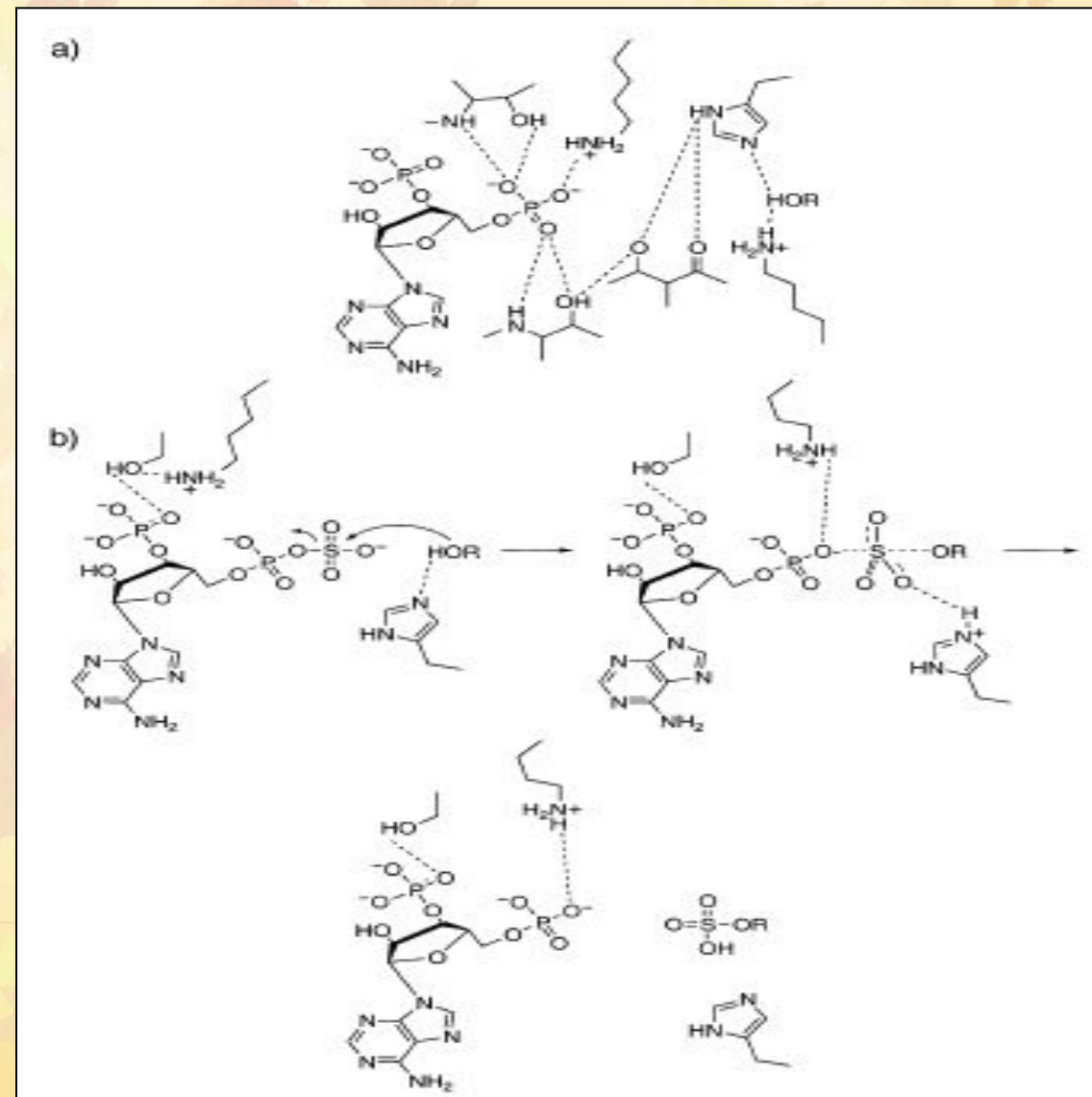
Кристаллическая структура эстрогеновой сульфотрансферазы (SULT1E1)



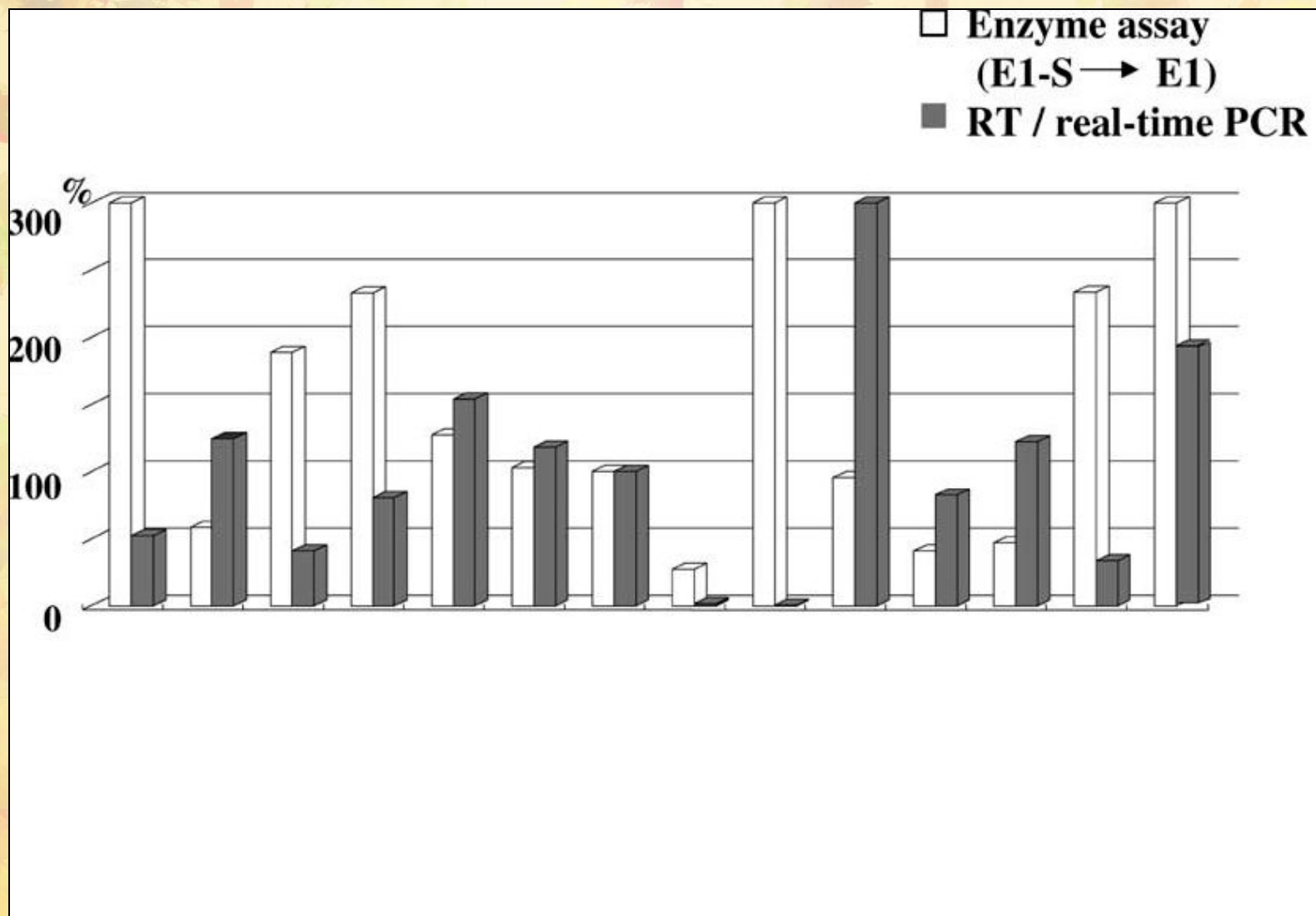
Катализитический центр сульфотрансферазы

а) взаимодействие 5'-фосфатной группы PAPS с консервативными катализитическими остатками в mSULT1E1.

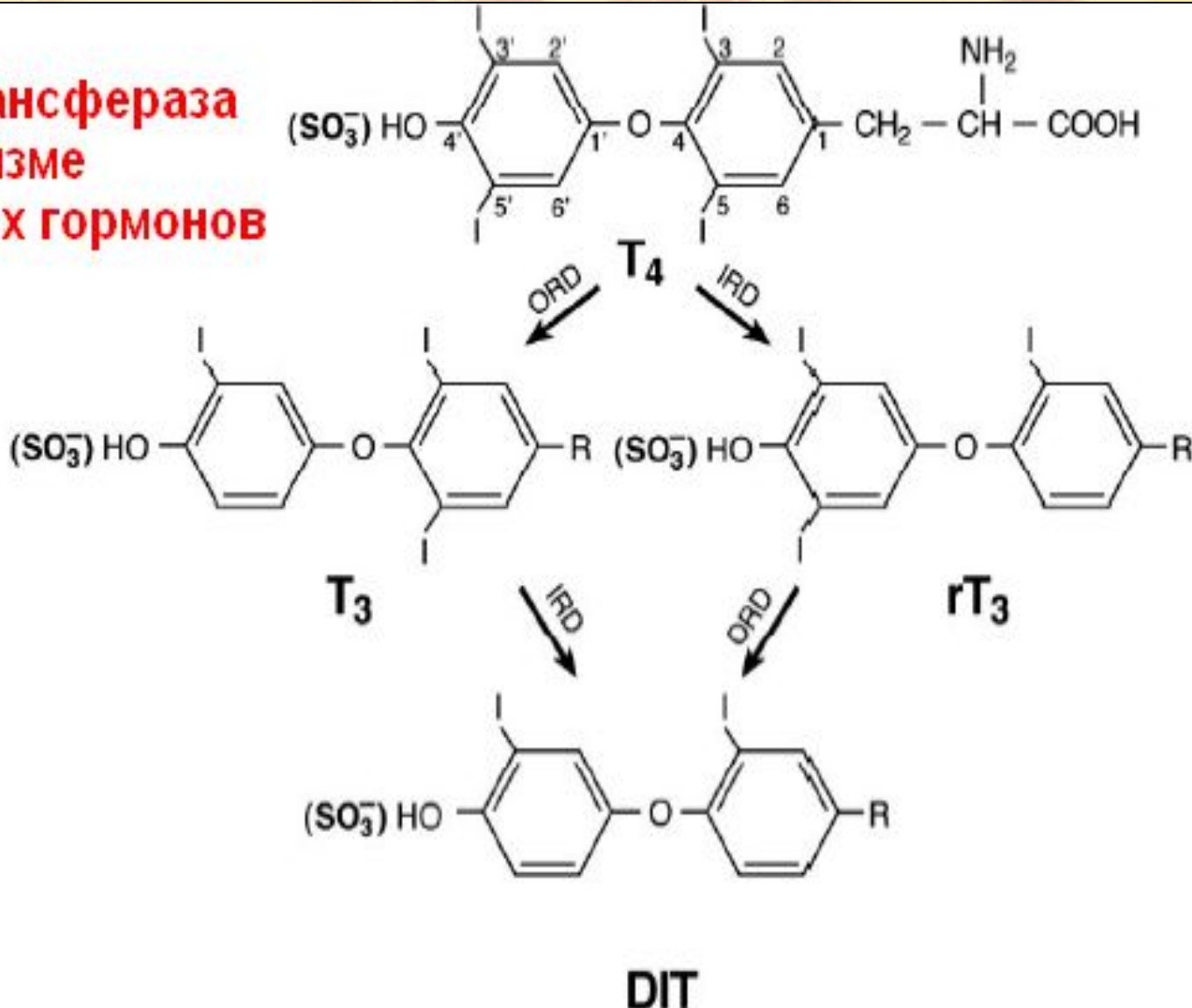
б) механизм сульфонирования, предложенный на основе структуры



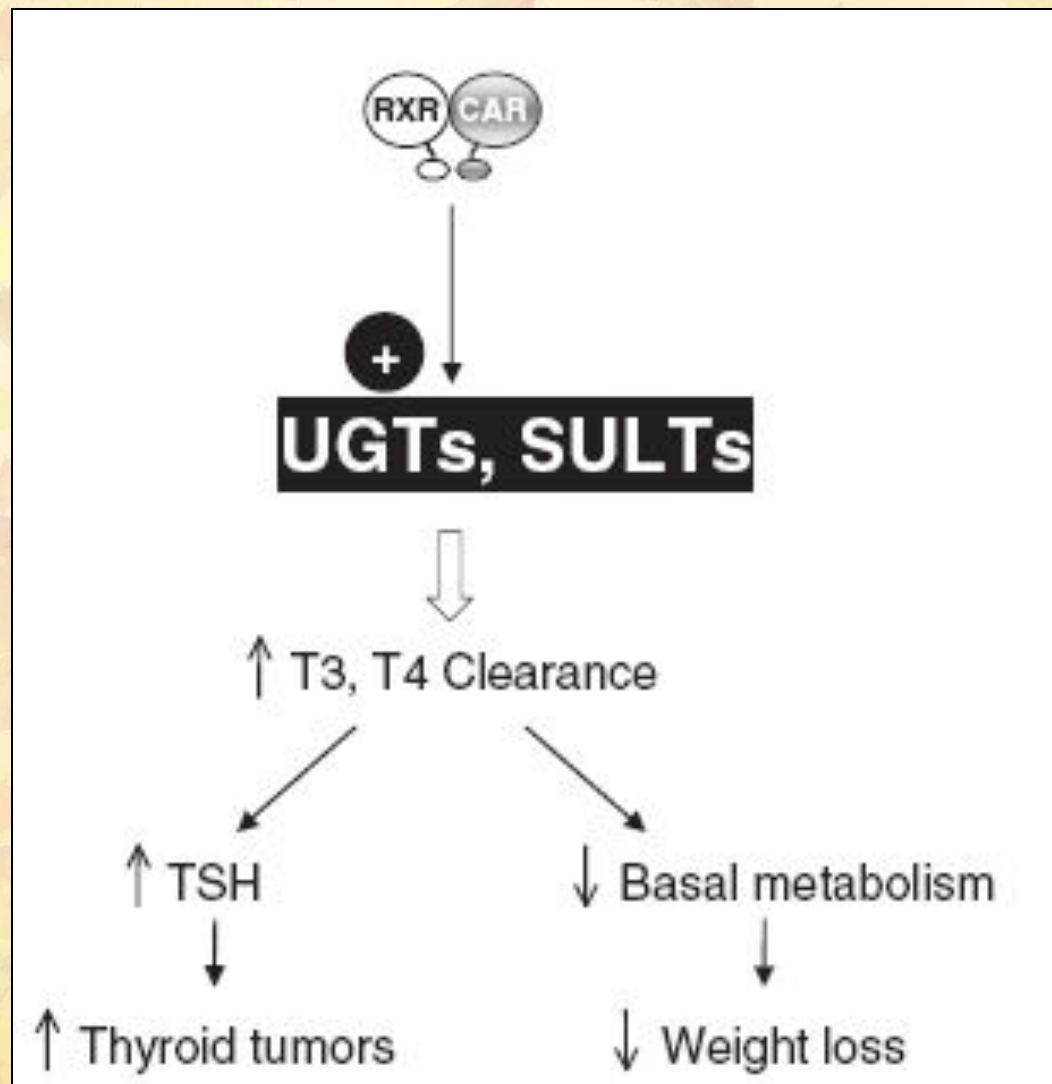
Ферментативная активность SULT1E1 и экспрессия мРНК в тканях человека. Уровень мРНК и ферментативная активность SULT1E1 оценивались как отношение (%) к тем же величинам в печени



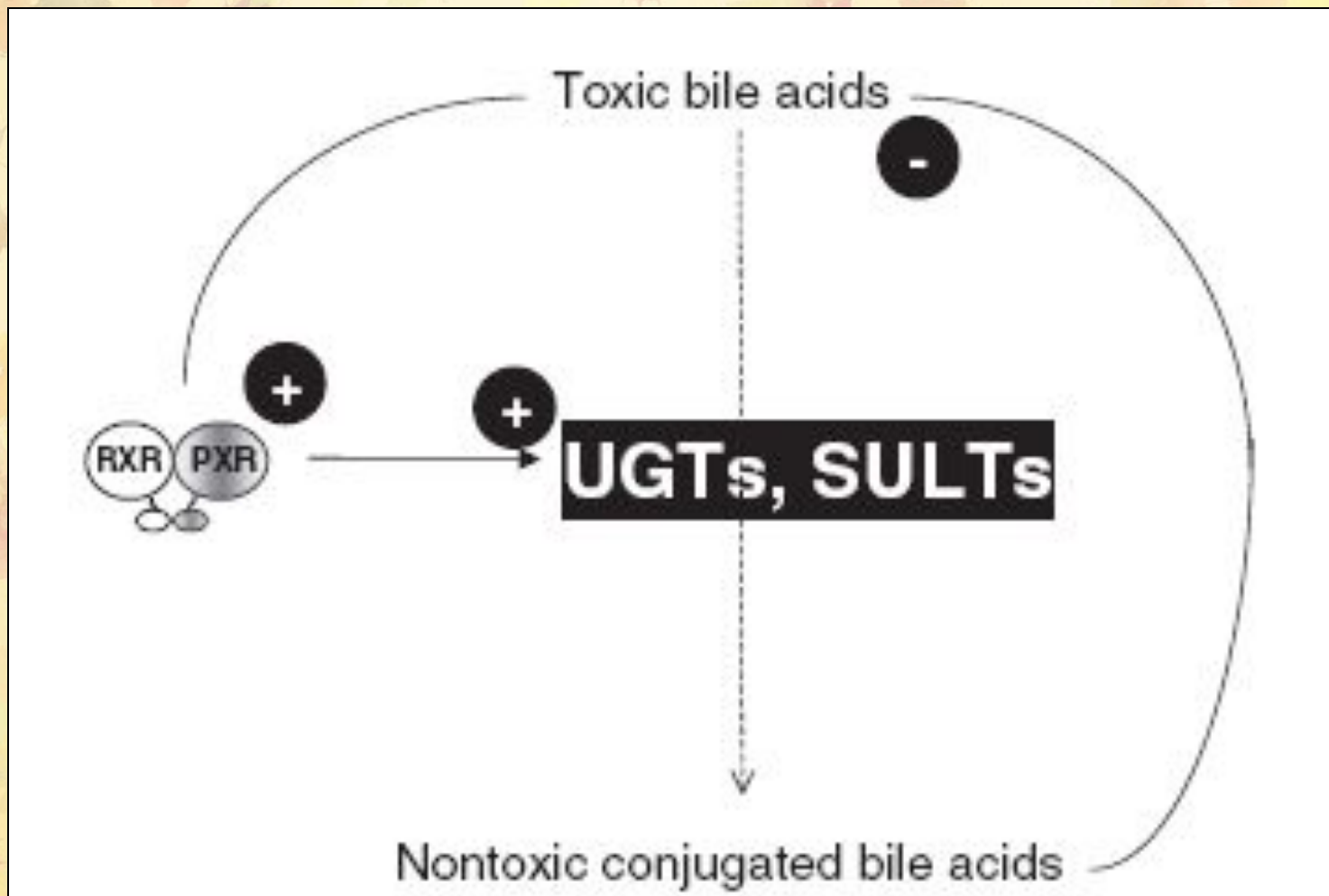
Сульфотрансфераза в метаболизме тиреоидных гормонов



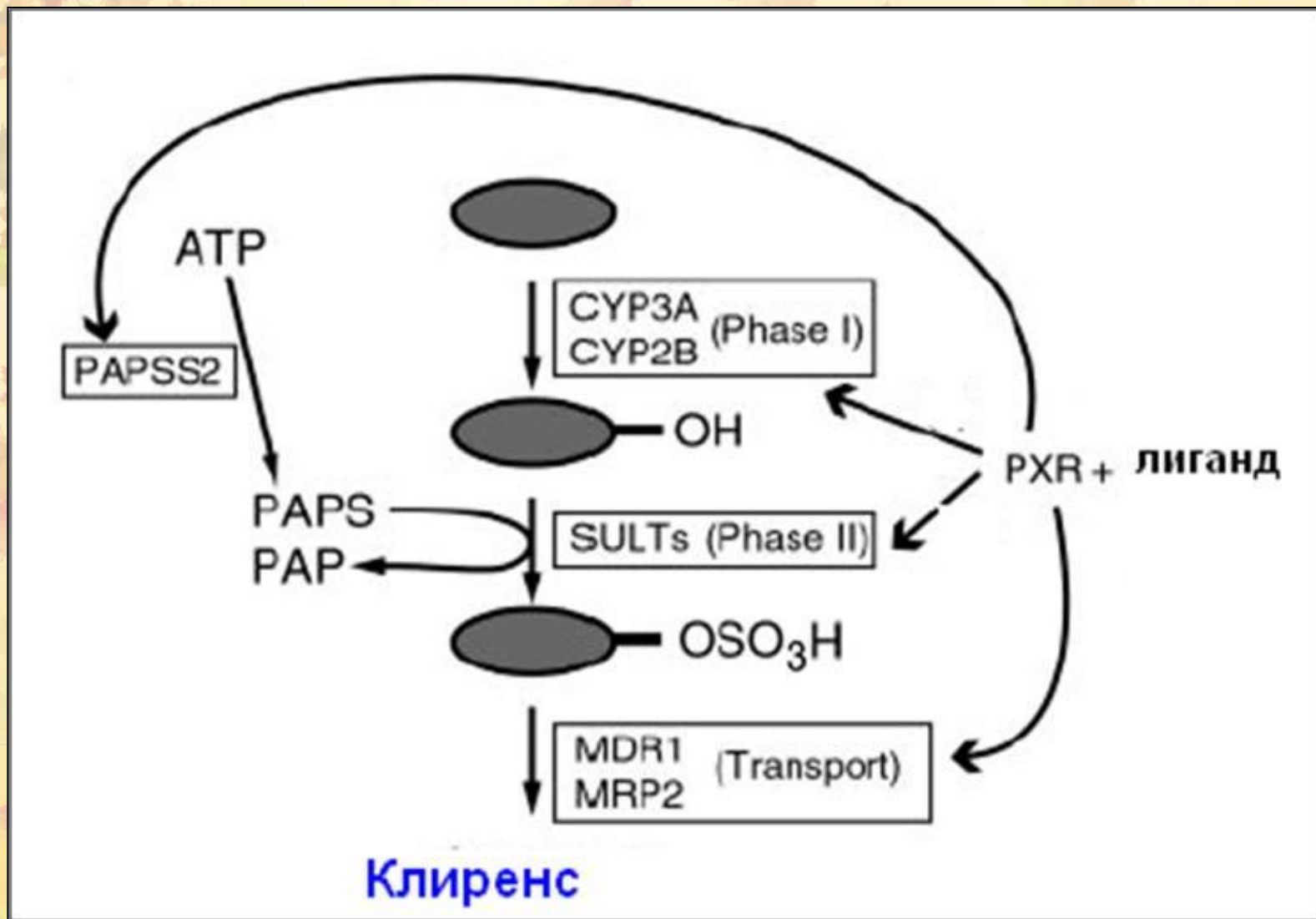
Роль UGTs и SULTs в метаболизме тиреоидных гормонов



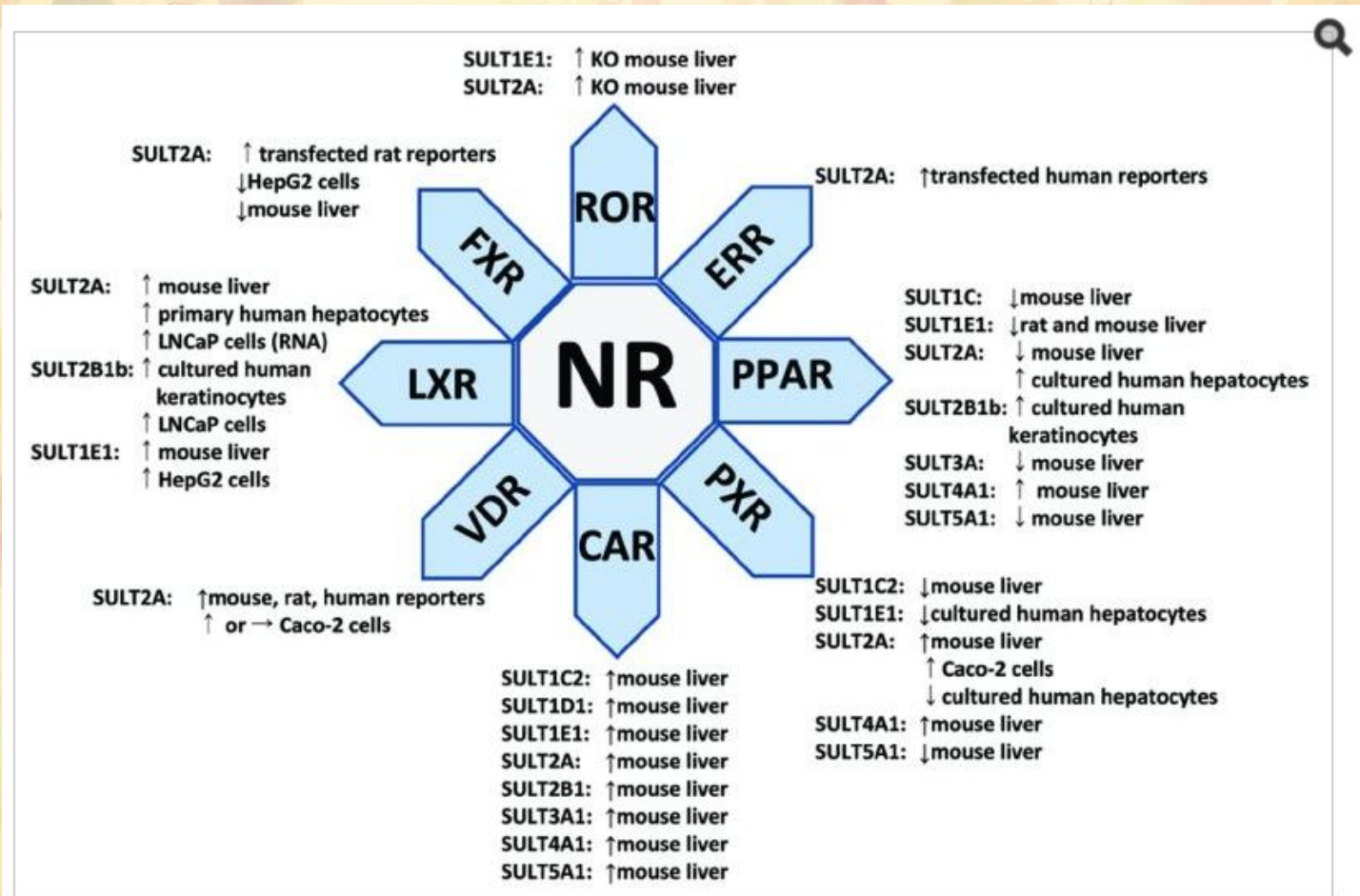
Метаболизм желчных кислот



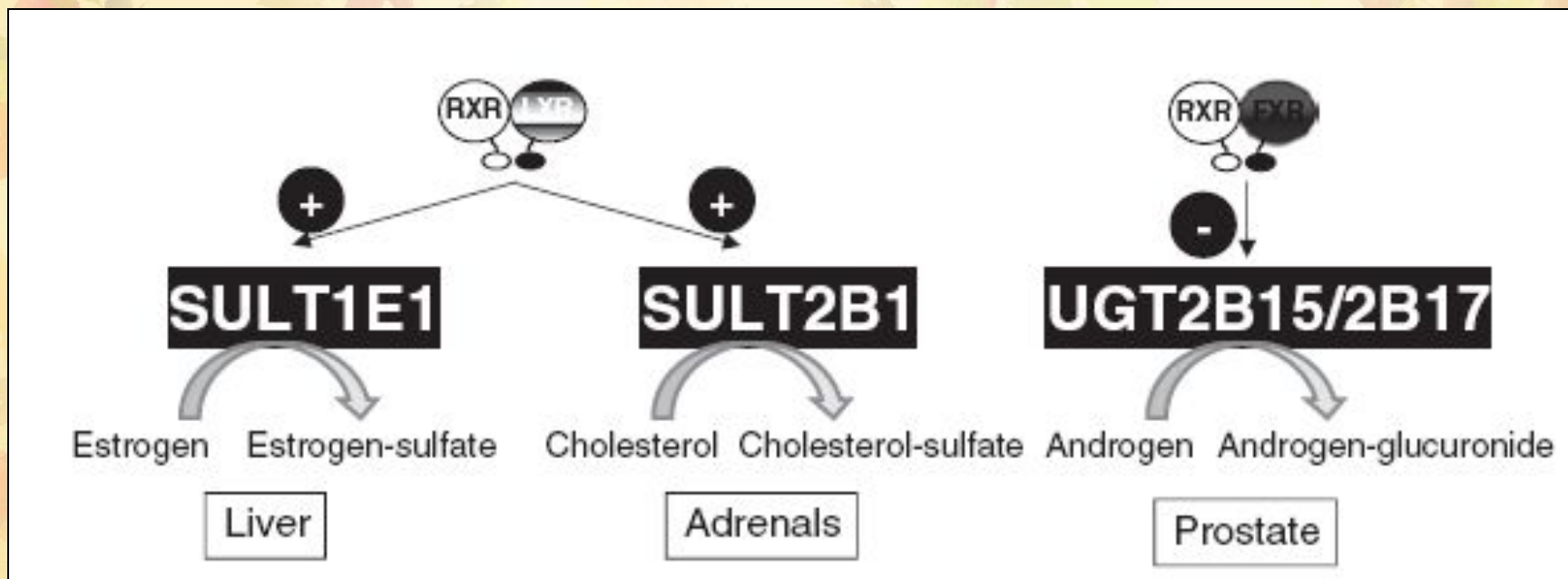
Координированная регуляция сульфонирования PXR



Интегральная схема регуляции SULT

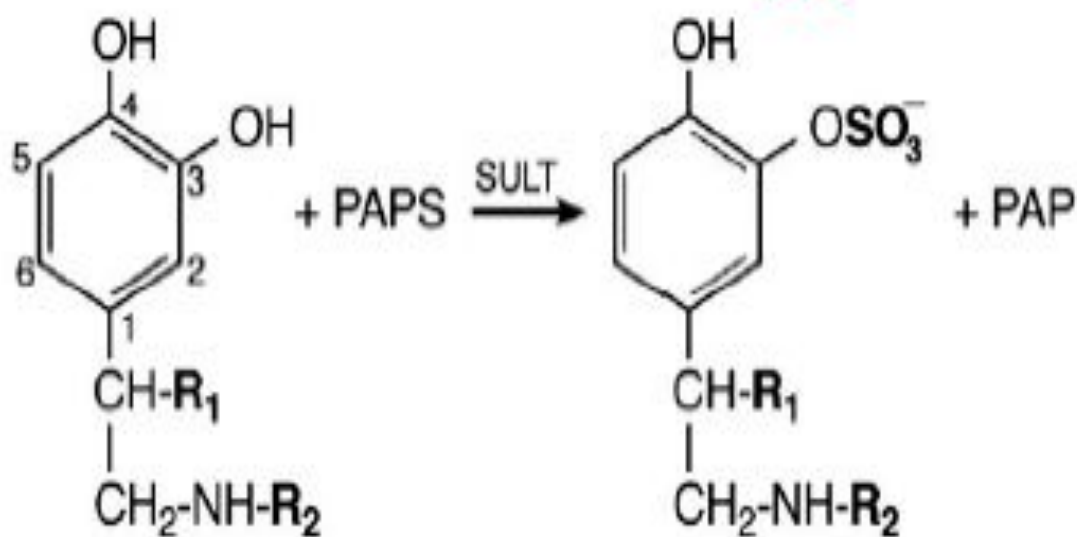


FXR и LXR в регуляции метаболизма ЭС

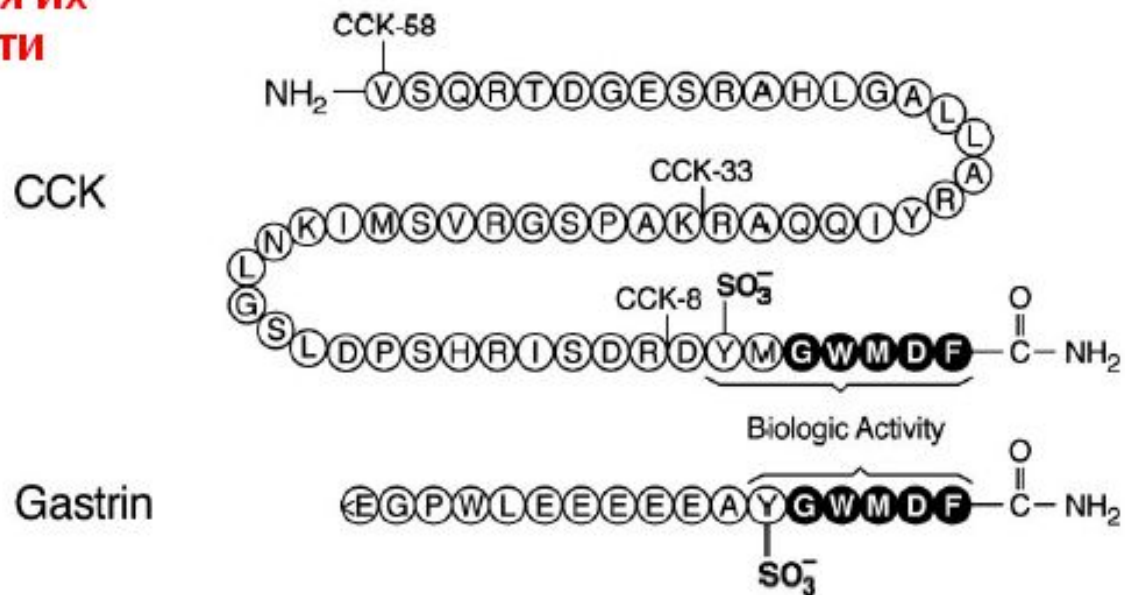


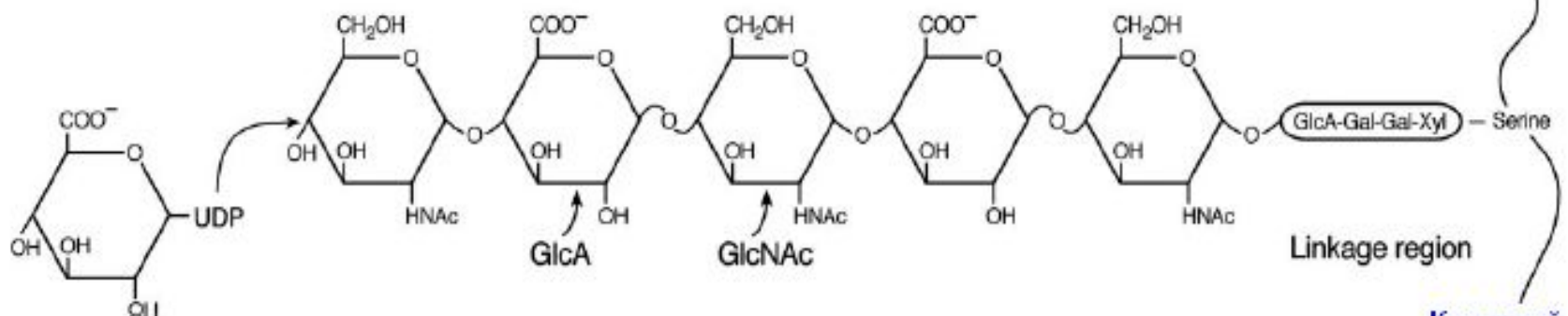
	R_1	R_2
DA	H	H
NE	OH	H
E	OH	CH ₃

Сульфонация катехоламинов
DA - допамин
NE - норэpineфрин
E - эpineфрин
SULT - сульфотрансфераза
1A3



Сульфонация нейроэндокринных пептидов необходима для их биологической активности

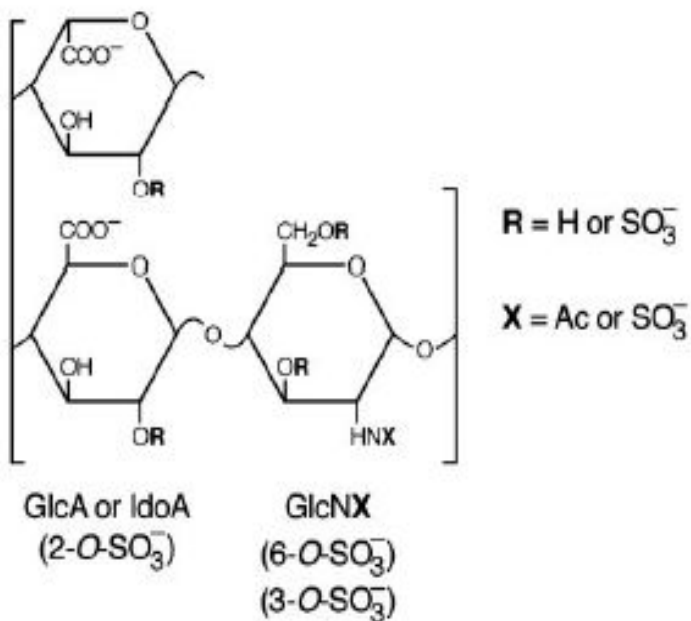




УДФ-глюкуроновая
кислота

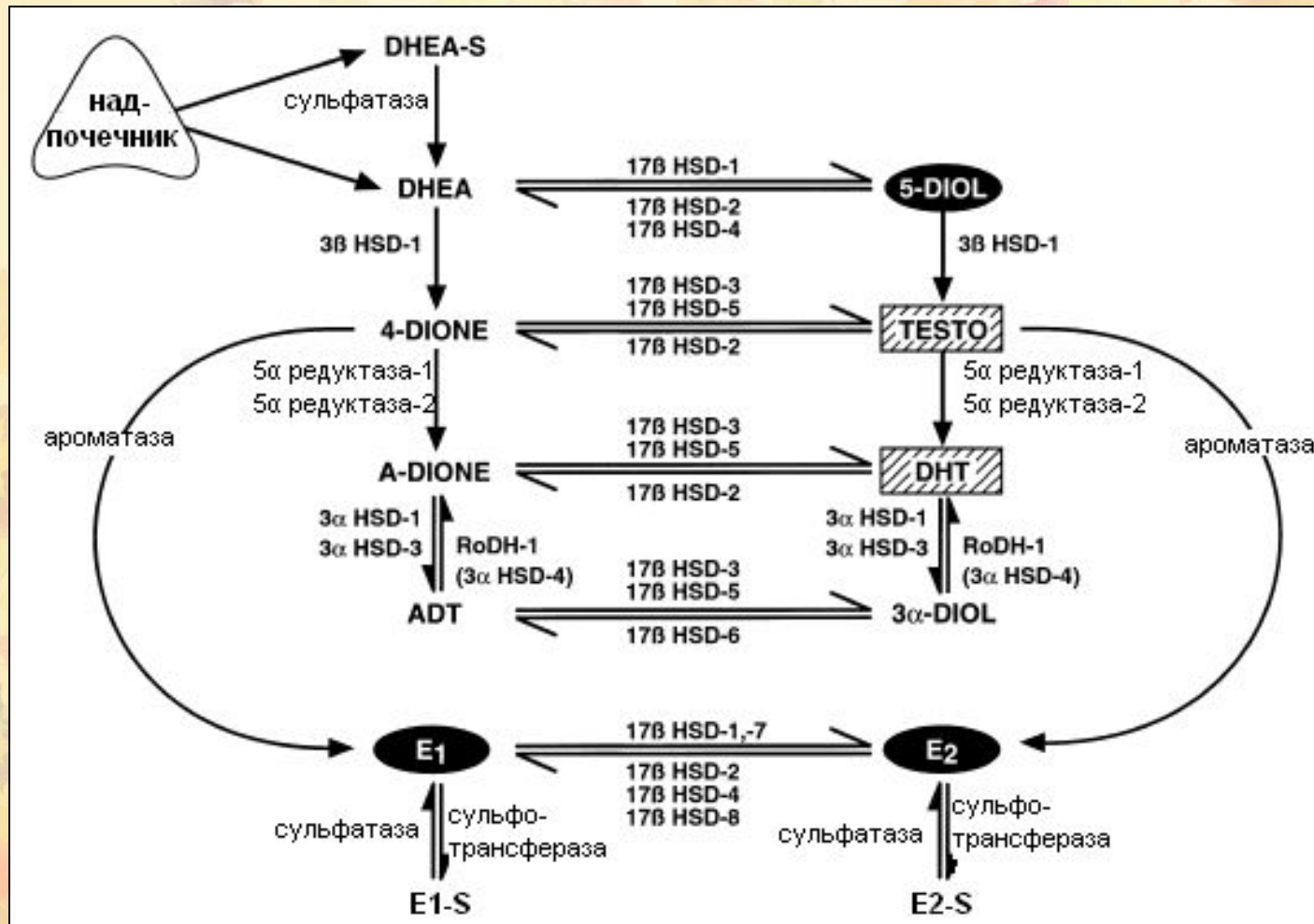
Linkage region

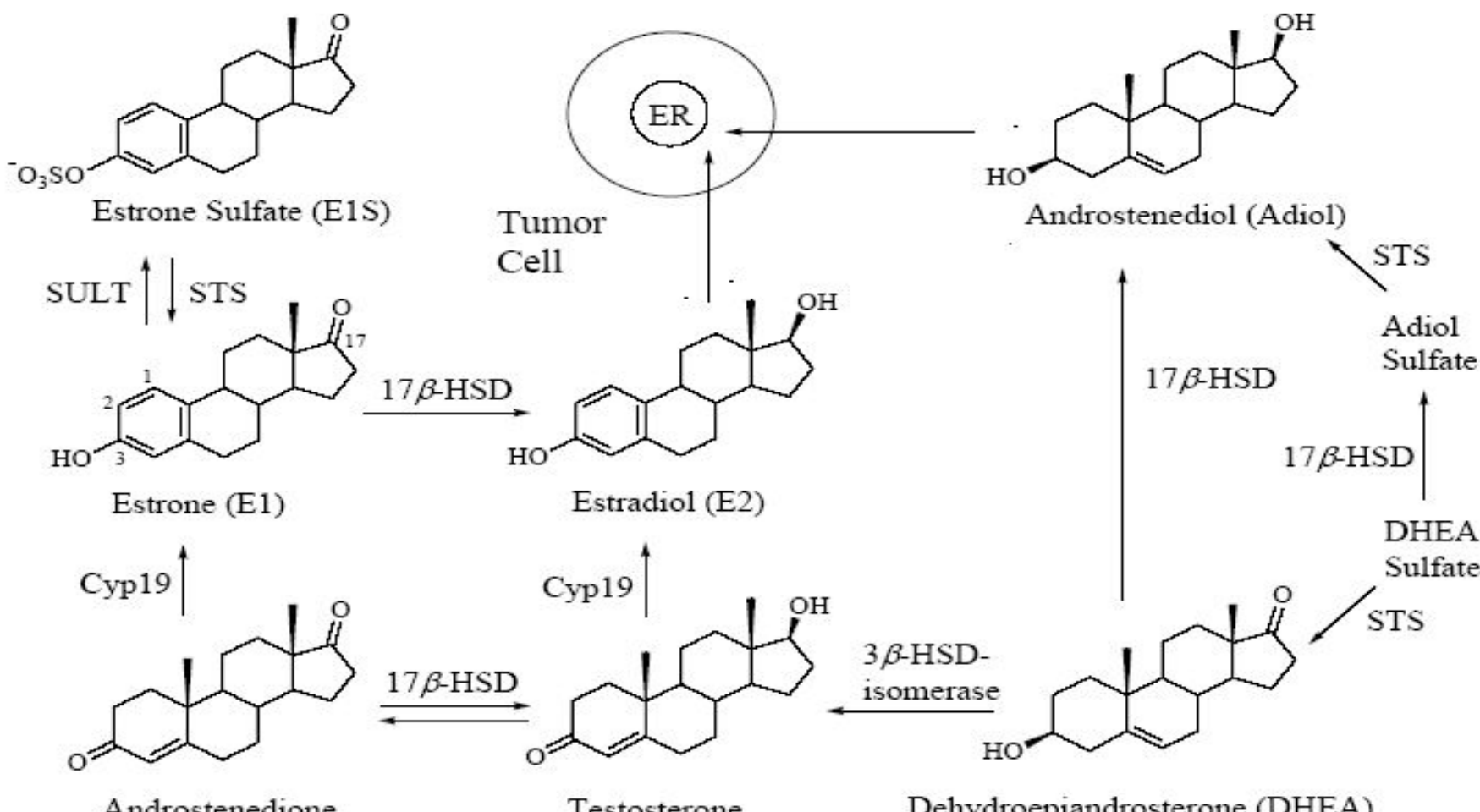
Коровий
белок
синдекан



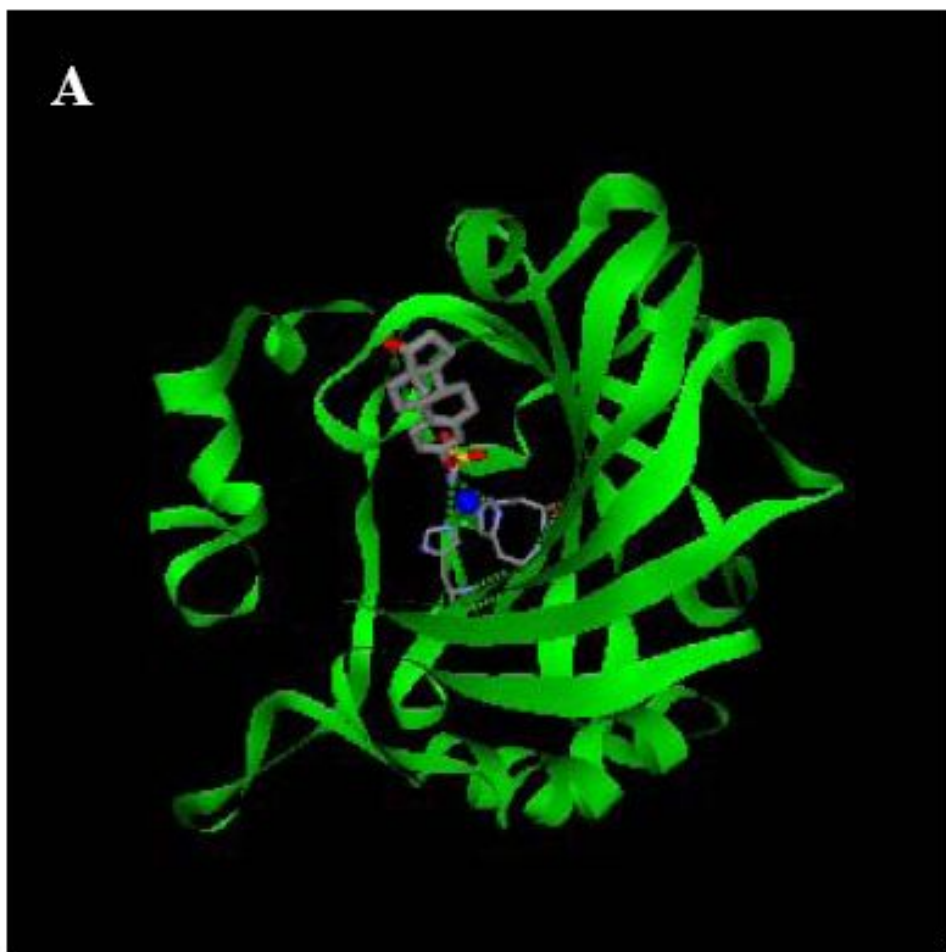
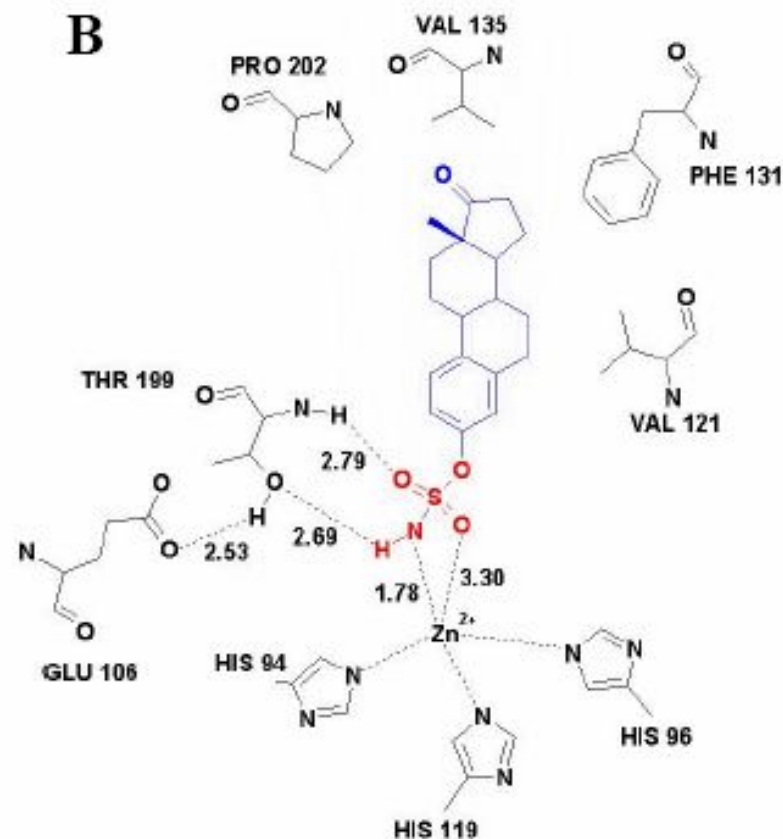
Синтез гепаран сульфата. Растущая цепь глюкозоаминоугликана ковалентно связана с коровым белком синдеканом. Гепаран сульфат синтезируется как альтернативный полимер глюкуроновой кислоты и N-ацетилглюкозамина.

Пути биосинтеза стероидных гормонов из сульфонированных стероидов



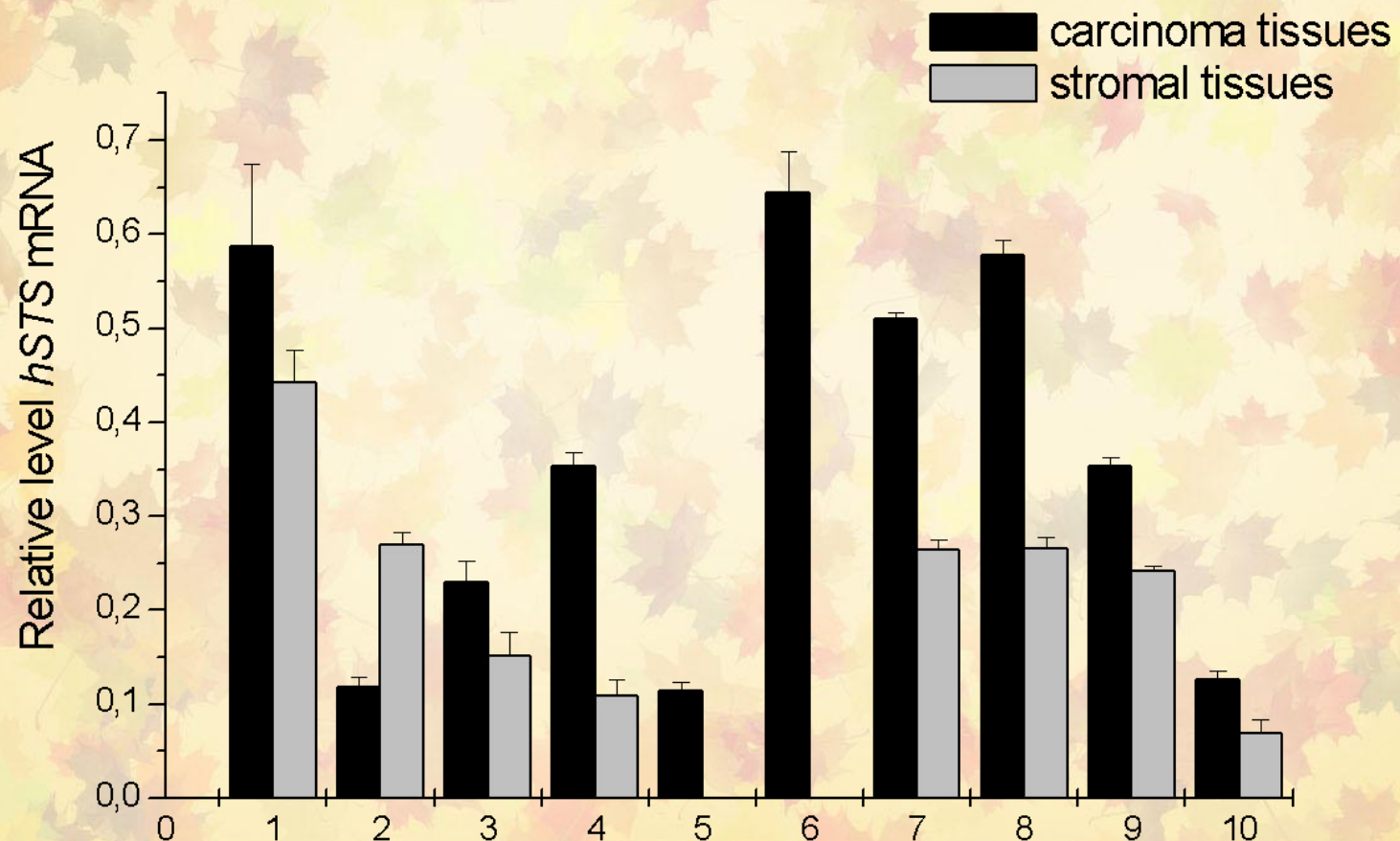


Источники эстрогенов у женщин в постменопаузе, РМЖ

A**B**

Предполагаемый механизм действия сульфатазы

STS в раковых тканях человека



Представлено среднее значение \pm SD.

Каждый эксперимент проводился трижды.

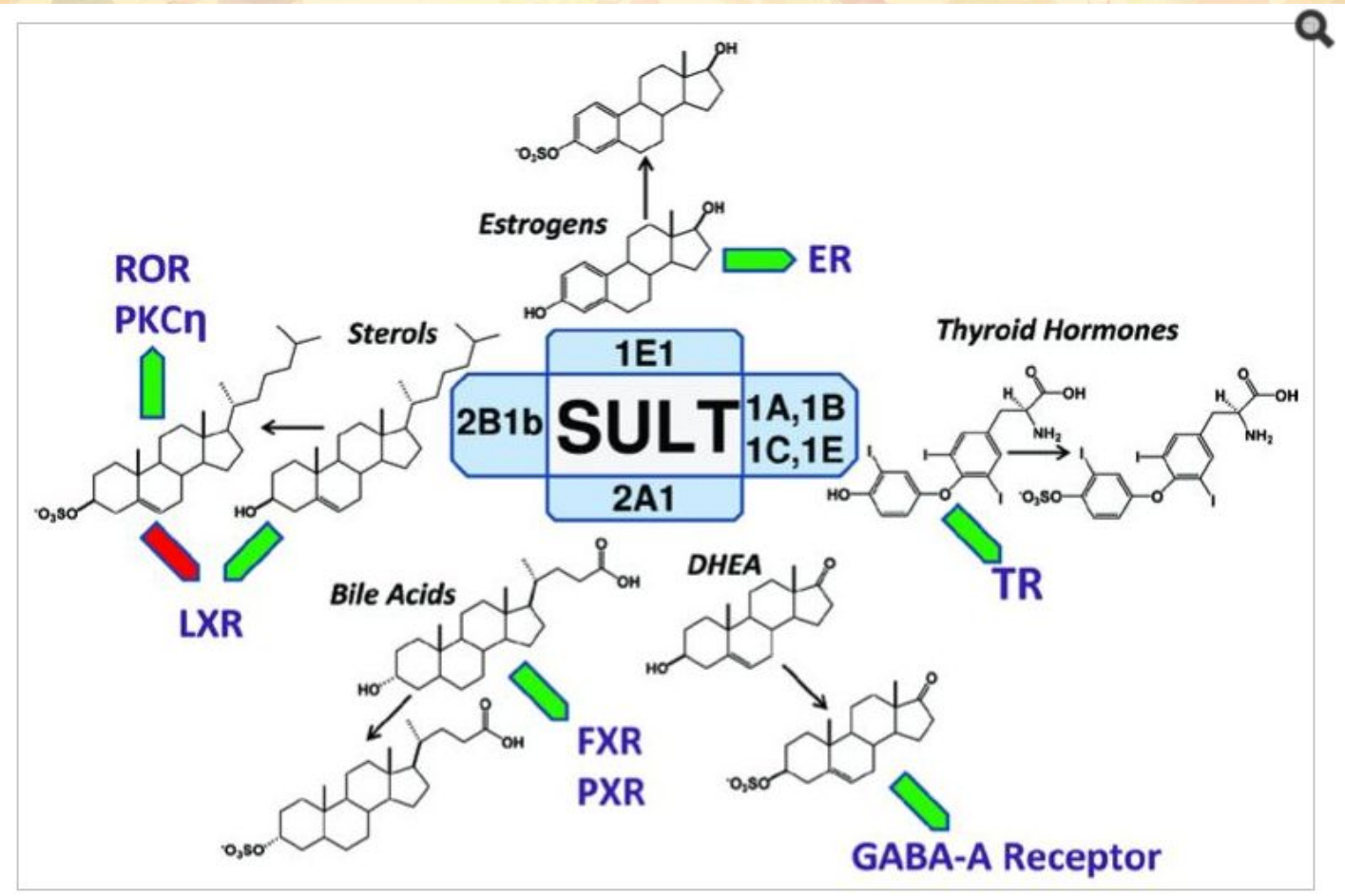
Отличия значений с достоверностью: * - $p < 0,01$,

** - $p < 0,05$, *** - $p < 0,1$.

3. Реакции, катализируемые глутатион S-трансферазами

- GST могут катализировать нуклеофильные производные ароматических соединений, эпоксидов, восстановление гидропероксидов с образованием GSSG.
- Транспортные системы, выводящие конъюгаты:
 - GS-X-насос (АТФ-зав.)
 - MOAT (Множественный транспортер органических ионов)
 - Dnp-GS (динитрофеноловый транспортер)
 - MRP (Гликопротеид Р)

Множественные функции SULTs



Функции GSTs

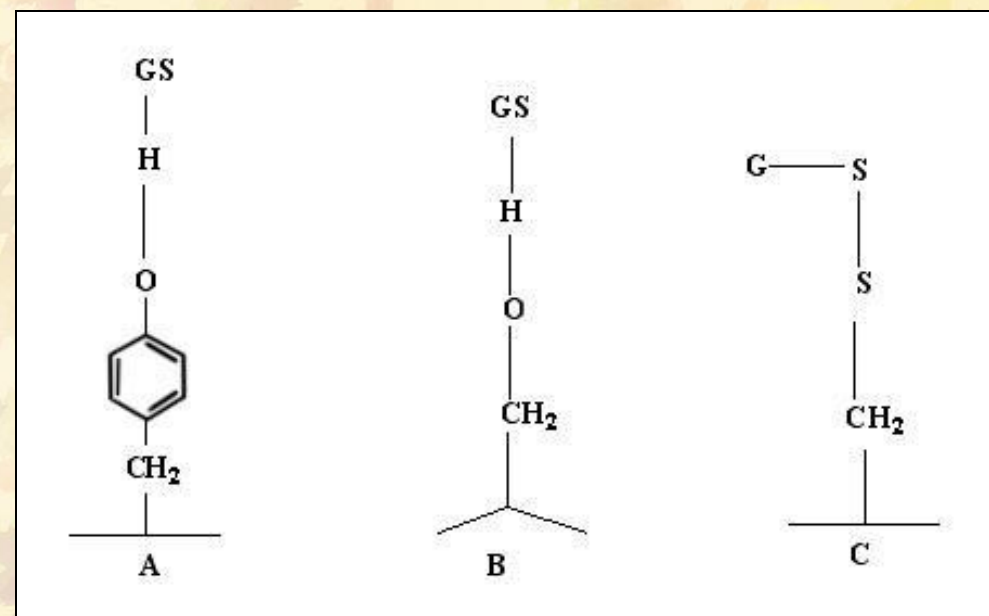
- Каталитическая
- Лиганд-связывающая
- Механизм МЛР (MDR)

GSTs – 1. Цитозольные 2. Микросомальные
Это мультигенное суперсемейство.

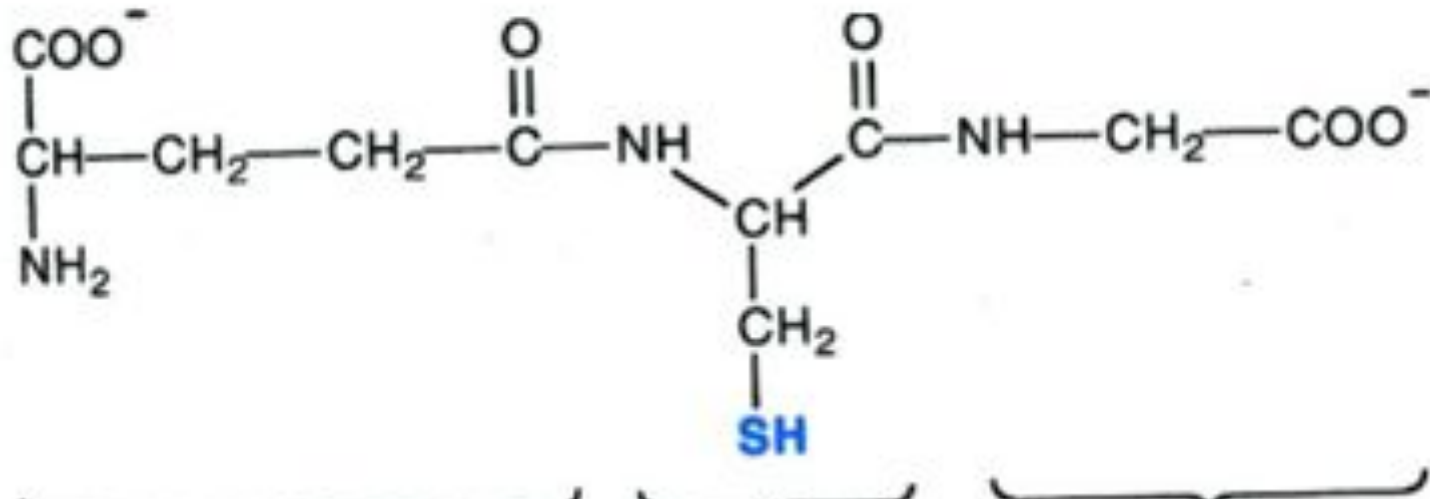
Основные классы: μ (M1-M5), α (A1-A4),
 π , θ , κ , ω

Механизм реакции

- Это димерные белки.
- Активный центр содержит тирозин (A), серин (B) или цистеин (C).
- Они взаимодействуют с тиоловой группой GSH, понижая свою рК до 6-7 (против нормы 9,0).

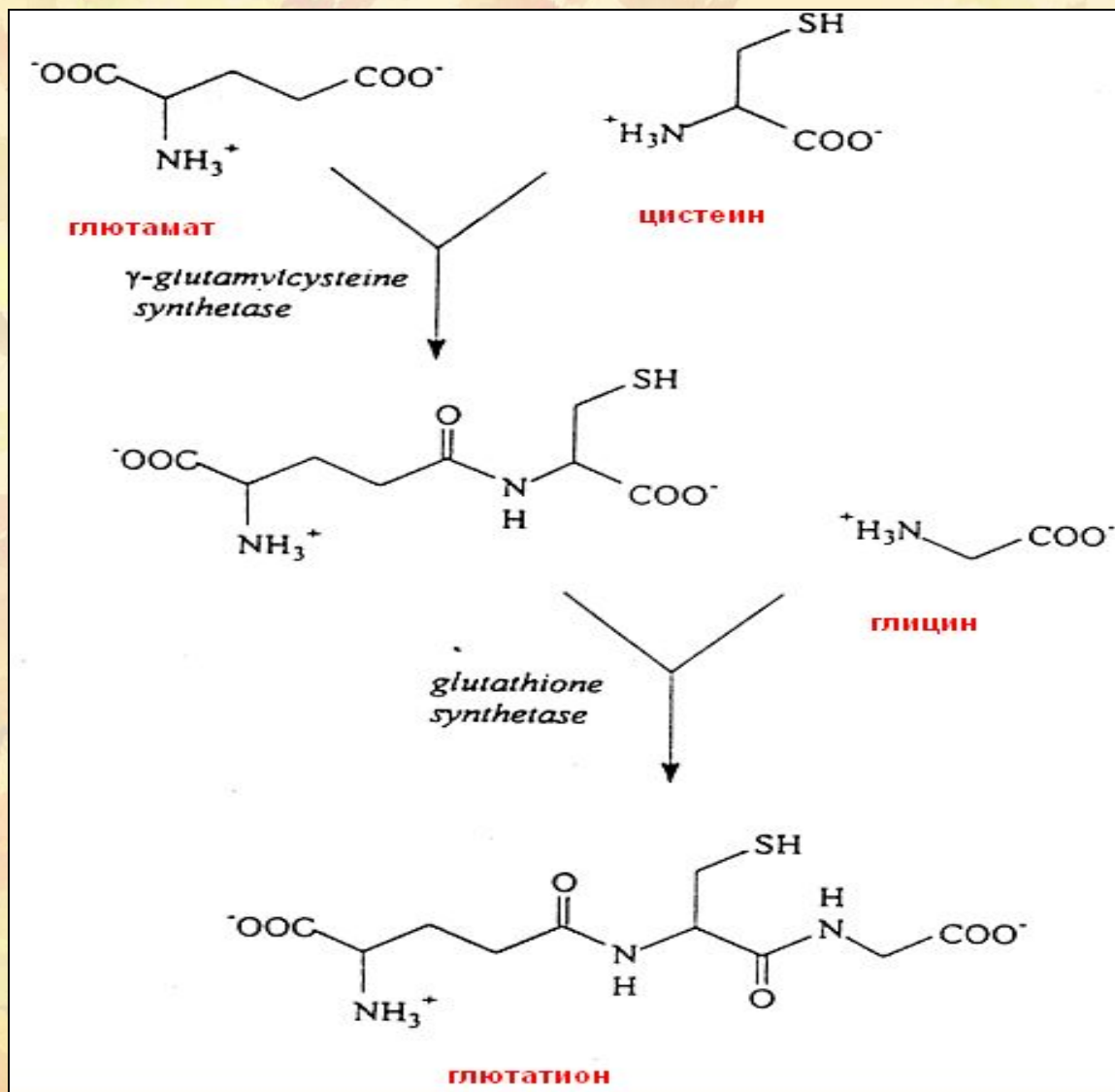


Структура глютатиона (GSH)



Глутатион

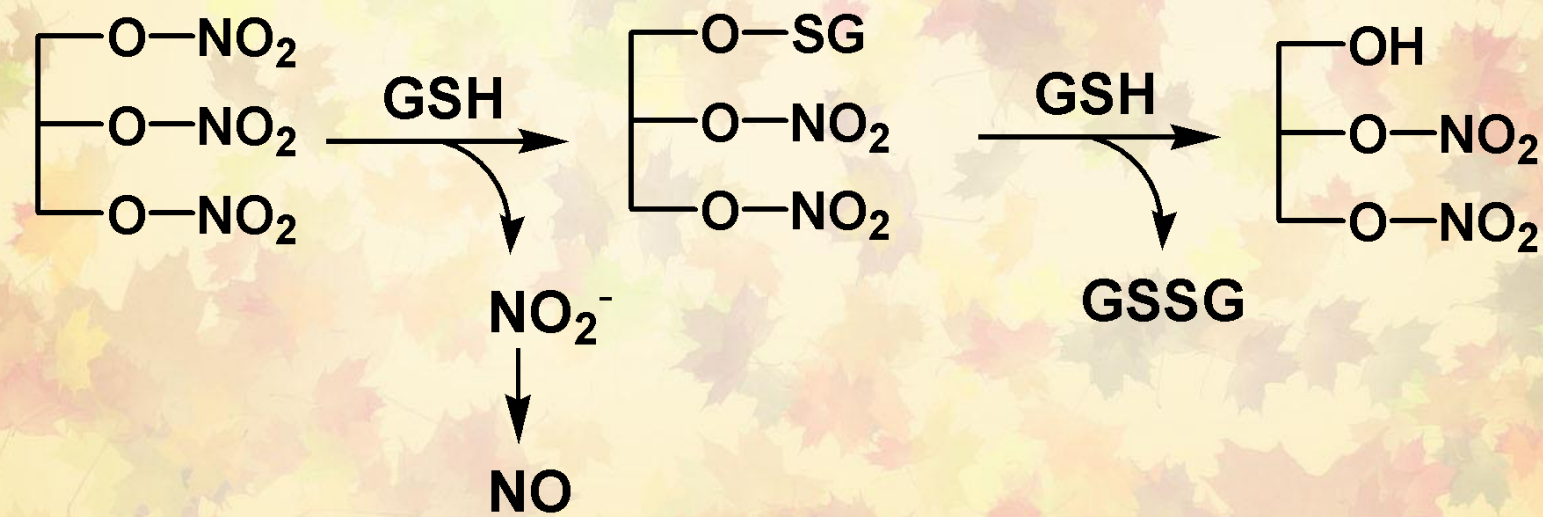
Синтез глютатиона



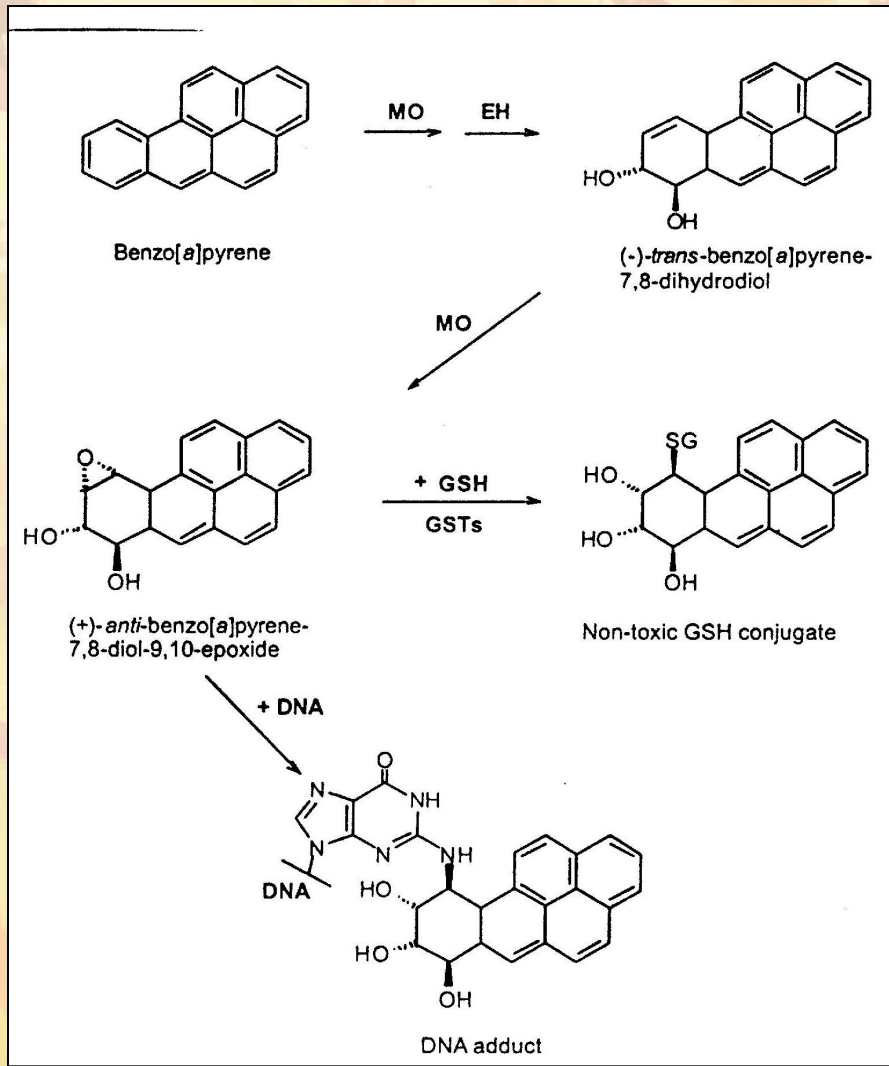
Функции GSH

- 1. Поставщик тиоловых групп
- 2. Защита тиолов белков от окисления в дисульфиды
- 3. Участие в биосинтезе белков и НК
- 4. Защита ДНК от электрофилов (в ионизированной форме тиолата)
- 5. Защита от радикалов кислорода
- 6. Кофактор многих б/х реакций (гл. редуктаза и гл. пероксидаза)

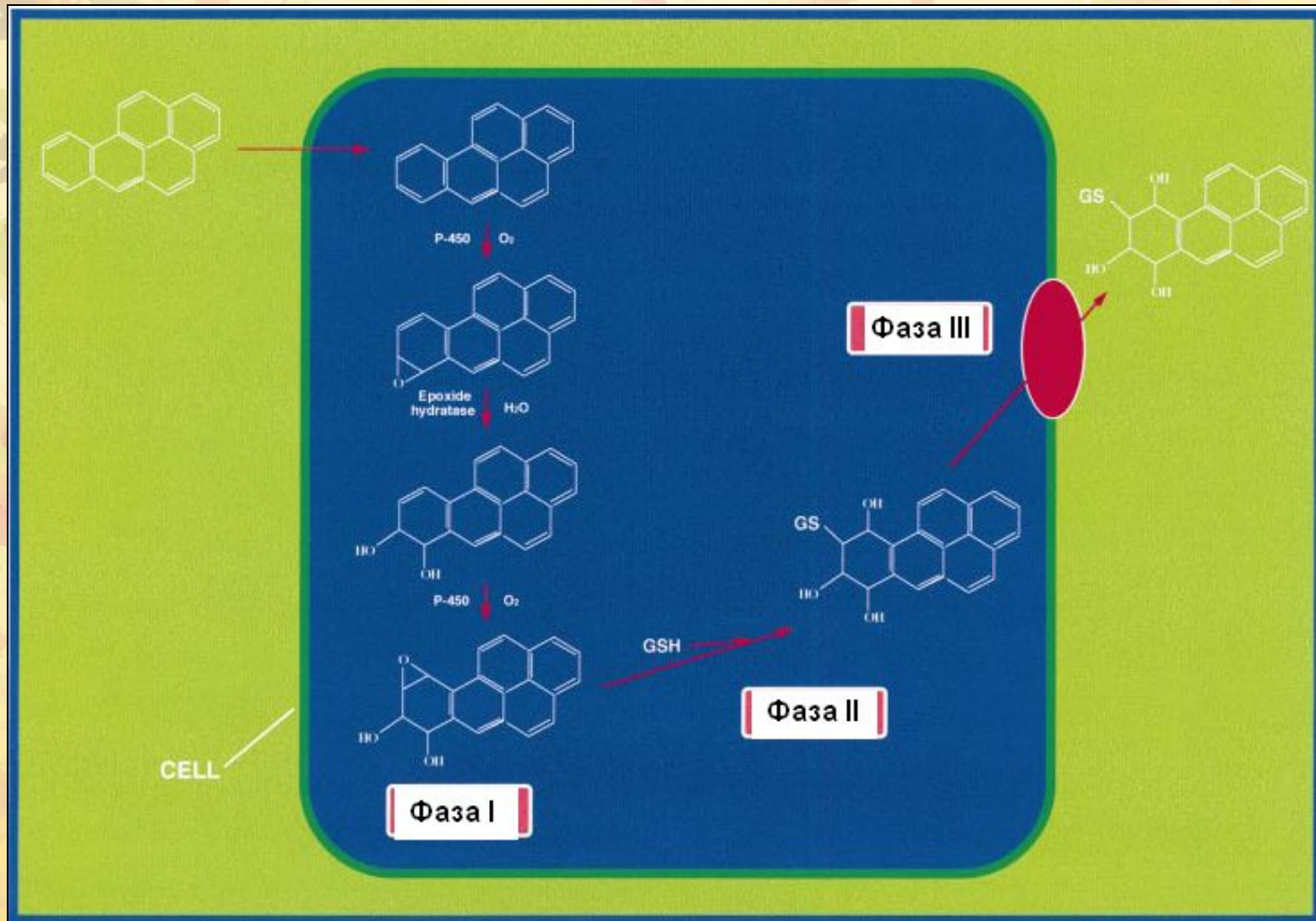
Пример реакции конъюгации электрофильного гетероатома с глутатионом



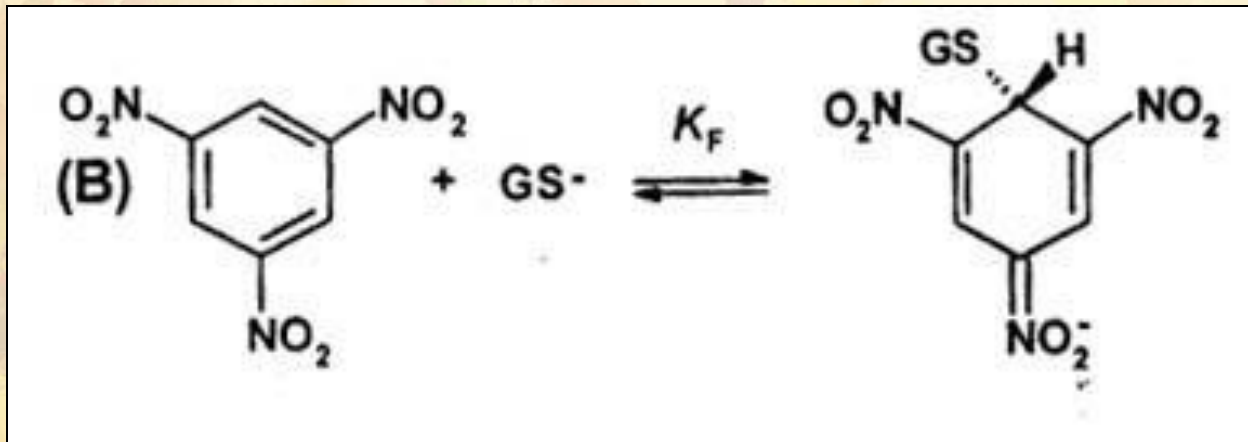
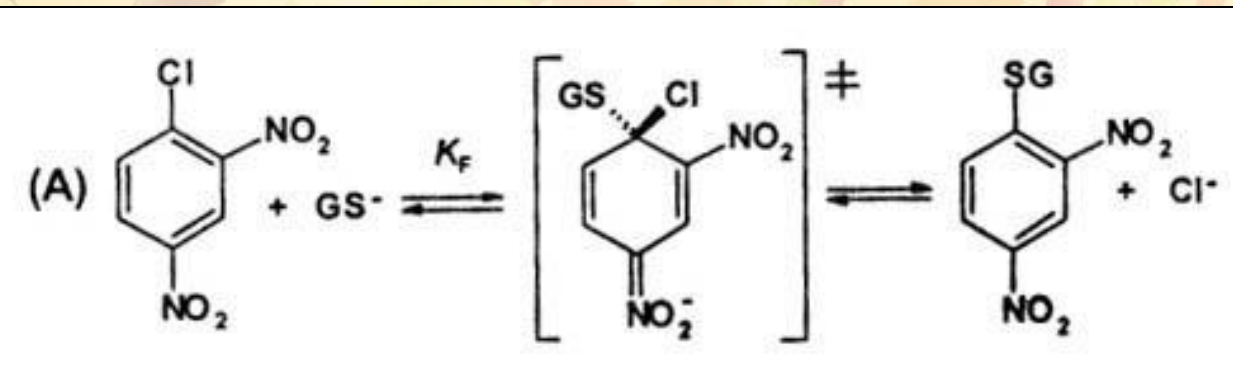
GST в метаболизме бензо(а)пирена



Роль GST в детоксикации



Реакции, катализируемые глютатион-S-трансферазой

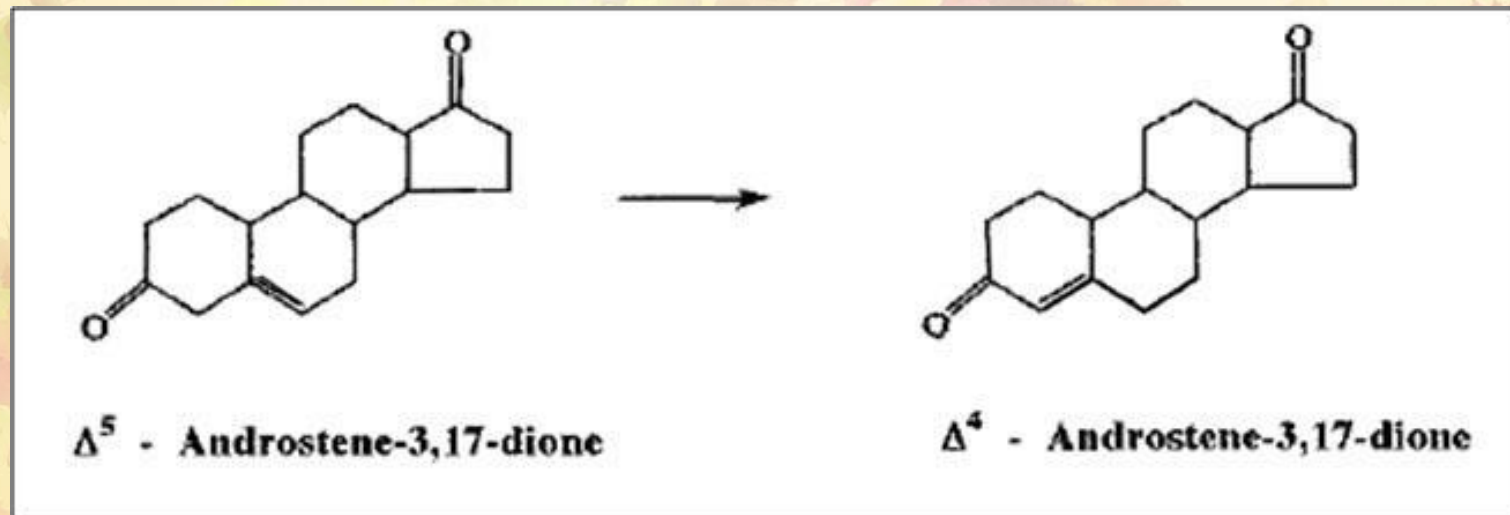


Классификация GSTs

- Alpha/Mu/Pi classes
- Theta class
- Kappa class
- Zeta class
- Omega class
- Sigma class

Alpha-class GSTs

- Выявлено по крайней мере 6 типов субъединиц: A1, A2, A3, A4, A5 и A6 у крыс, A1- A4 у человека
- Реакция стероидной изомеризации:

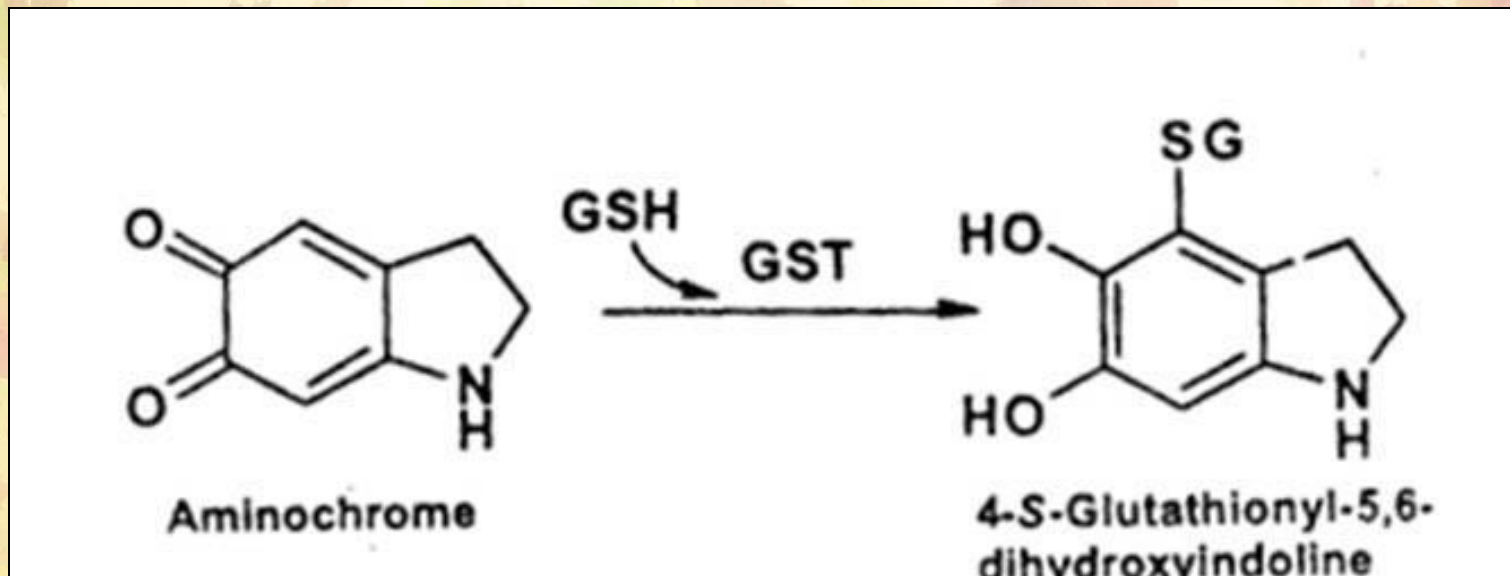


GSTA4: реакция с этакриновой кислотой,
гидроперекисями липидов, 4-гидроксиалкенами
GSH пероксидазная активность

Mu-class GSTs

- По крайней мере 6 субъединиц Mu-class (M1, M2, M3, M4, M5 и M6 у крыс), 5 – у человека
- У человека 4 аллельных вариантов GST M1. Частота «0» варианта – до 50% популяции

Конъюгация глютатиона с аминохромом, циклизированный о-хинон допамина эффективно катализируется GST-M2-2



Реакции, катализируемые GST-P

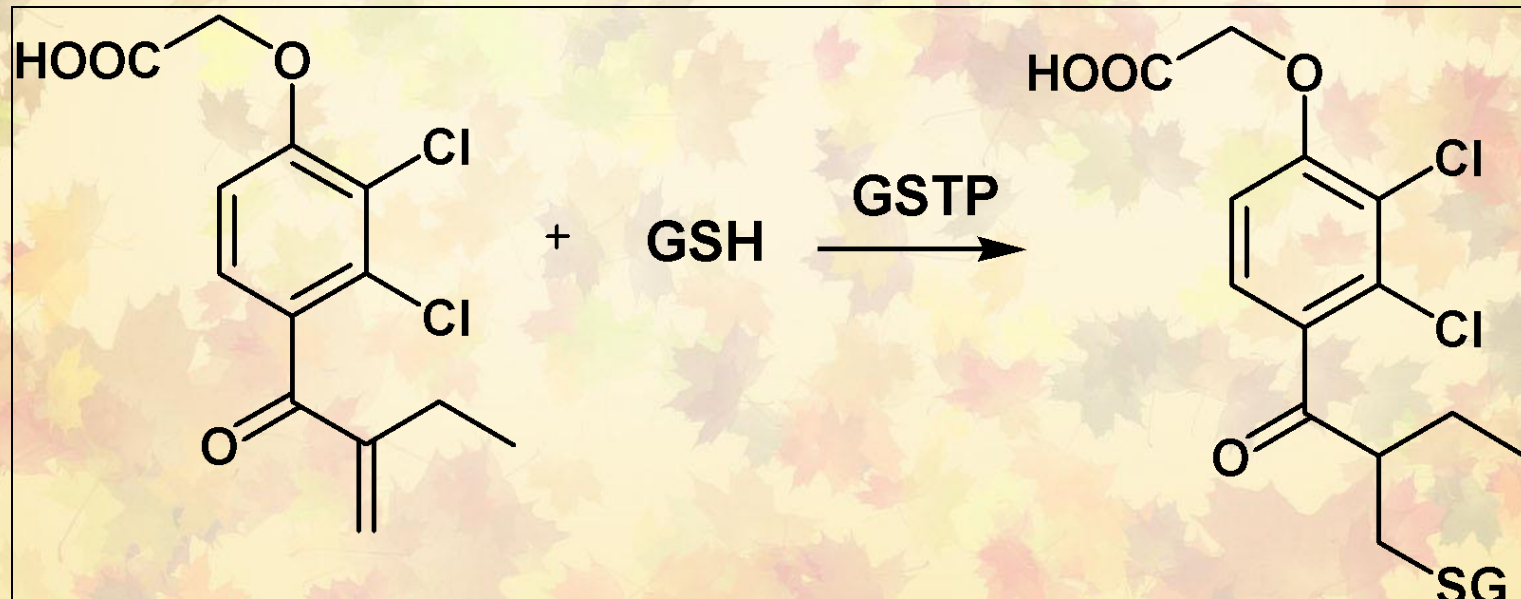
Изомеризация ретиноевой кислоты:



13-cis - retinoic acid

All-trans - retinoic acid

Реакция конъюгации этакриновой кислоты и глутатиона



GST theta class

- 7% гомологии с Alpha, Mu, Pi classes
- Не взаимодействует с 1-chloro-2,4-dinitrobenzene
- Имеет серин в катализическом центре
- У человека: (hGST T1-1 и hGST T2-2)

GST kappa class

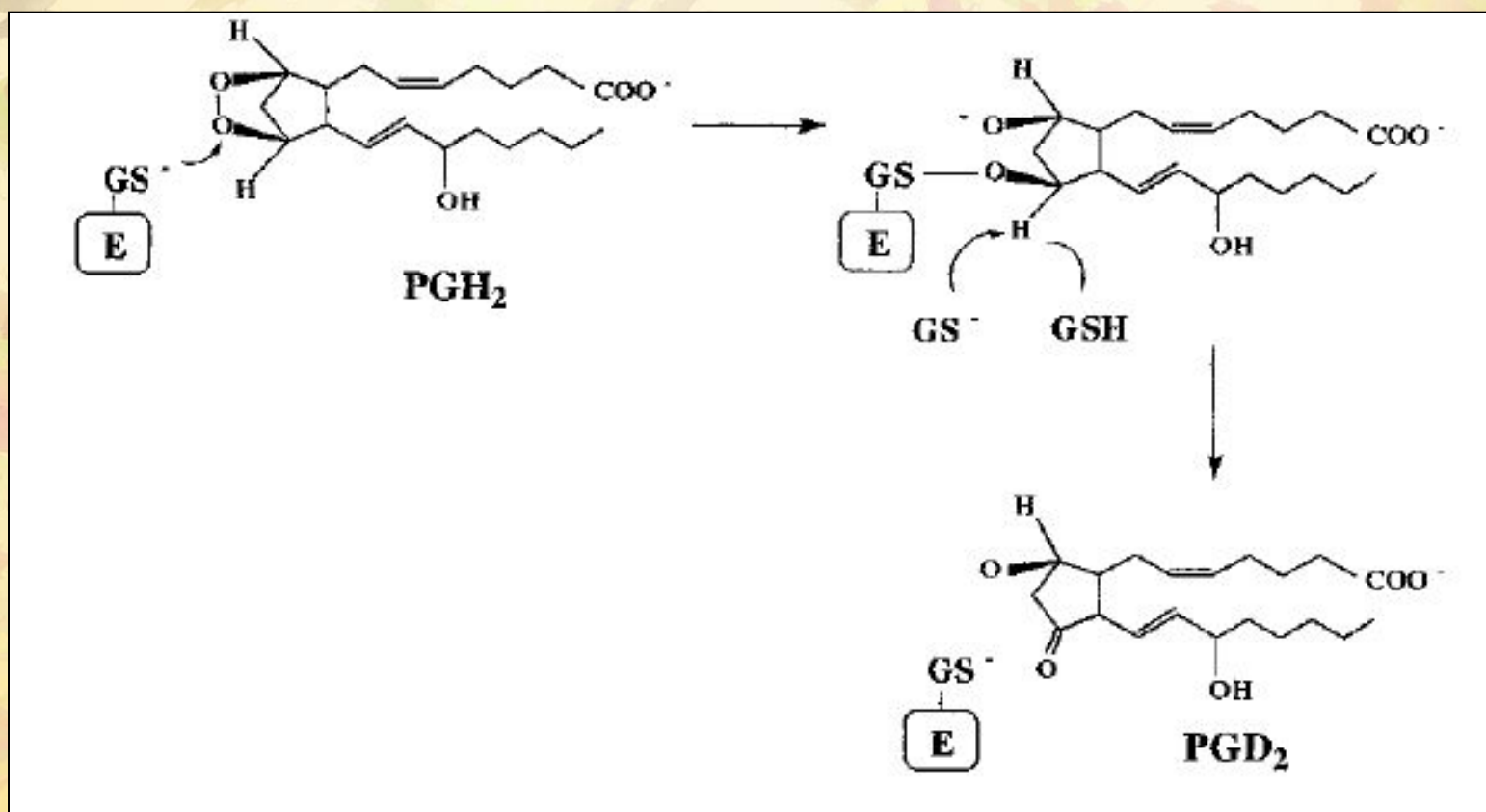
- В структуре белка нет SNAIL/TRAIL motif

GST omega class

- Высокая активность по отношению к CDNB, 7-chloro-4-nitrobenzo-2-oxa-1,3-diazole, *p*-nitrophenyl acetate.
- Обладает тиол-трансферазной и дегидроаскорбат редуктазной активностями. Возможная 'housekeeping' функция Omega-class GSTs – высвобождение S-тиоловых аддуктов, которые формируются на белках с GSH и цистеином в ответ на оксидативный стресс
- Распространена во многих тканях человека

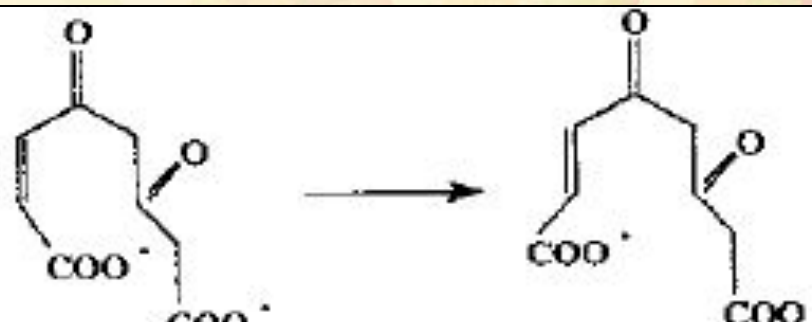
Функции GST sigma

- Простагландин-синтаза:



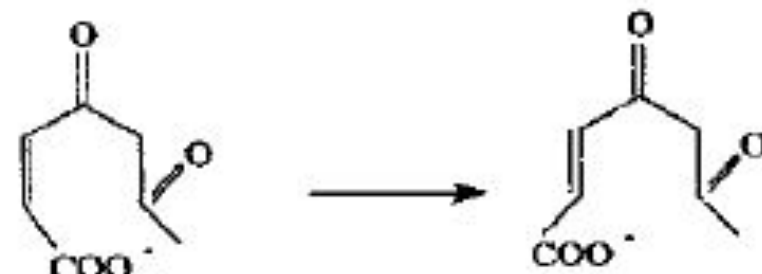
Реакции, катализируемые GST zeta

Малеилацетоацетат изомераза:



Maleylacetoacetic
acid

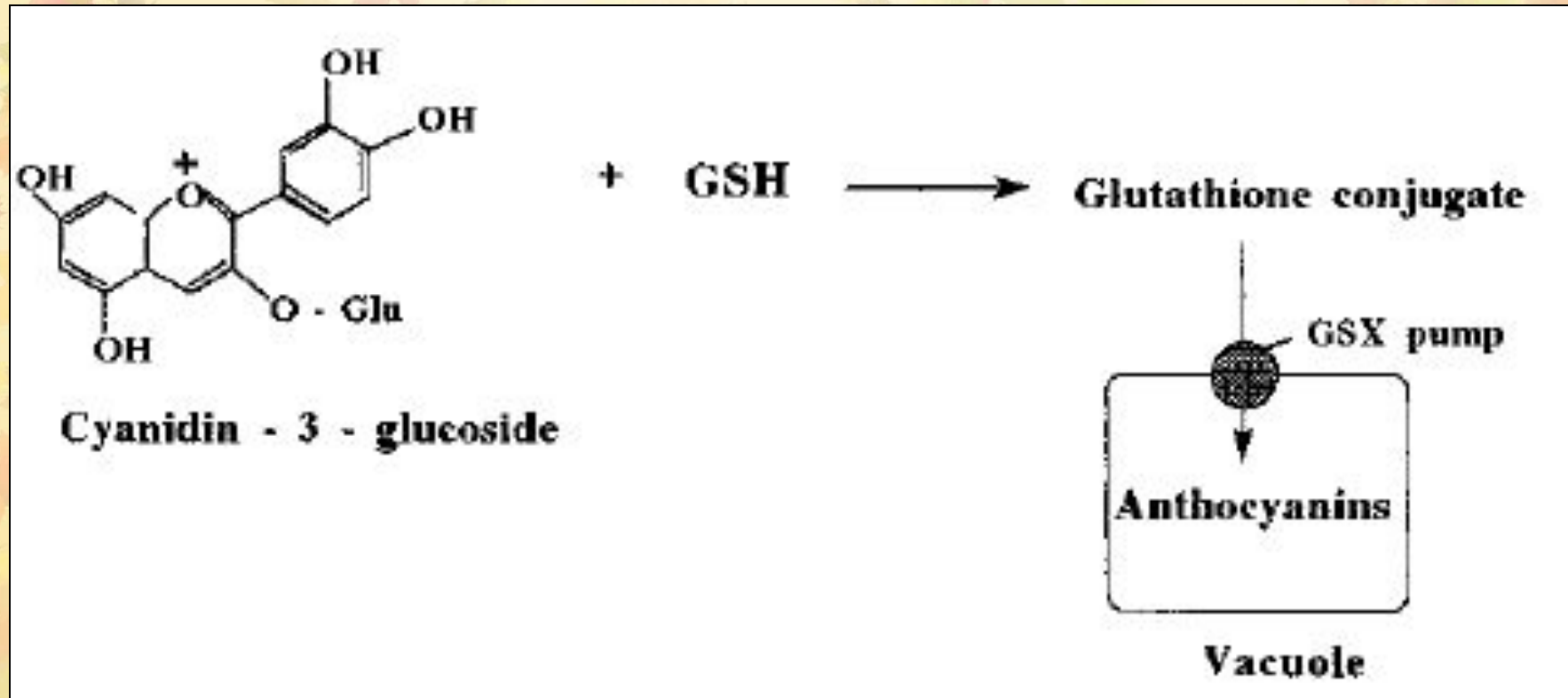
Fumarylacetoacetic
acid



Maleylacetone

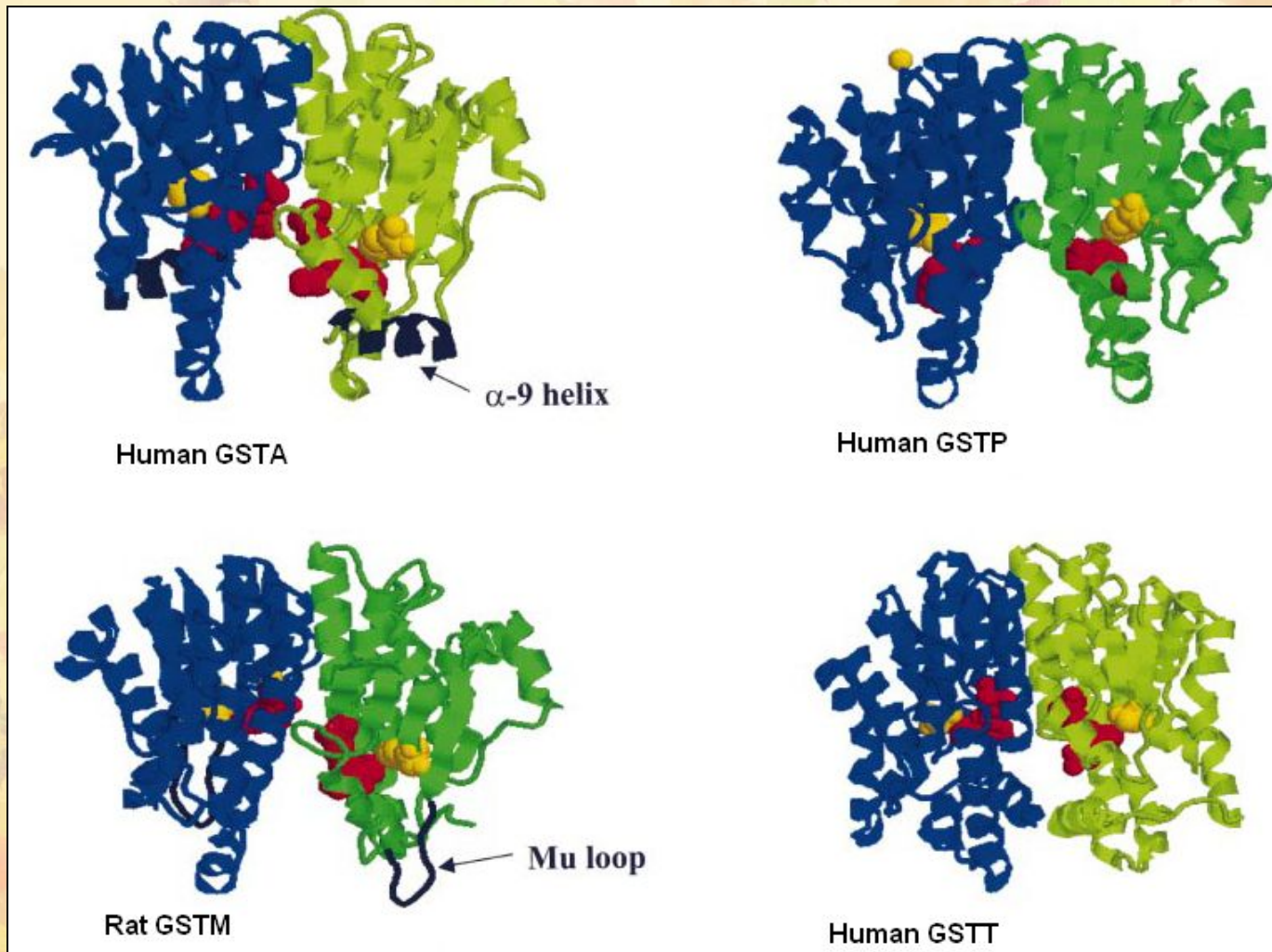
Fumarylacetone

Синтез цианидинов у растений (GSTP и GSTT)

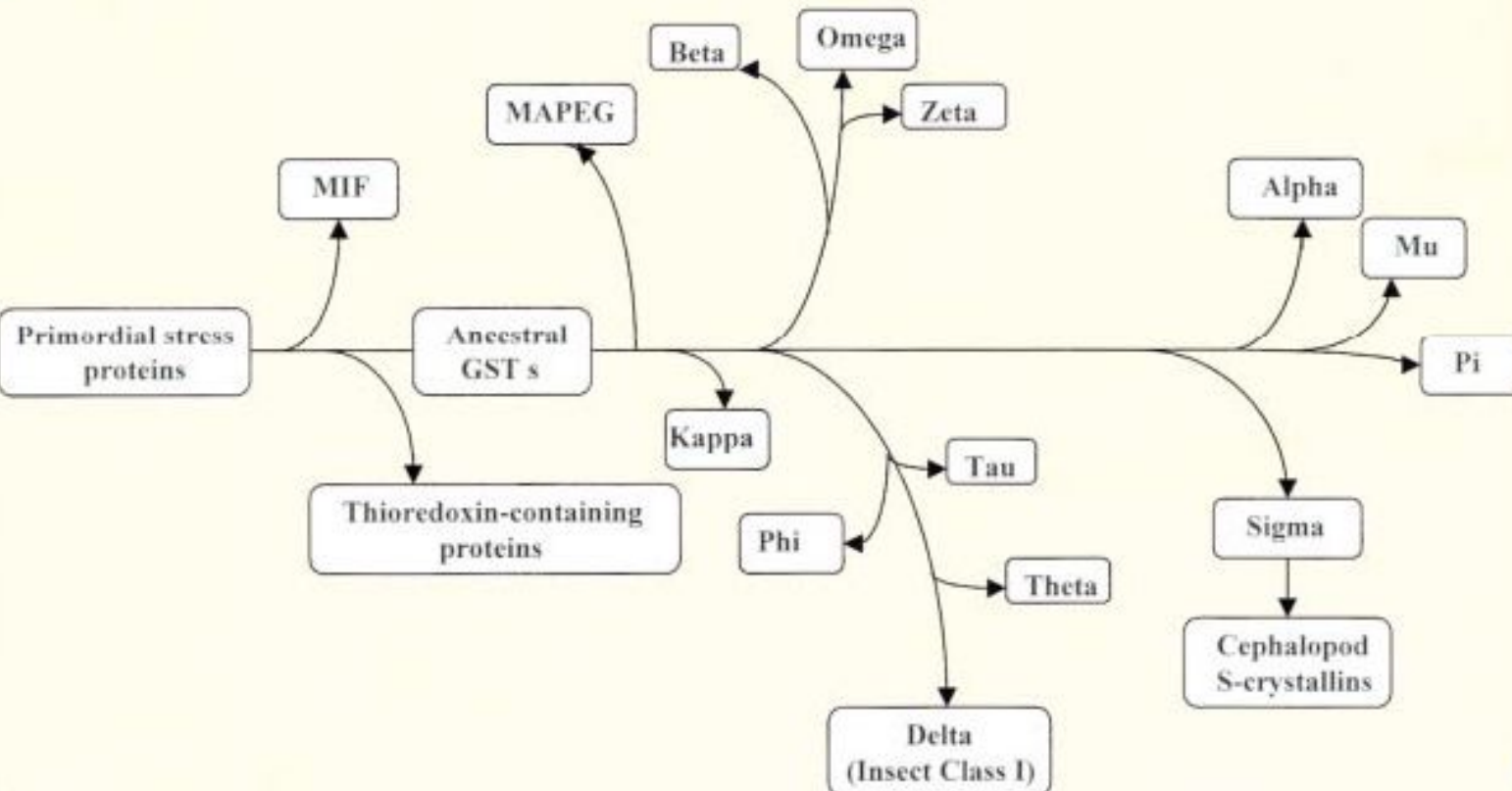


Структуры GSTs

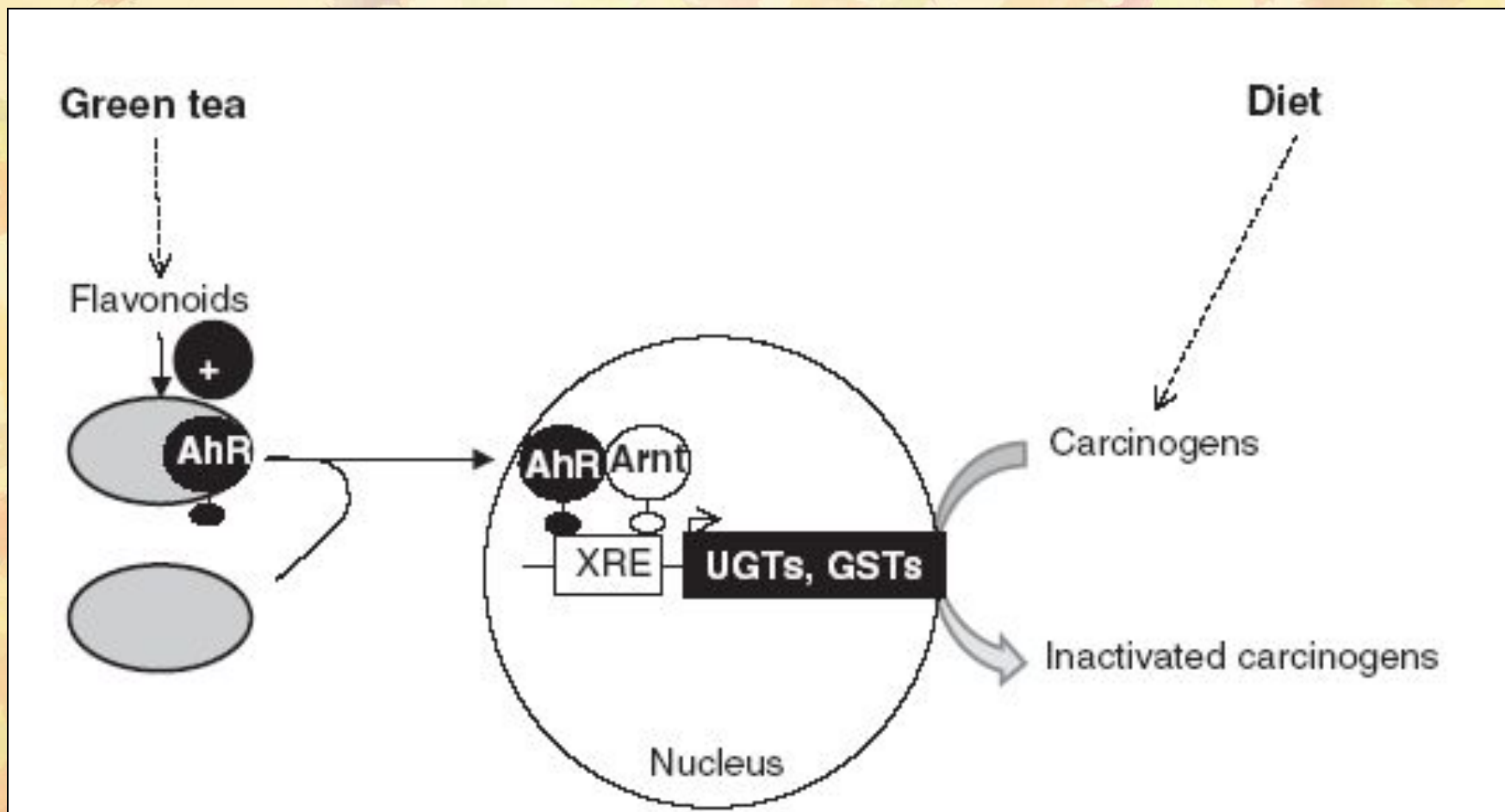
желтый – остатки тирозина или серина
красный - субстрат



Филогения GSTs



Анти-канцерогенный эффект зеленого чая через AhR-GST/UGT путь



4. Реакции ацетилирования

Ацетилирование соединений, содержащих амино-, гидроксил-сульфгидрильные группы.

N-Ацетилирование – основной путь биотрансформации

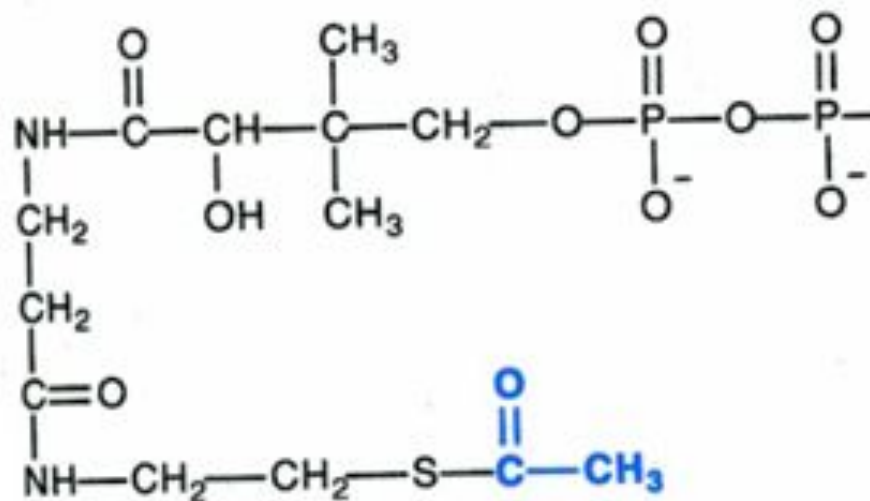
Ар. Аминов, лекарств, содержащих гидразогруппу

(R-NH-NH₂), которые превращаются в ароматические амиды

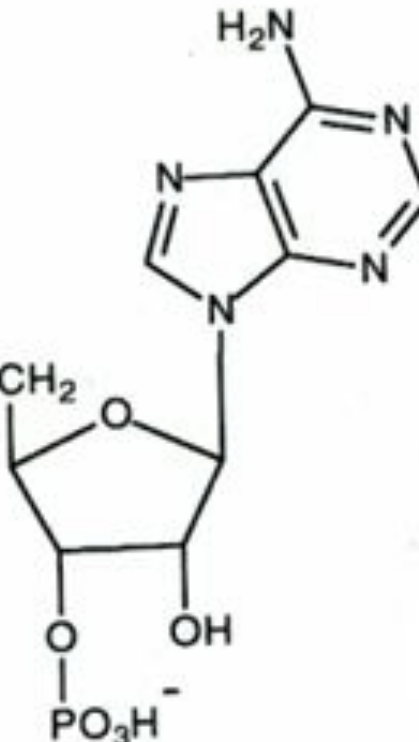
(R-NH-COCH₃) или гидразины (R-NH-NH-COCH₃)



Кофактор ацетилирования



Ацетил-КоА

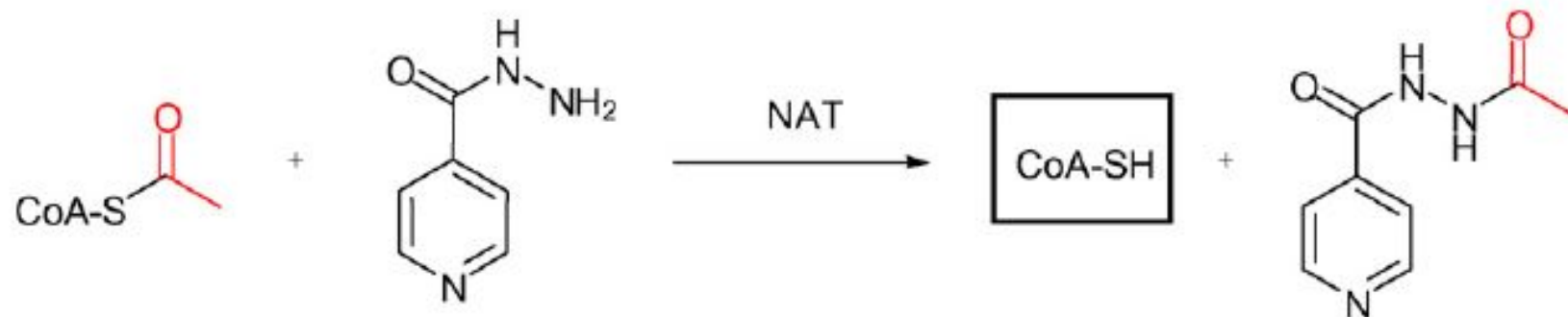


Реакции, катализируемые NAT

- N-Acetylation of arylamines

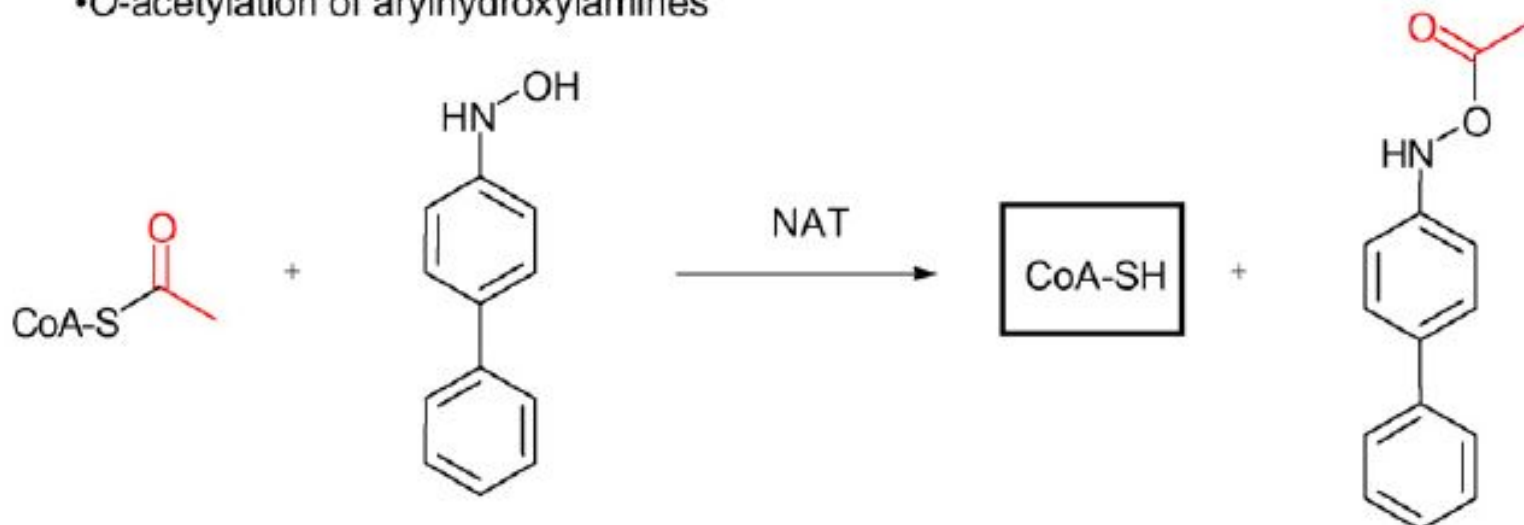


- N-Acetylation of arylhydrazines

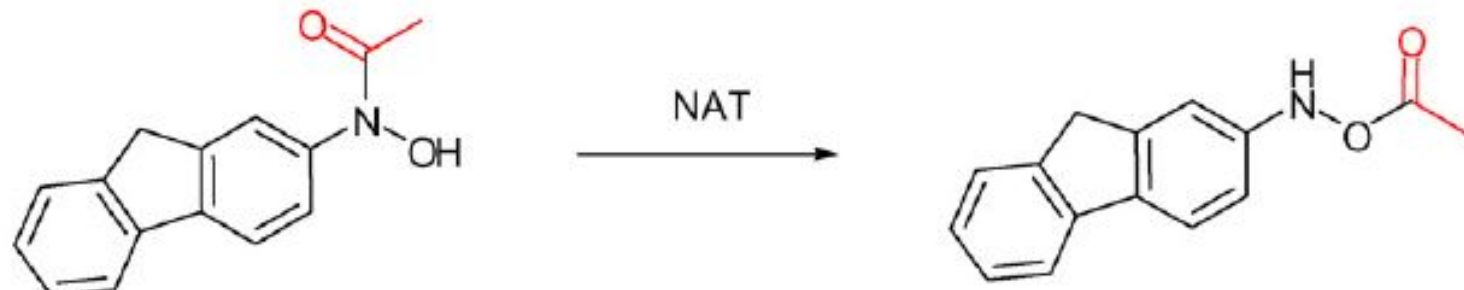


Реакции, катализируемые NAT

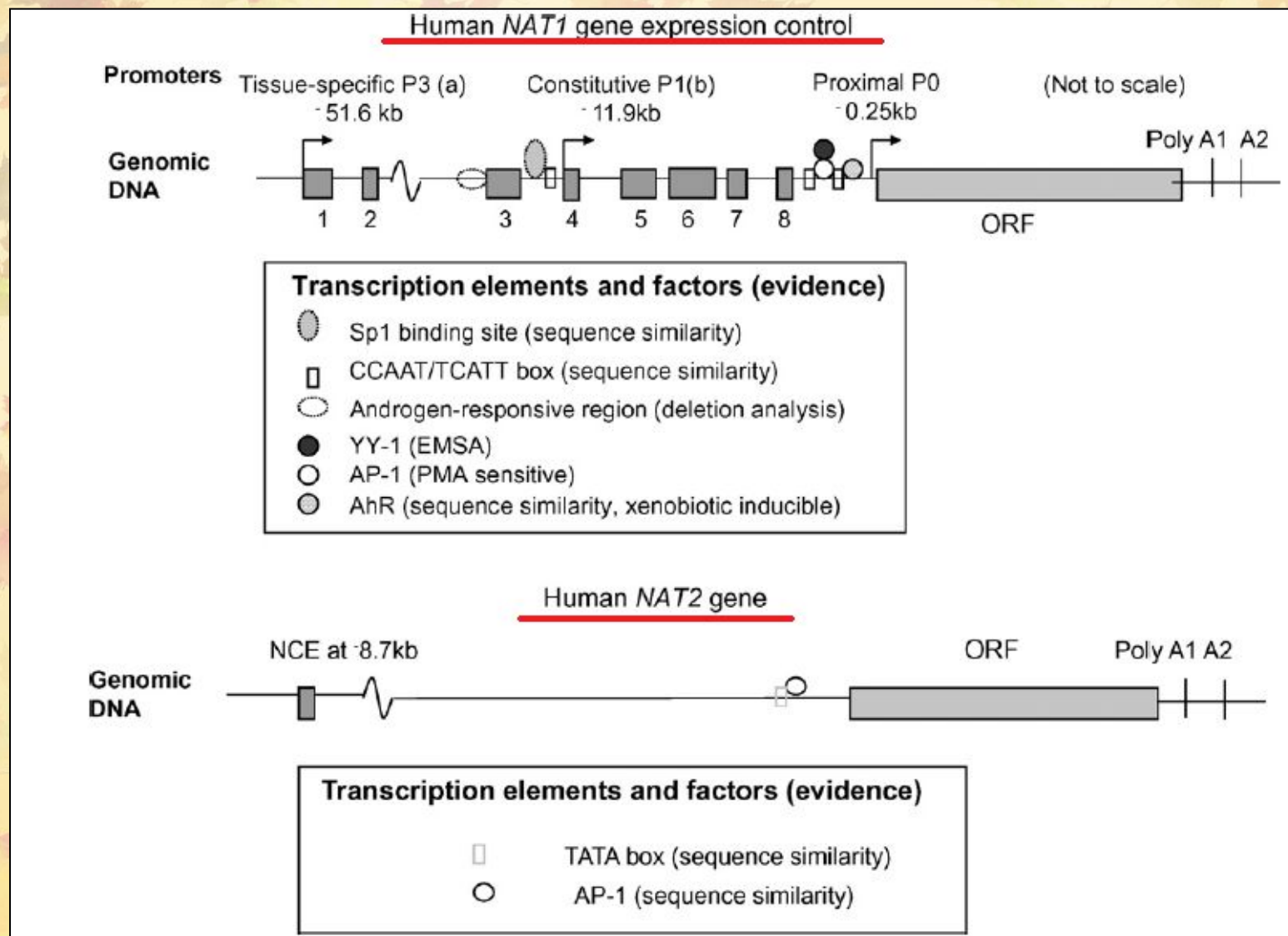
• O-acetylation of arylhydroxylamines



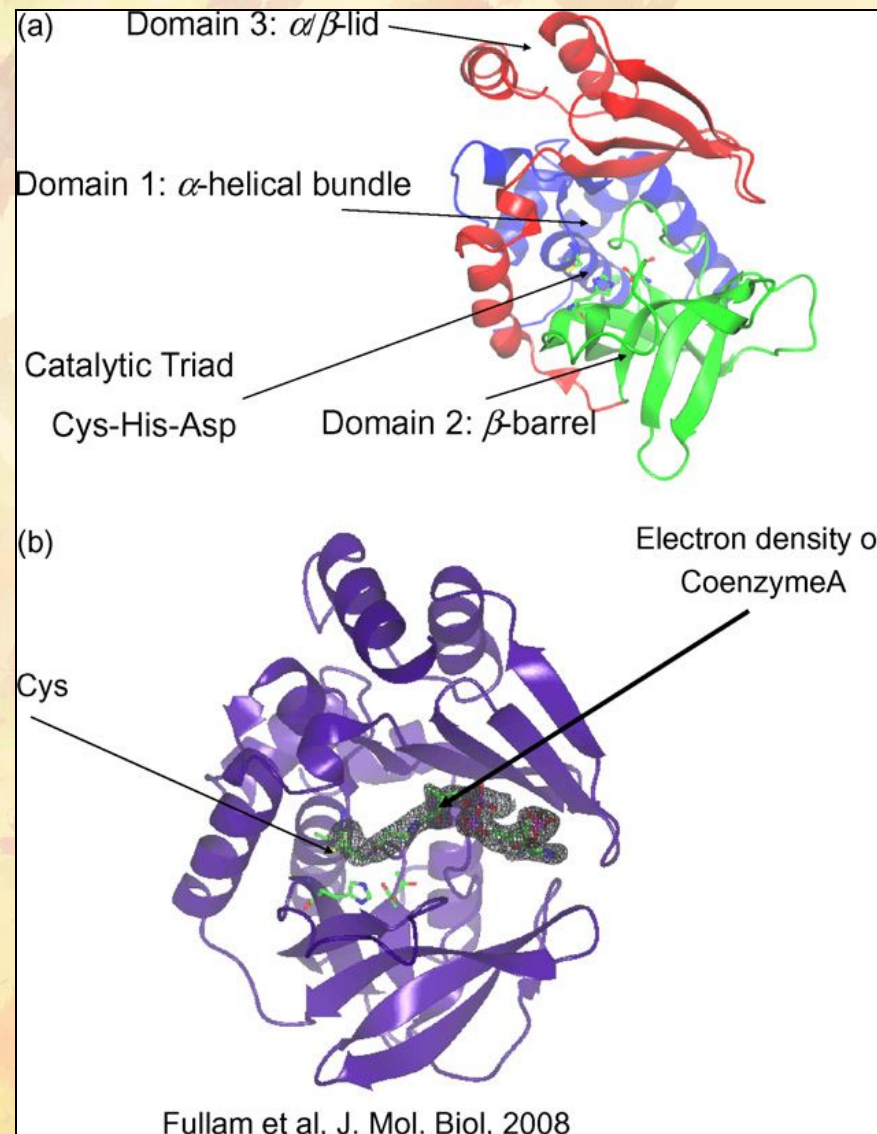
• N,O-acetyltransfer



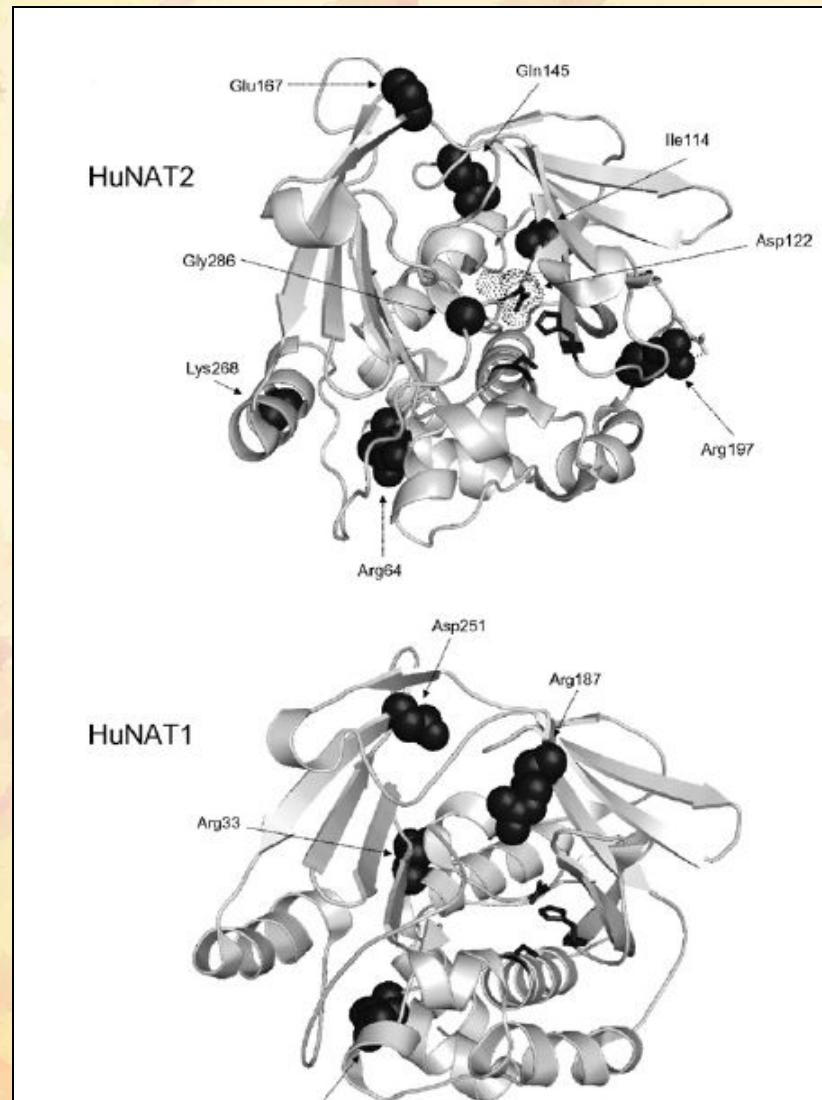
Структура генов NAT



Структура NAT микобактерий



Структура NAT человека



Взаимодействие NAT с субстратами

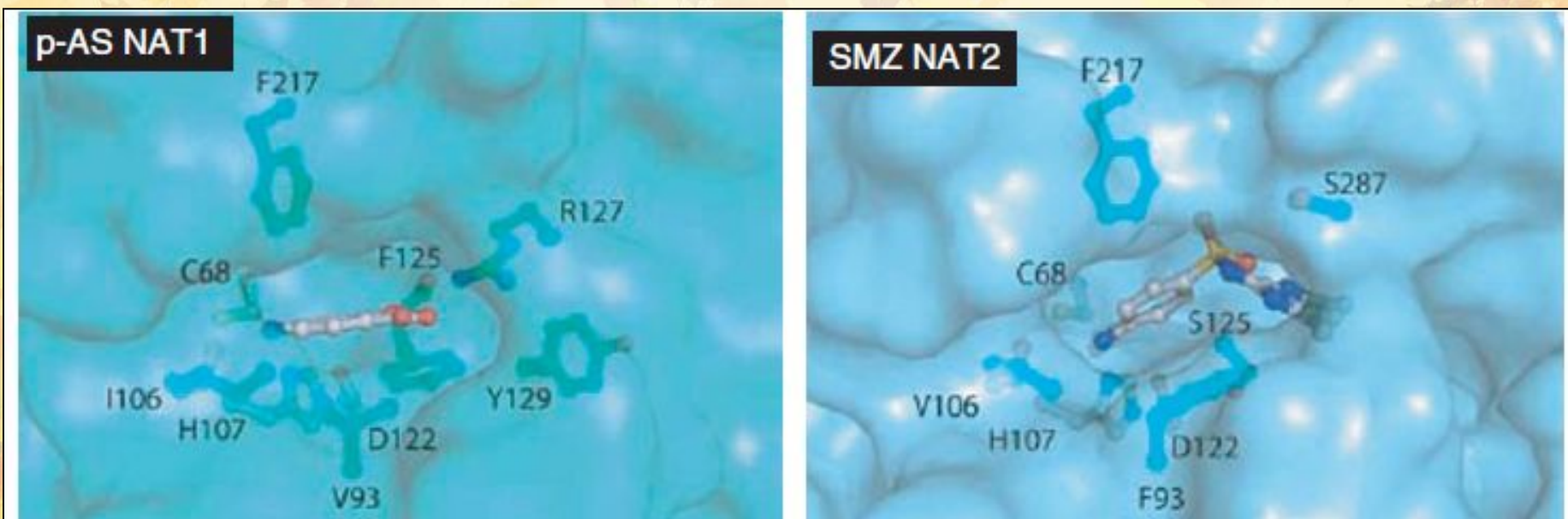
human NAT1 with (p-aminosalicylate) pAS

in the active site cleft and

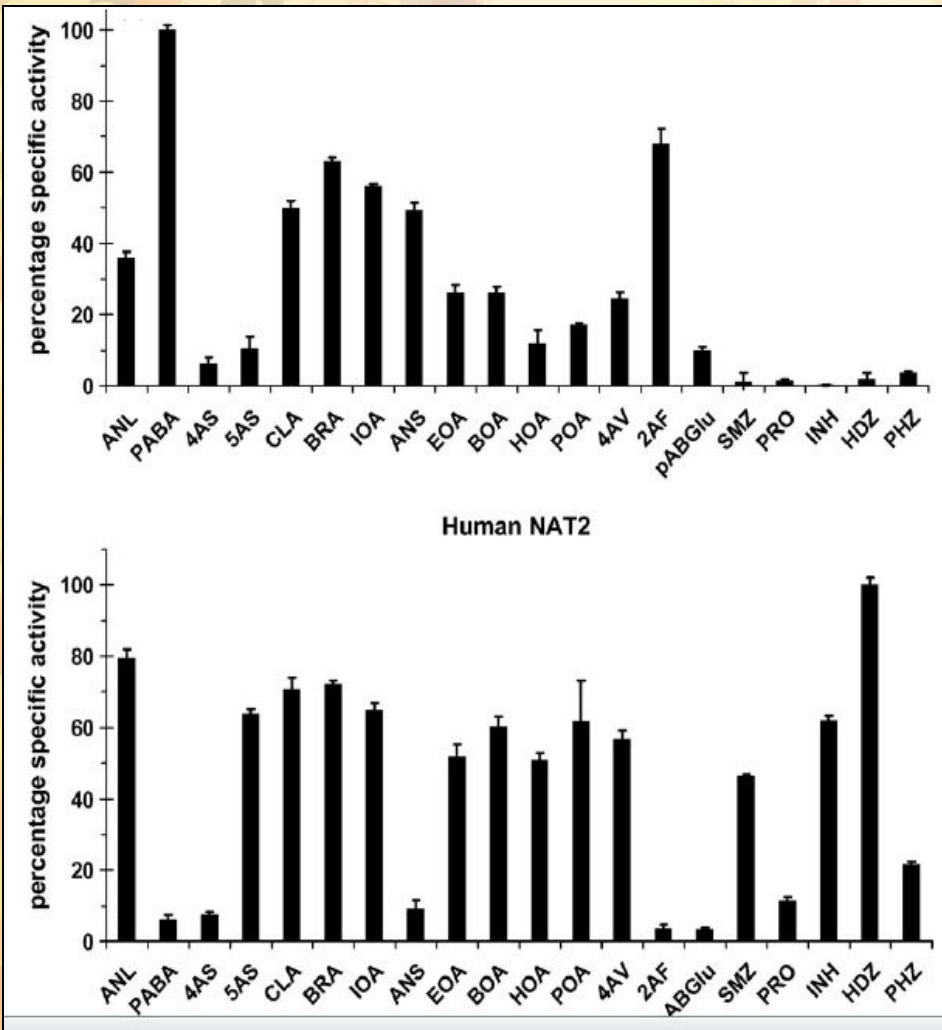
human NAT2 with sulphamethazine

(SMZ) in the active site cleft. The single letter code is used for amino acids.

(After Wu et al., 2007)

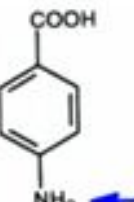
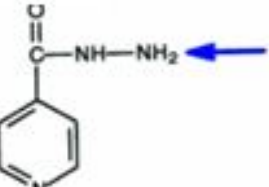
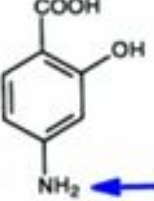
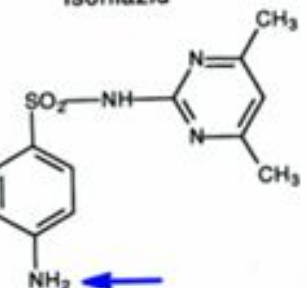
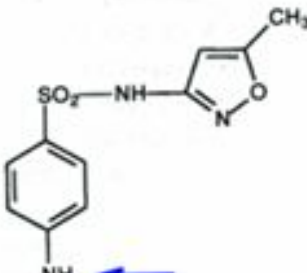
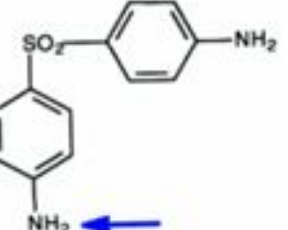


Субстратная специфичность NAT1 и NAT2



aniline (ANL),
4-aminobenzoic acid (PABA),
4-aminosalicylic acid (4AS),
5-aminosalicylic acid (5AS),
4-chloroaniline (CLA),
4-bromoaniline (BRA),
4-iodoaniline (IOA),
4-methoxyaniline (ANS),
4-ethoxyaniline (EOA),
4-butoxyaniline (BOA),
4-hexyloxyaniline (HOA),
4-phenoxyaniline (POA),
4-aminoveratrole (4AV),
2-aminofluorene (2AF),
4-aminobenzoyl-L-glutamate (pABGlu),
sulphamethazine (SMZ),
procainamide (PRO),
4-aminopyridine (APY),
Isoniazid (INH),
hydralazine (HDZ),
phenylhydrazine (PHZ)

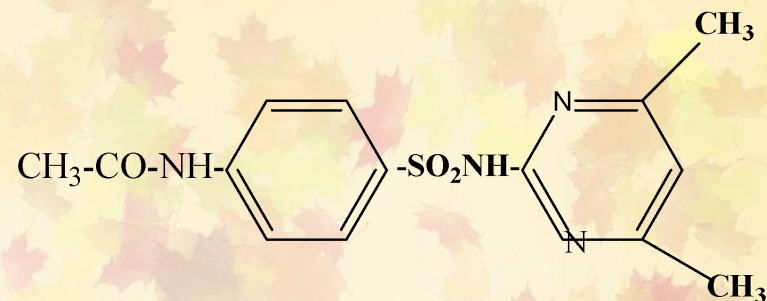
Субстраты для NATs

NAT1	NAT2
 para-Aminobenzoic acid	 Isoniazid
 para-Aminosalicylic acid	 Sulfamethazine
 Sulfamethoxazole	 Dapsone

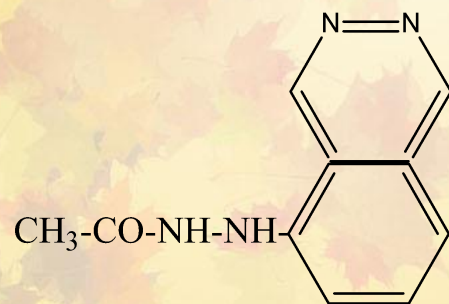
Ацетилирование лекарств



Изониазид

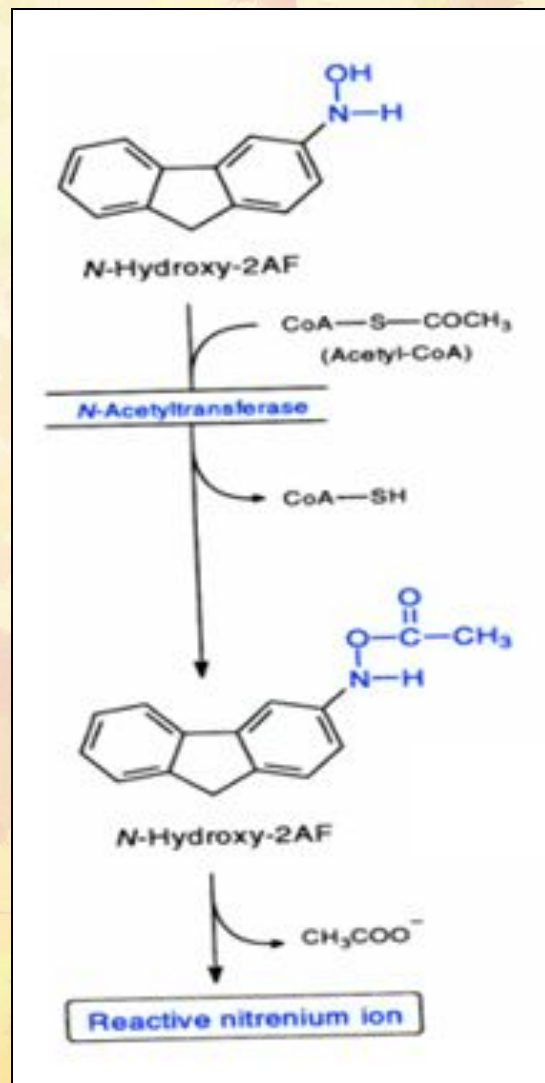


Сульфаметазин



Гидралазин

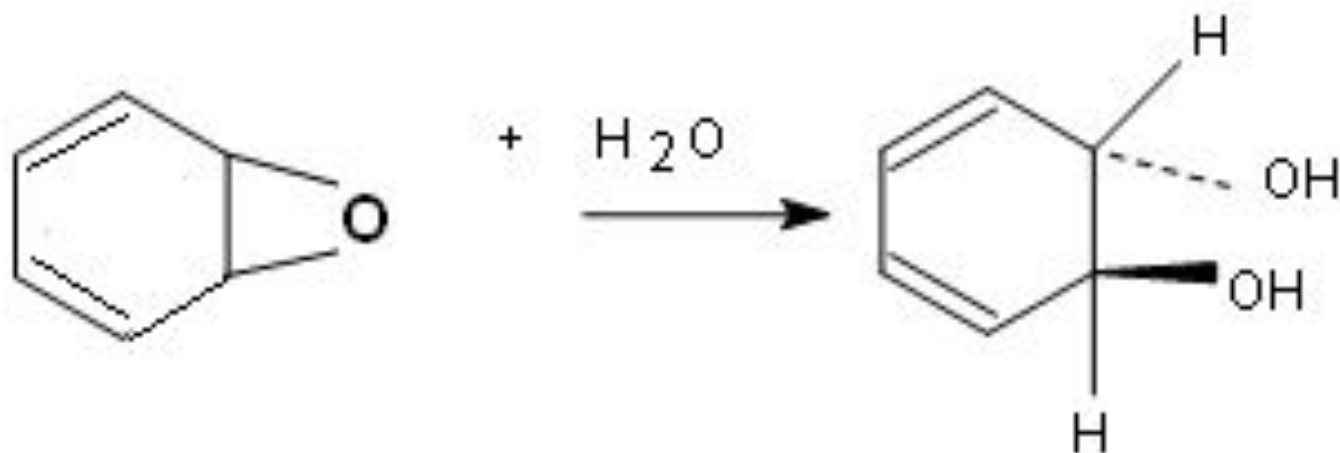
Активация канцерогенов ацетилированием



Генетический полиморфизм NAT1 и NAT2

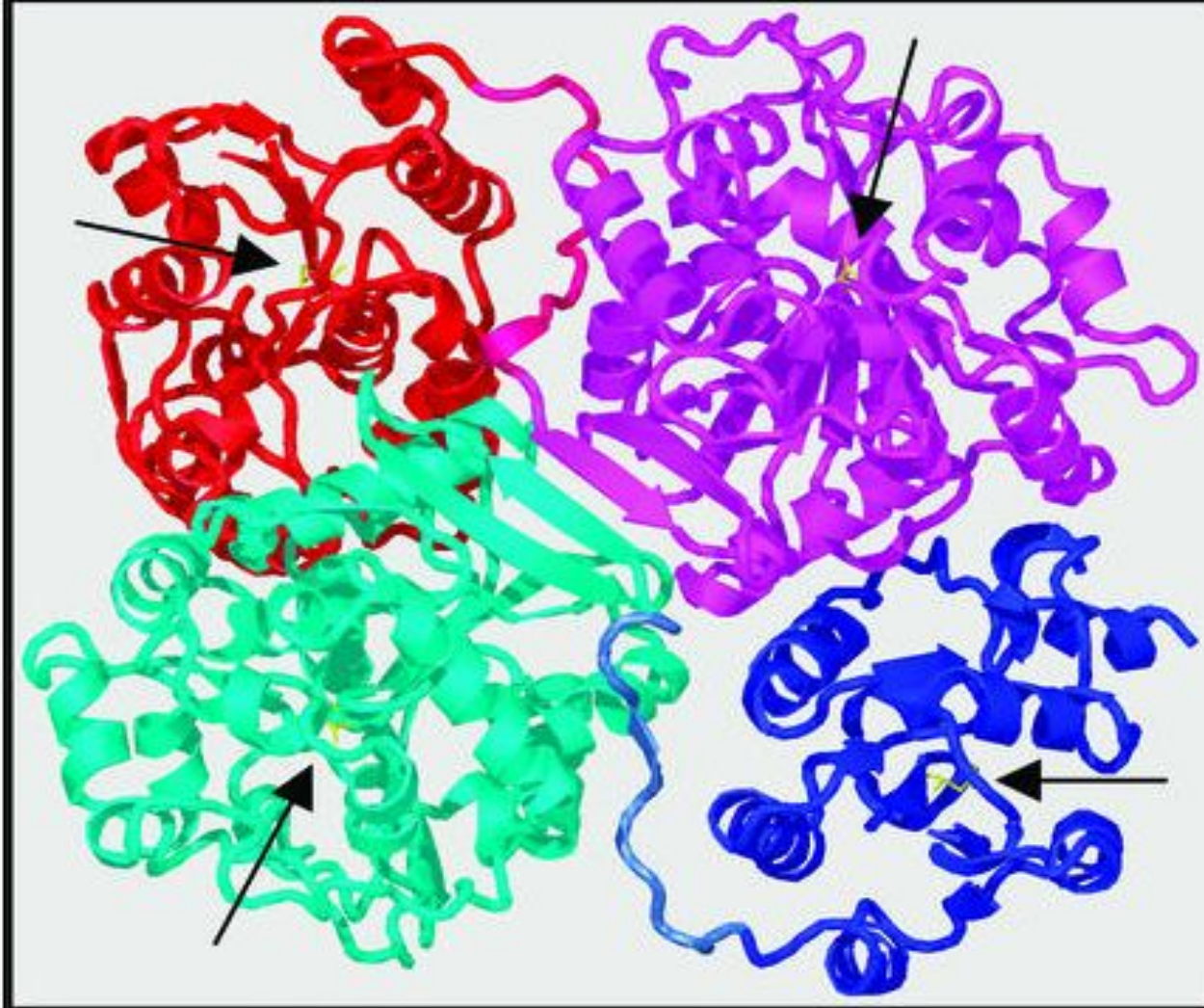
	Mutation	AA change
NAT2	G191A	Arg64Gln
	T341C	Ile114Thr
	G364A	Asp122Asn
	A434C	Gln145Pro
	G590A	Arg197Gln
	G857A	Gly286Gln
NAT1	C97T	Arg33Stop
	C190T	Arg64Trp
	C559T	Arg187Stop
	G560A	Arg187Gln
	A752T	Asp251Val

5. Эпоксидгидролазы



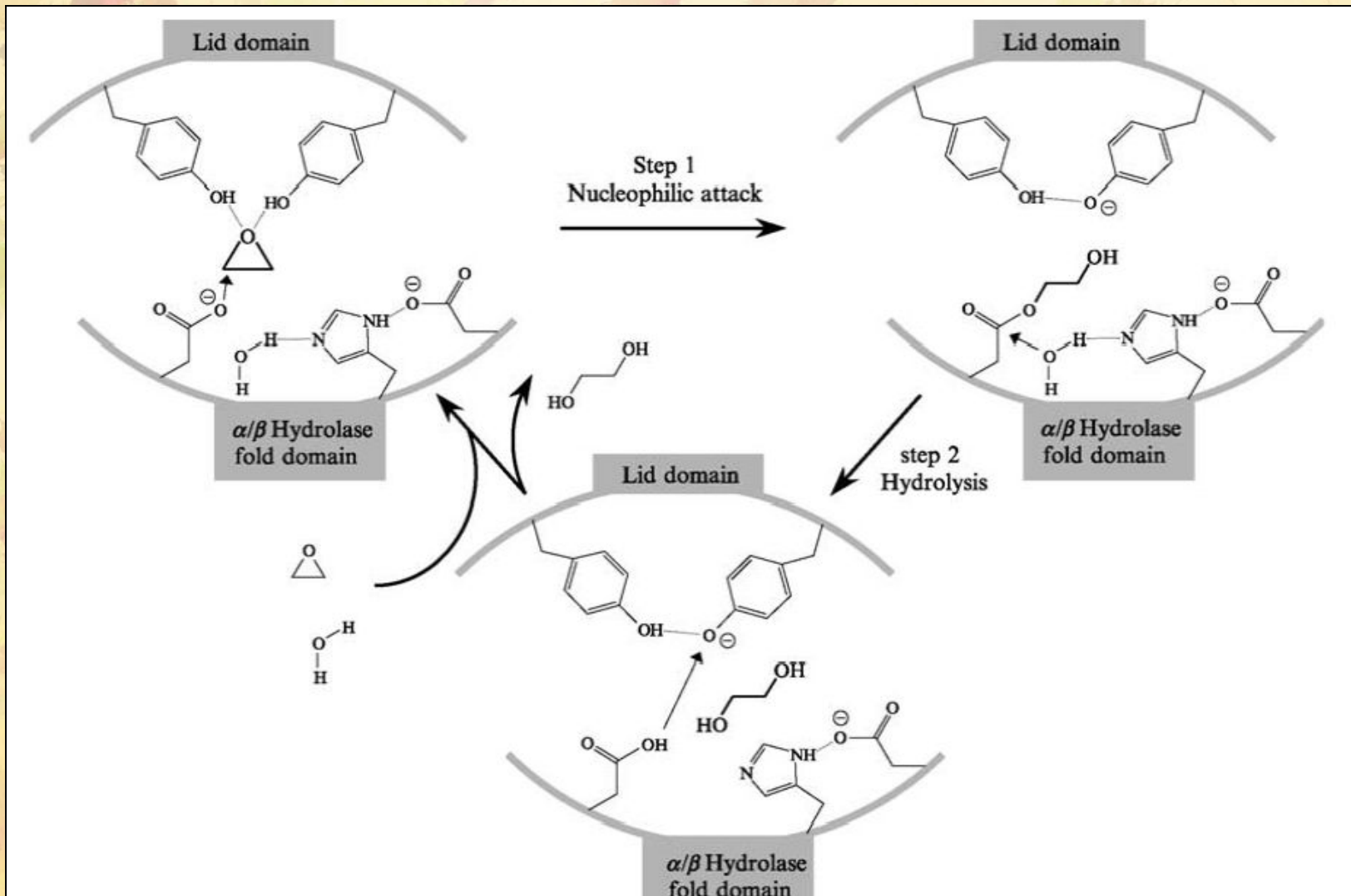
Формы эпоксидгидролаз (ЕН)

- 1. Холестериновая
- 2. Лейкотриеновая
- 3. Гипоксилиновая
- 4. Микросомальная (Метаболизм КСБ)
- 5. Растворимая (Метаболизм КСБ)

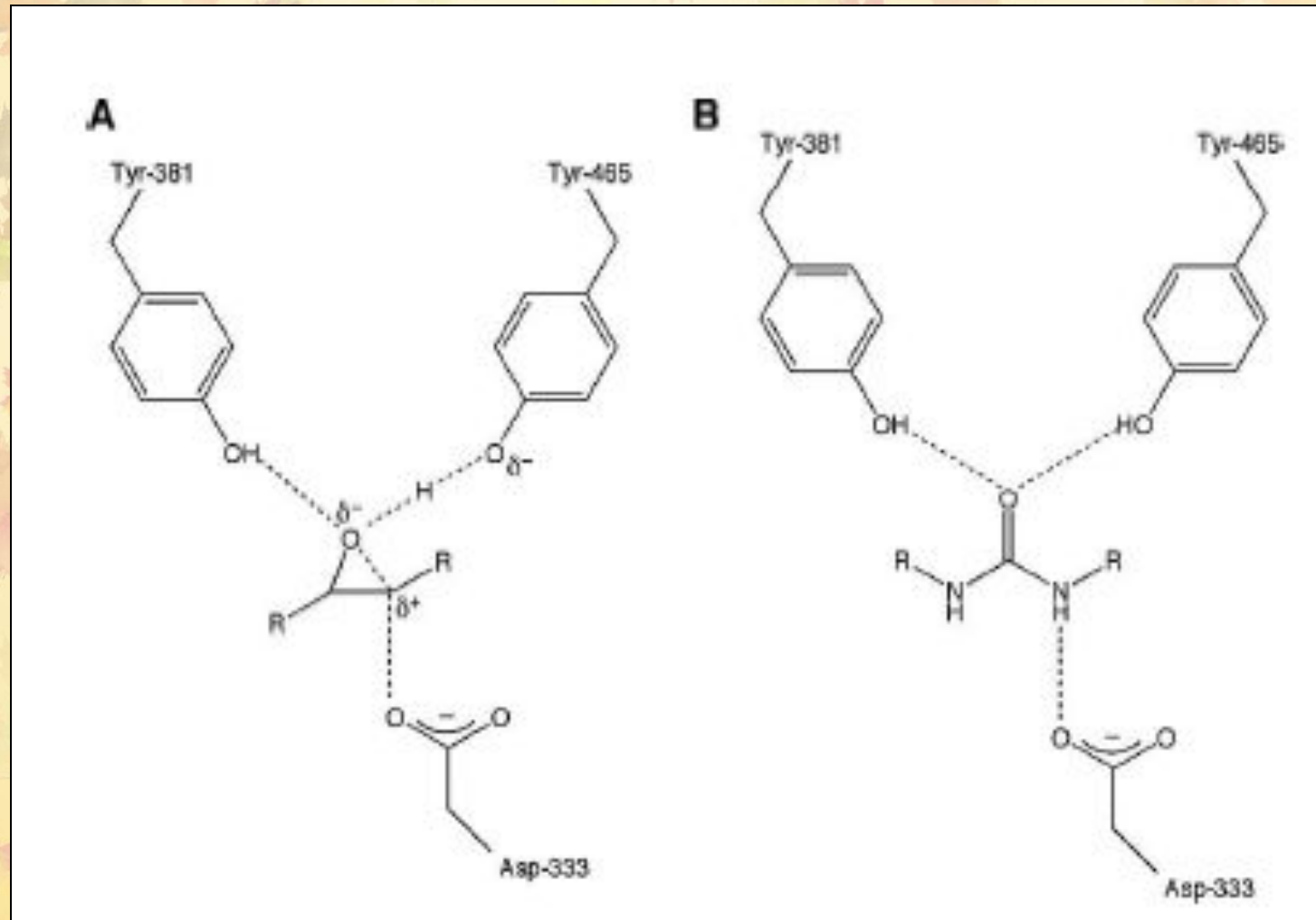


3D структура sEH млекопитающих. Во всех 4-х субъединицах имеются катализически активные центры.

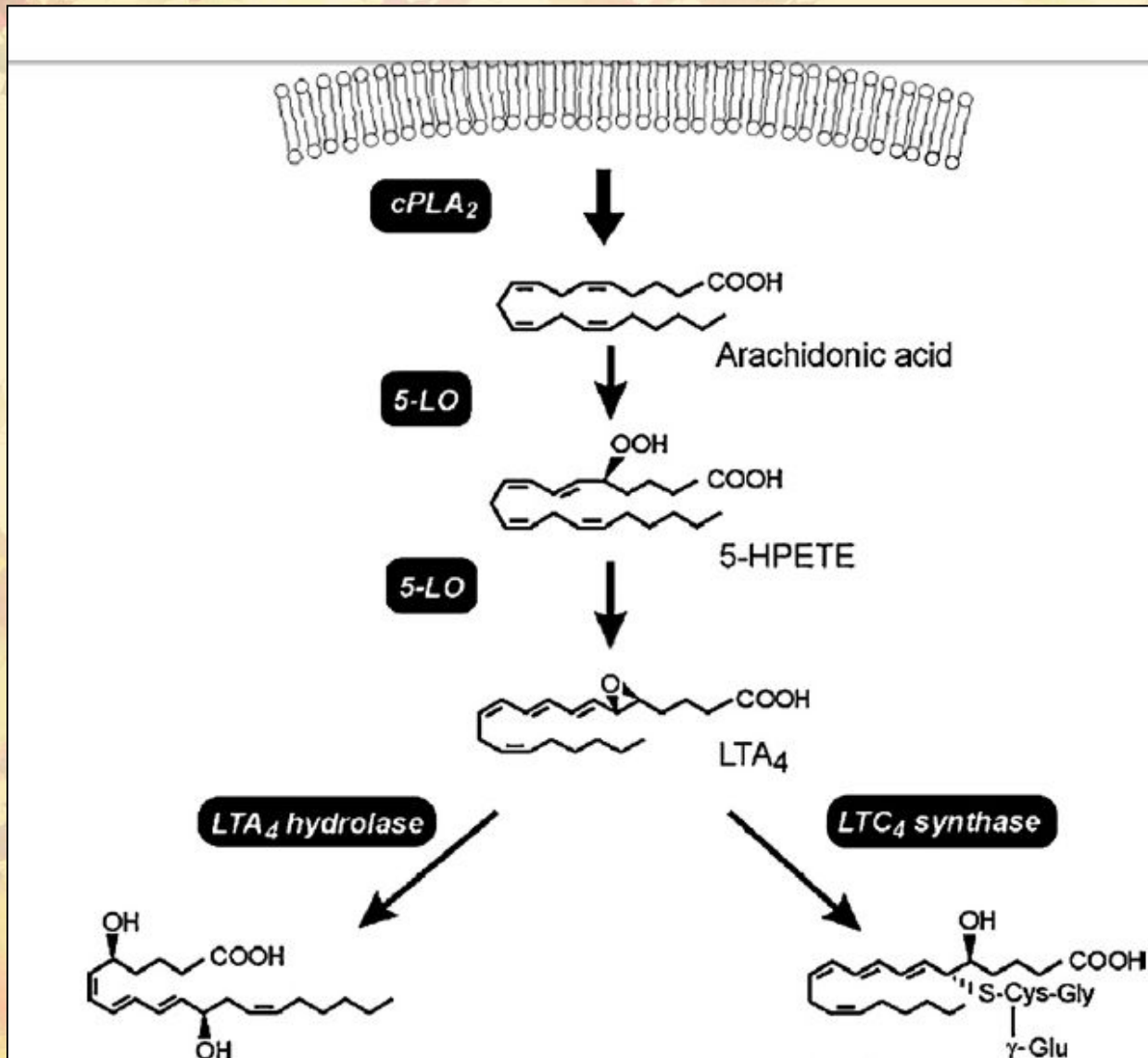
Механизм действия ЭГ



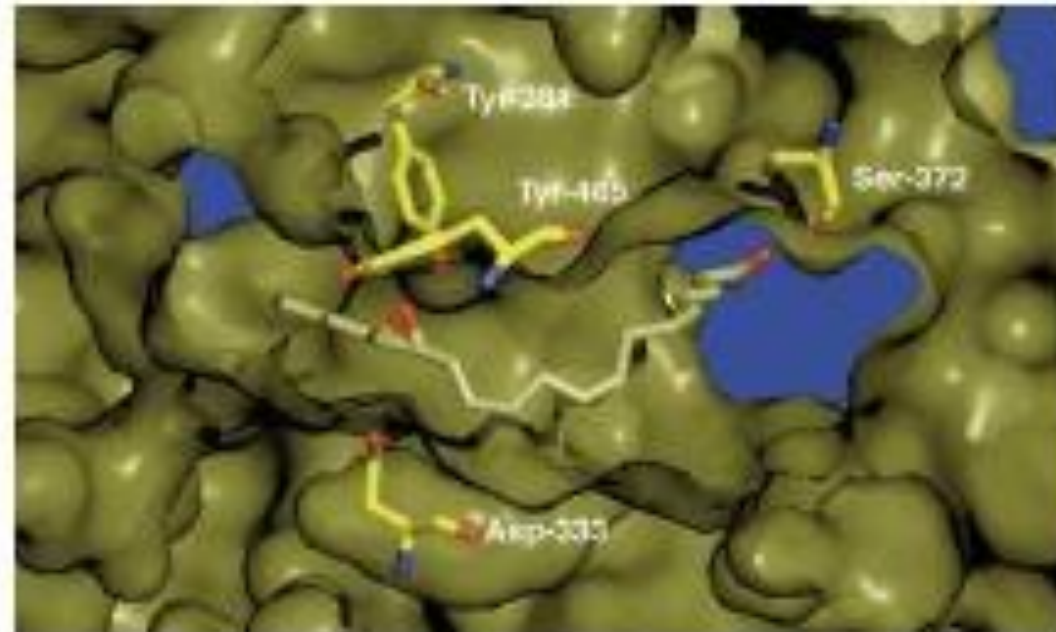
Активный центр sEH (A) и действие ингибитора диалкилмочевины (B)



ЭГ в синтезе лейкотриенов (B4 и C4)

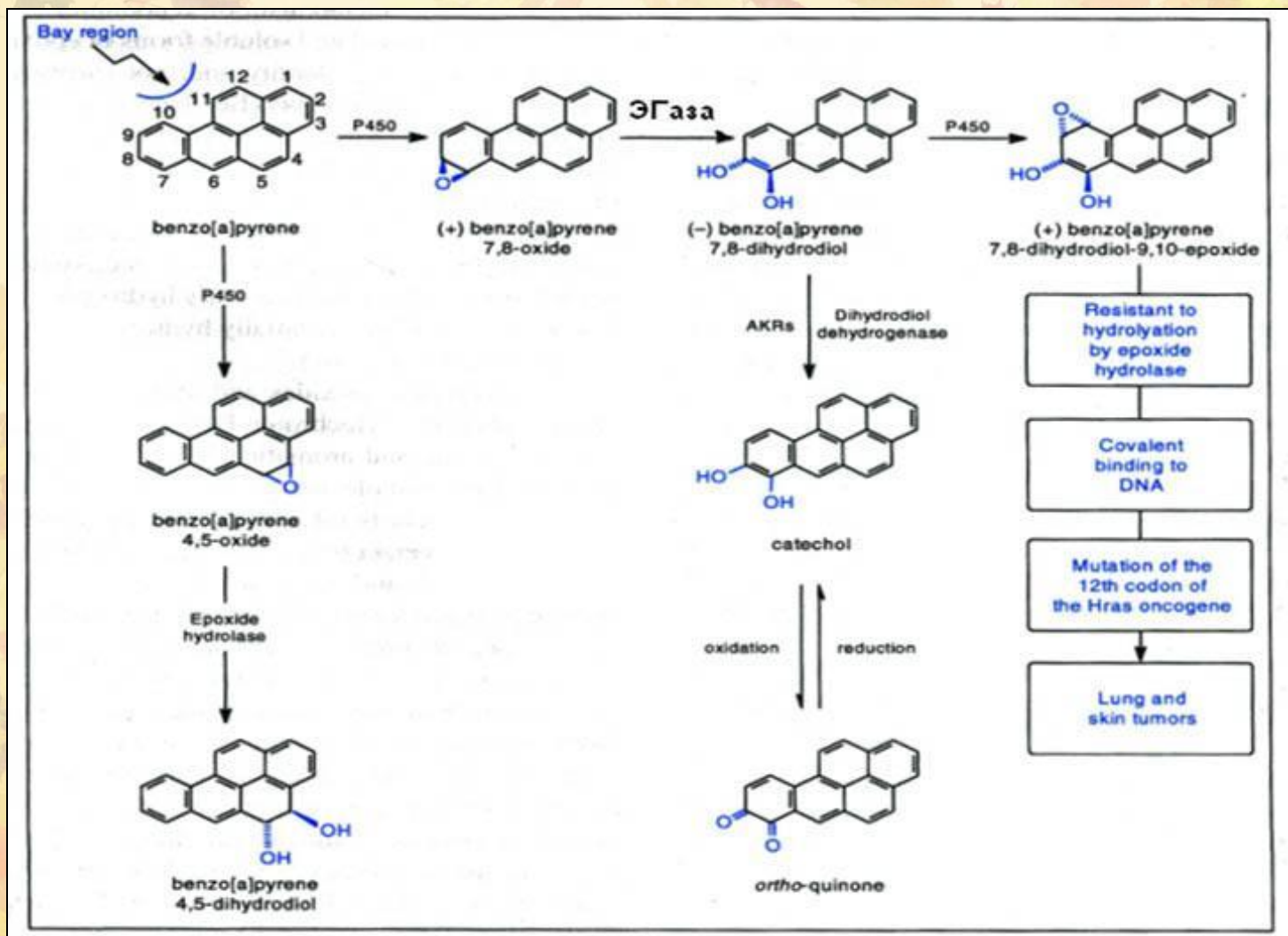


Модель взаимодействия с ЕЕТ

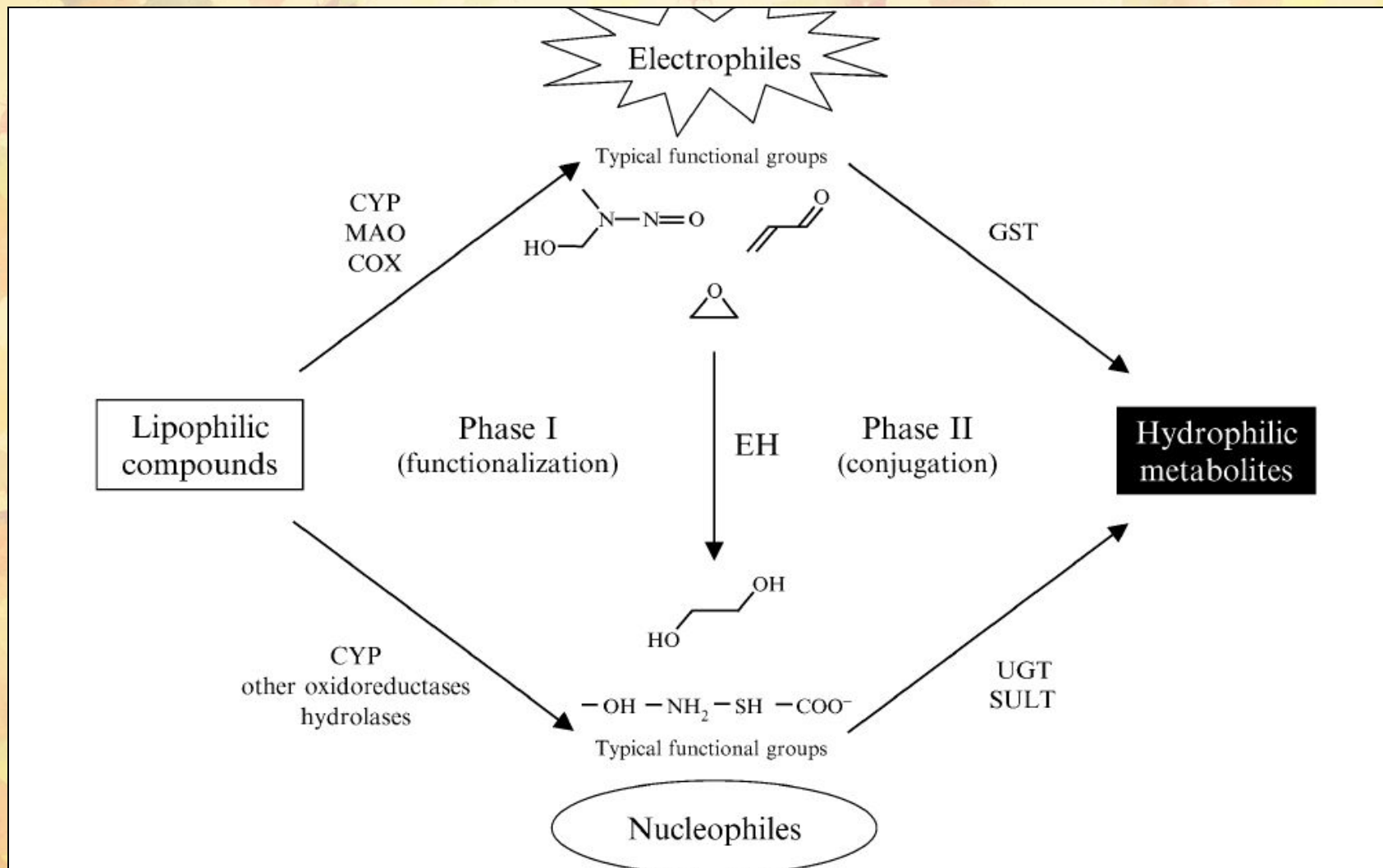


14,15-epoxyeicosatrienoic acid (ЕЕТ)

Роль эпоксидгидролазы в метаболизме БП

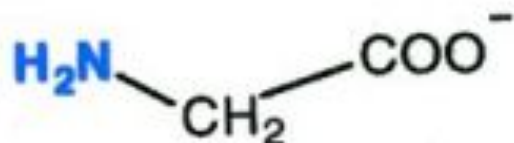


Роль ЭГ в детоксикации

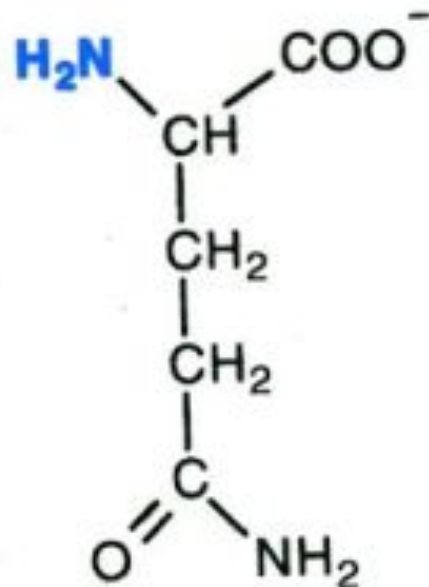


6. Реакции конъюгации с аминокислотами

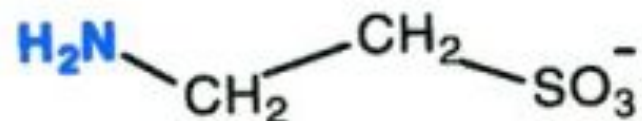
Amino Acid Conjugation



Глицин



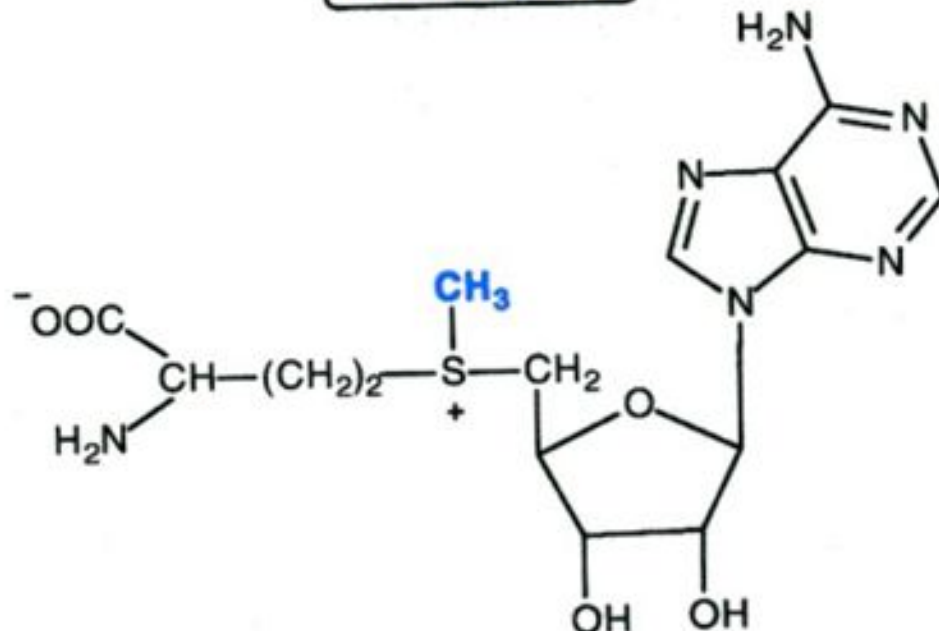
Глутамат



Таурин

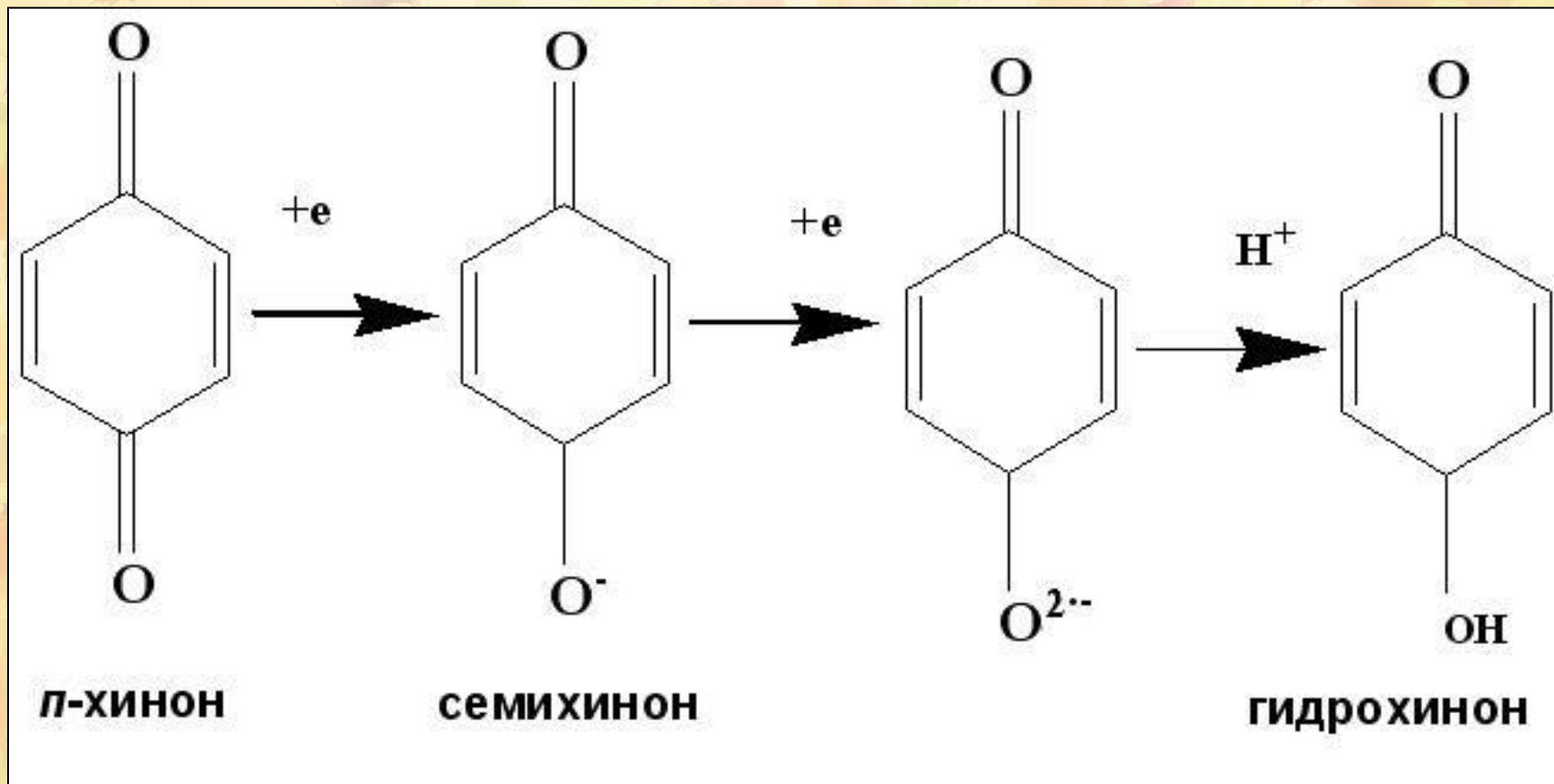
7. Метилирование

Methylation

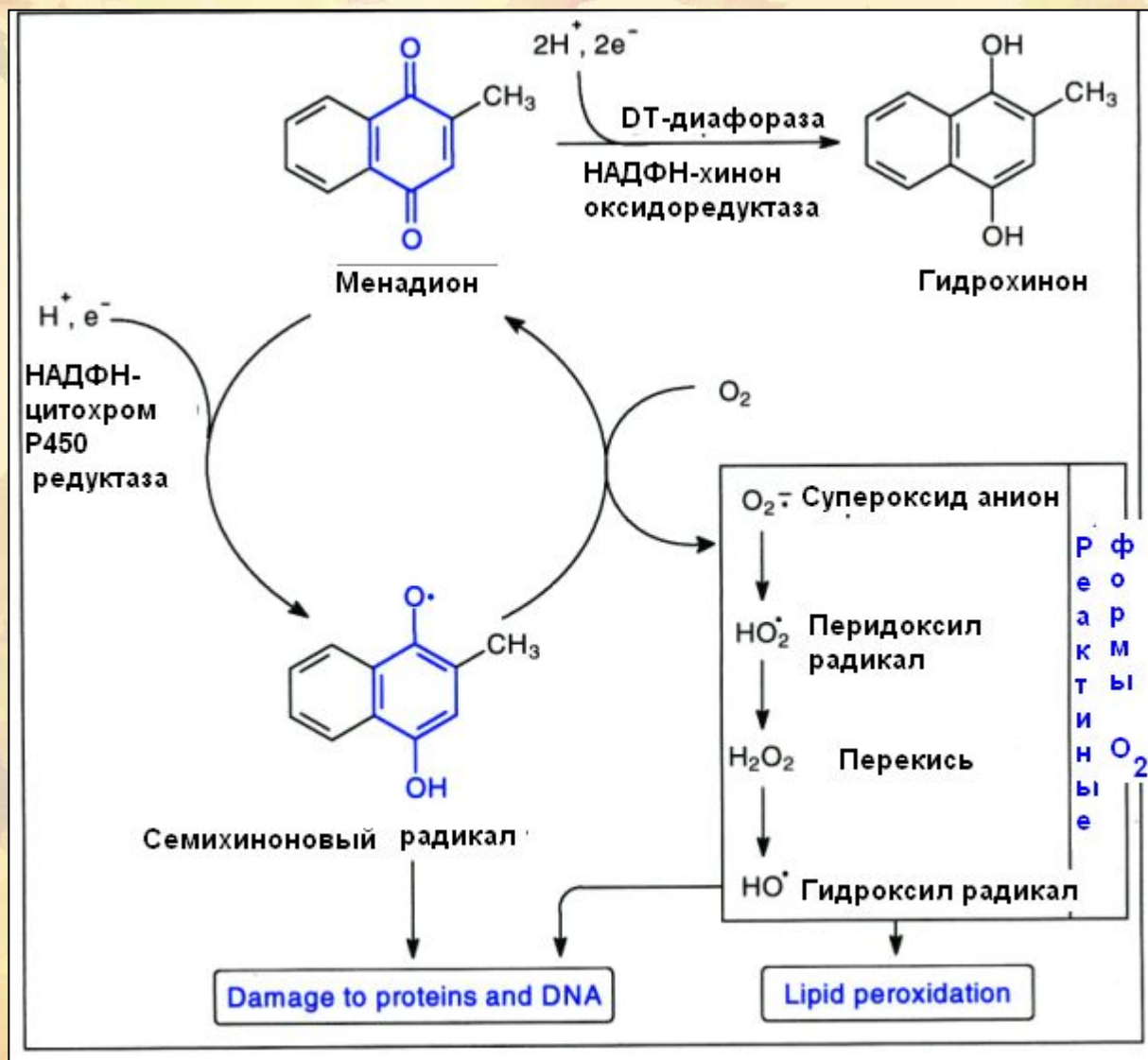


S-Аденозилметионин (SAM)

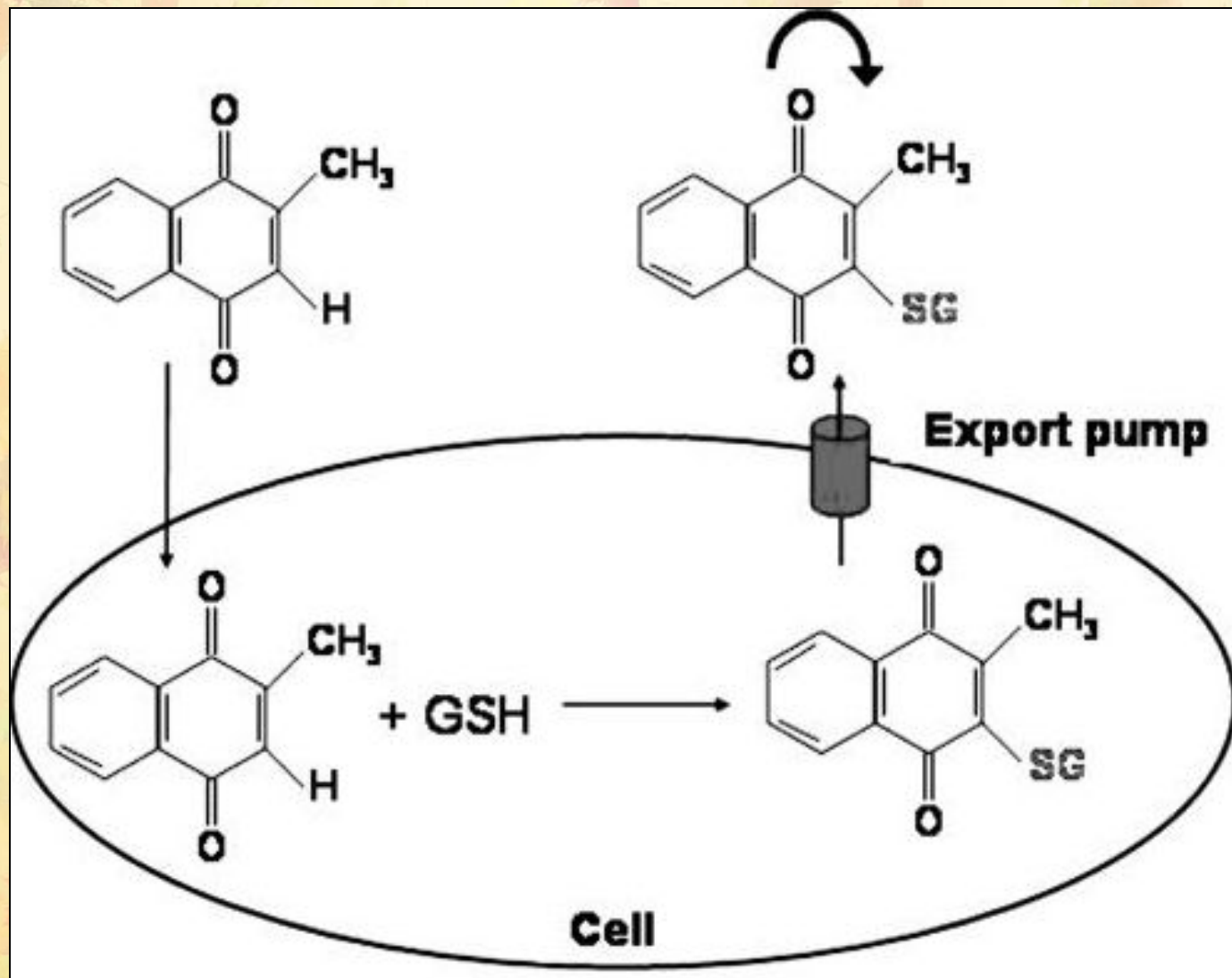
8. Диафораза



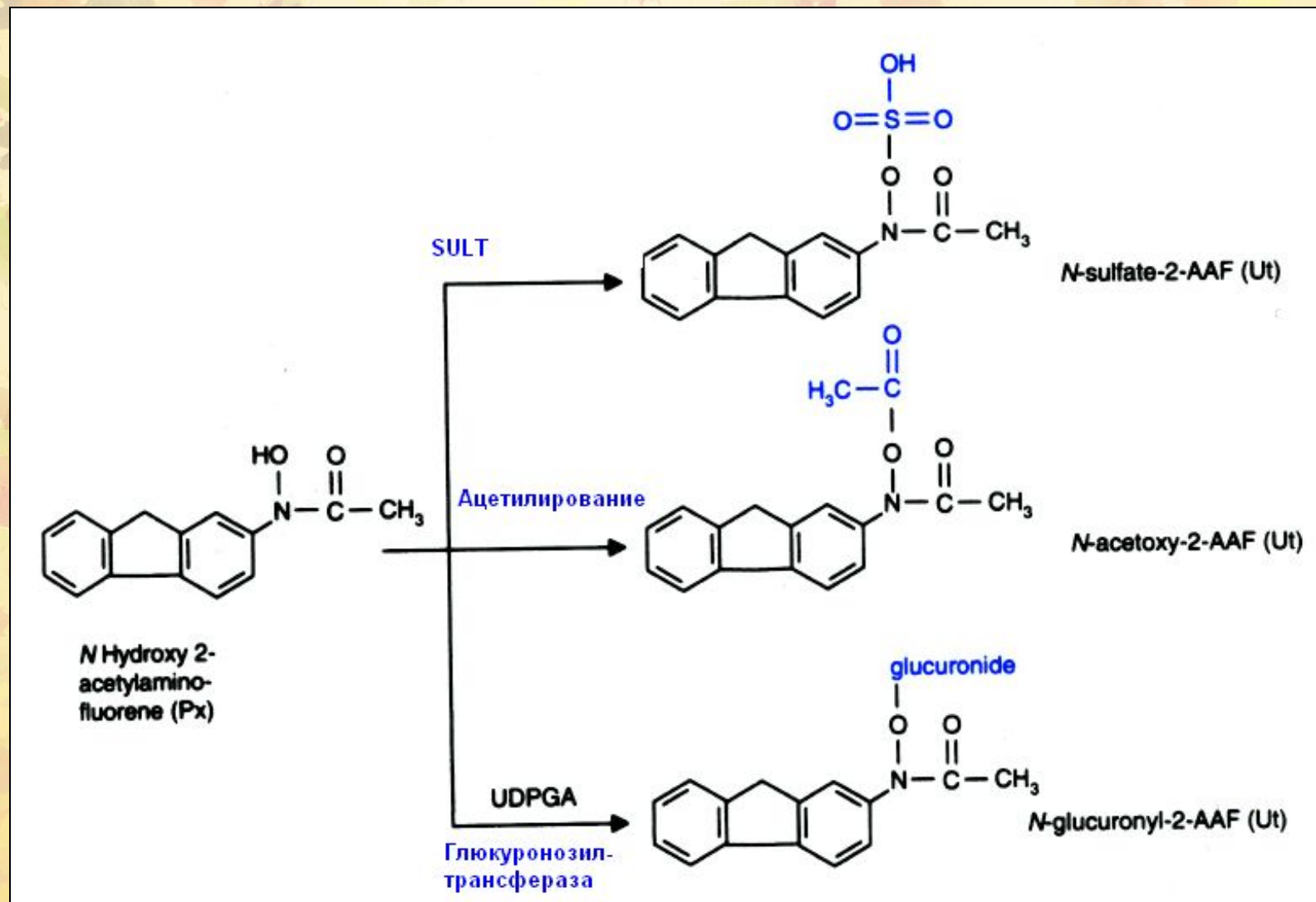
Восстановление менадиона DT



Детоксикация менадиона



Реакции токсификации, катализируемые ферментами 2-й фазы



Полиморфные ферменты, метаболизирующие анти-раковые лекарства

Ферменты	Субстраты
Dihydropyrimidine dehydrogenase (DPD)	5-Fluorouracil
Cytochrome P450 (CYP)	
1A1, 1A2	Dacarbazine
2A6	Cyclophosphamide, ifosfamide, tegafur
2B6	Cyclophosphamide, ifosfamide
2C8	Cyclophosphamide, ifosfamide, paclitaxel
2C9	Cyclophosphamide, ifosfamide
2C19	Teniposide
2E1	Dacarbazine
3A4	Teniposide, etoposide, cyclophosphamide, ifosfamide, vindesine, vinblastine, vincristine, vinorelbine, paclitaxel, docetaxel, irinotecan
NAD(P)H:quinone oxidoreductase 1 (NQO1)	Mitomycin C
N-acetyltransferase 2 (NAT2)	Amonafide
Thiopurine methyltransferase (TPMT)	6-Mercaptopurine, 6-thioguanine
Glutathion S-transferase (GST)	Busulfan
Uridine diphosphate glucuronosyltransferase (UGT)	Irinotecan, epirubicin, topotecan

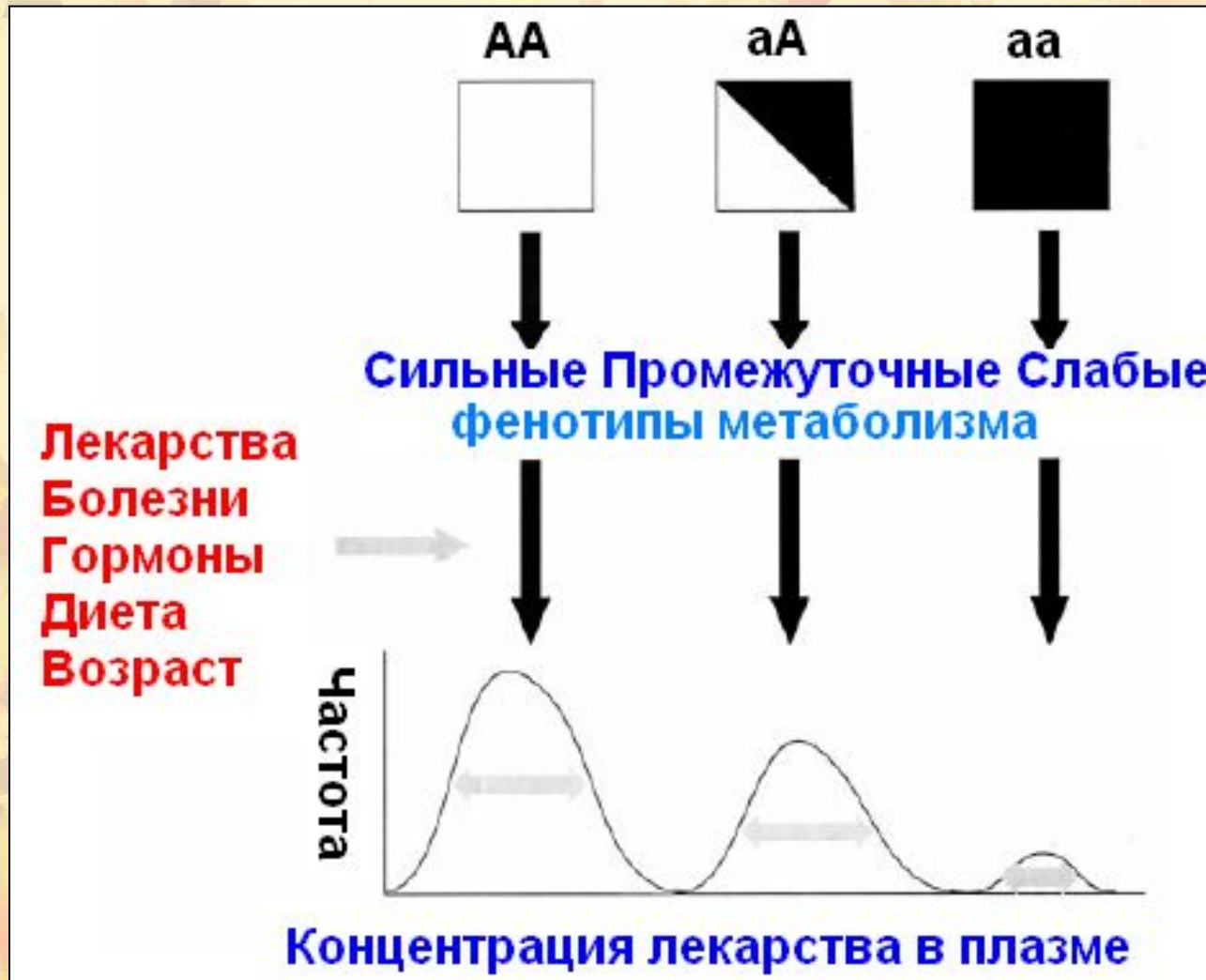
Полиморфизм ферментов II фазы и рак

Disease	Molecular biomarker	OD (95% CI)	Comments
Colorectal cancer	SULT1A1*1	4.4 (1.6–11.8)	Smoking-associated disease
	SULT1A1*1	0.47 (0.27–0.83)	
	NAT2	1.19	Fast metabolizers
Breast cancer	GSTM1	1.78 (1.39–2.17)	
	SULT1A1*2 (both homo- and heterozygous)	2.11 (1.00–4.46)	Premenopausal women smoking >5 cigarettes daily ^b
	SULT1A1*2 (both homo- and heterozygous)	2.83 (1.23–6.54)	Premenopausal women smoking >20 years ^b
	SULT1A1*2	HR ^a 2.9 (1.1–7.6)	Death among tamoxifen-treated women
	UGT1A1*28	1.8 (1.0–3.1)	Invasive disease in premenopausal African-American women
	UGT1A1*37	1.8 (1.0–3.1)	Invasive disease in premenopausal

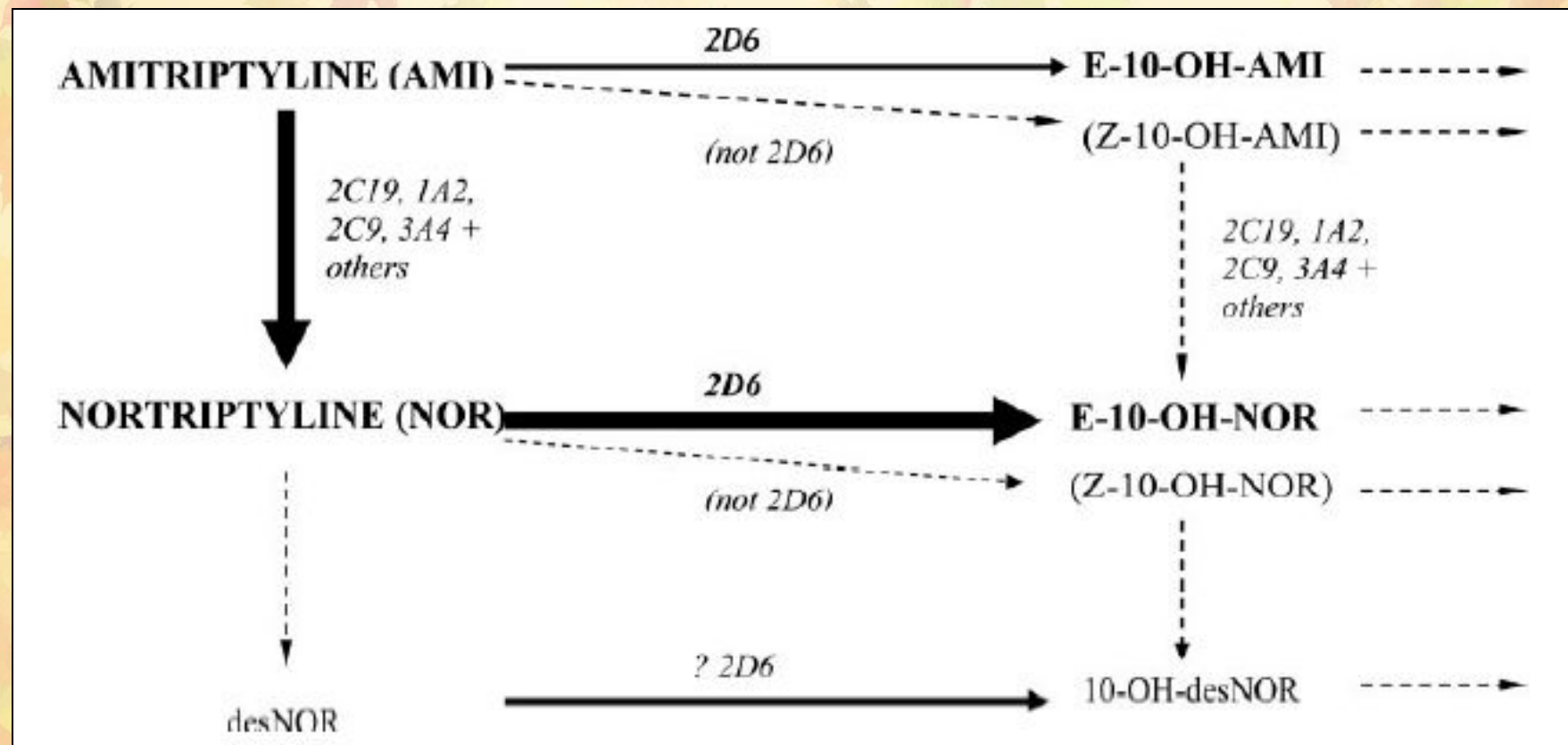
Полиморфизм ферментов II фазы и рак

Lung cancer	SULT1A1*2 (both homo- and heterozygous)	1.41 (1.04–1.91)	Women and current and heavy smokers
	NAT2	2.0 (1.1–3.7)	Slow-metabolizing Chinese women
	GSTM1	1.21 (1.06–1.39)	Caucasians
	GSTM1	1.45 (1.23–1.70)	Asians
Bladder cancer	NAT2	1.41 (1.23–1.80)	Slow-metabolizing Caucasians
	GSTM1	1.54 (1.32–1.80)	Caucasians
	GSTM1	1.77 (1.09–2.91)	Asians
Familial prostate cancer	GSTP1	9.31 (0.47–1.84)	
Ovarian cancer	UGT1A1*28	7.20 (2.06–25.19)	Mucinous tumors ^b

Генетические и эпигенетические факторы в активности ферментов метаболизма лекарств



Метаболизм амитриптилина (антидепрессанта)



Фаза III. Транспортеры

- **(1) ATP binding cassette (ABC) семейство (около 300 белков)**

- ABCB1 (P-Glycoprotein, MDR1 или Р-гр или **MDR1**)
- ABCC1 (Multidrug Resistance Related Protein1, **MRP1**)
- ABCC2 (Multidrug Resistance Related Protein2, **MRP2**)
- ABCG2 (Breast Cancer Resistance Protein, **BCRP**)

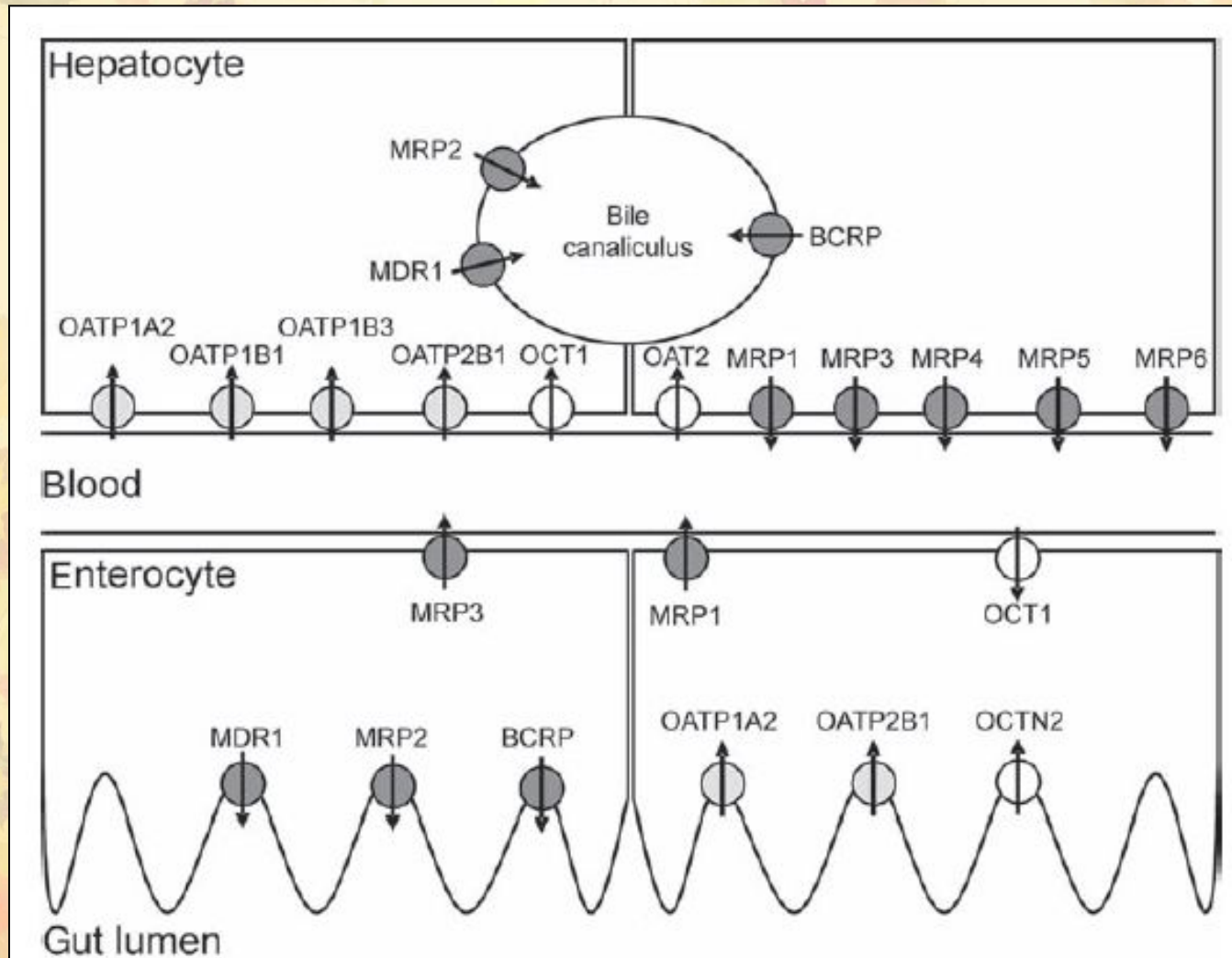
- **(2) solute carrier (SLC) семейство (drug uptake транспортеры)**

- Organic Anion Transporter Polypeptides **OATP**
- Organic Anion Transporter **OAT**
- Organic Cation Transporter **OCT**
- Peptide Transporter **PEPTs**

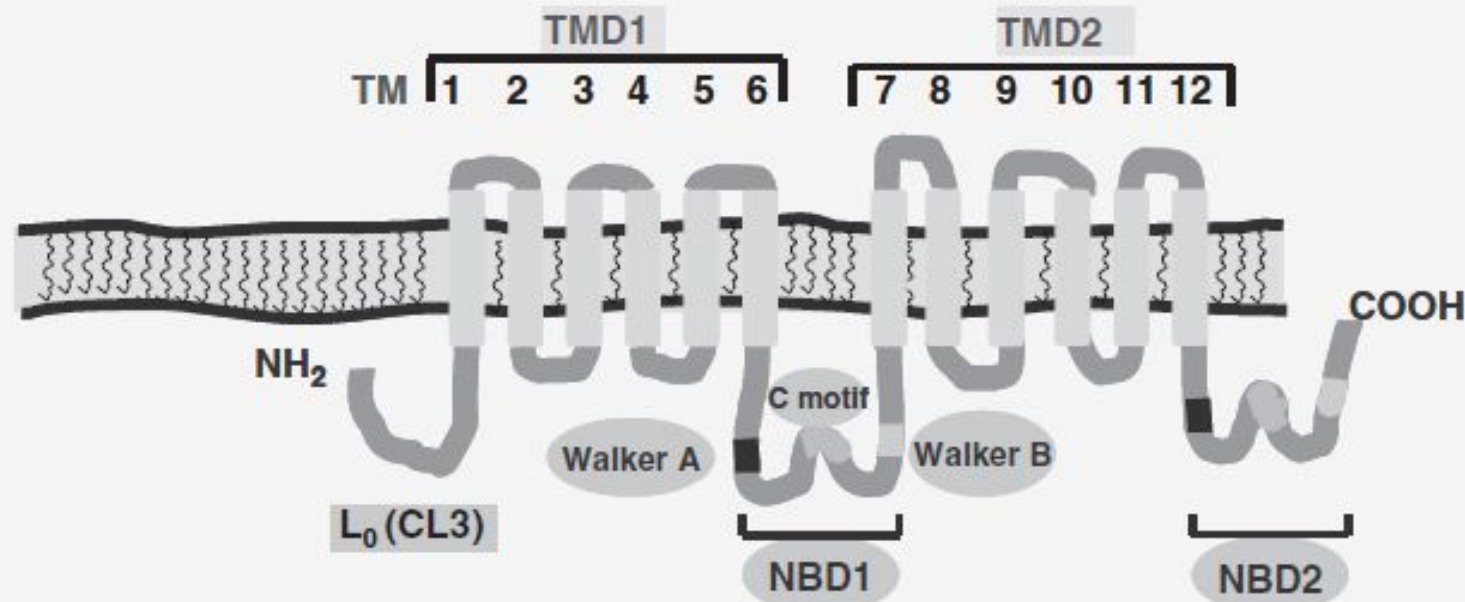
Классификация ABC семейства

Subfamily	Alternative name	Number of proteins	Proteins that confer drug resistance	
			name	number
ABCA	ABC1	12	ABCA2	1
ABCB	MDR	11	ABCB1 (P-gp) ABCB4 (MDR2) ABCB11 (BSEP, SPGP)	3
ABCC	MRP	13	ABCC1 (MRP1) ABCC2-6 (MRP2-6) ABCC10 (MRP7) ABCC11 (MRP8)	8
ABCD	ALD	4		
ABCE	OABP	1		
ABCF	GCH20	3		
ABCG	White	5	ABCG2 (BCRP)	1

Локализация белков-транспортеров в печени и кишечнике человека

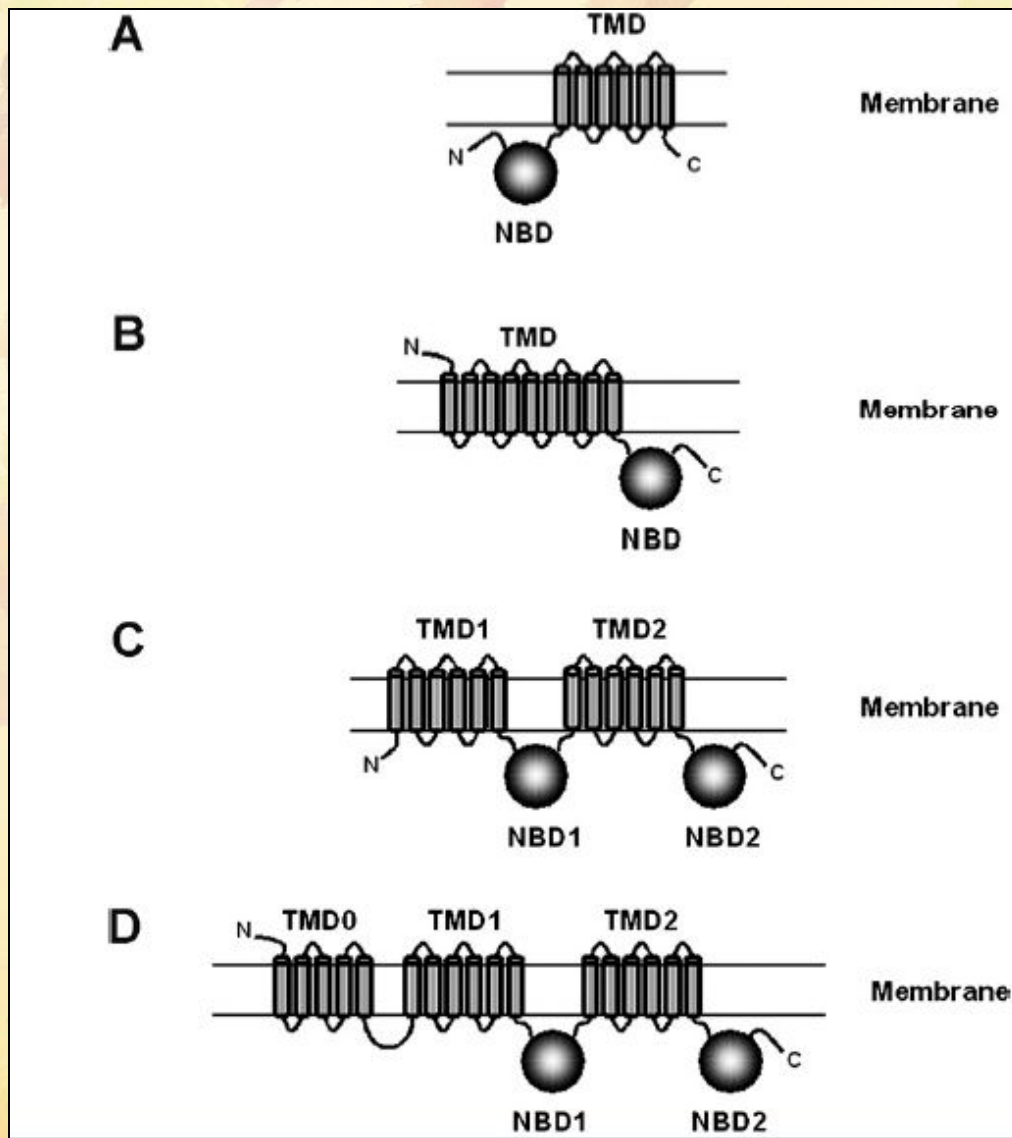


Топология гликопroteина Р



nucleotidebinding
domain (NBD)
transmembrane
domains (TMDs)

Различные типы MDRs

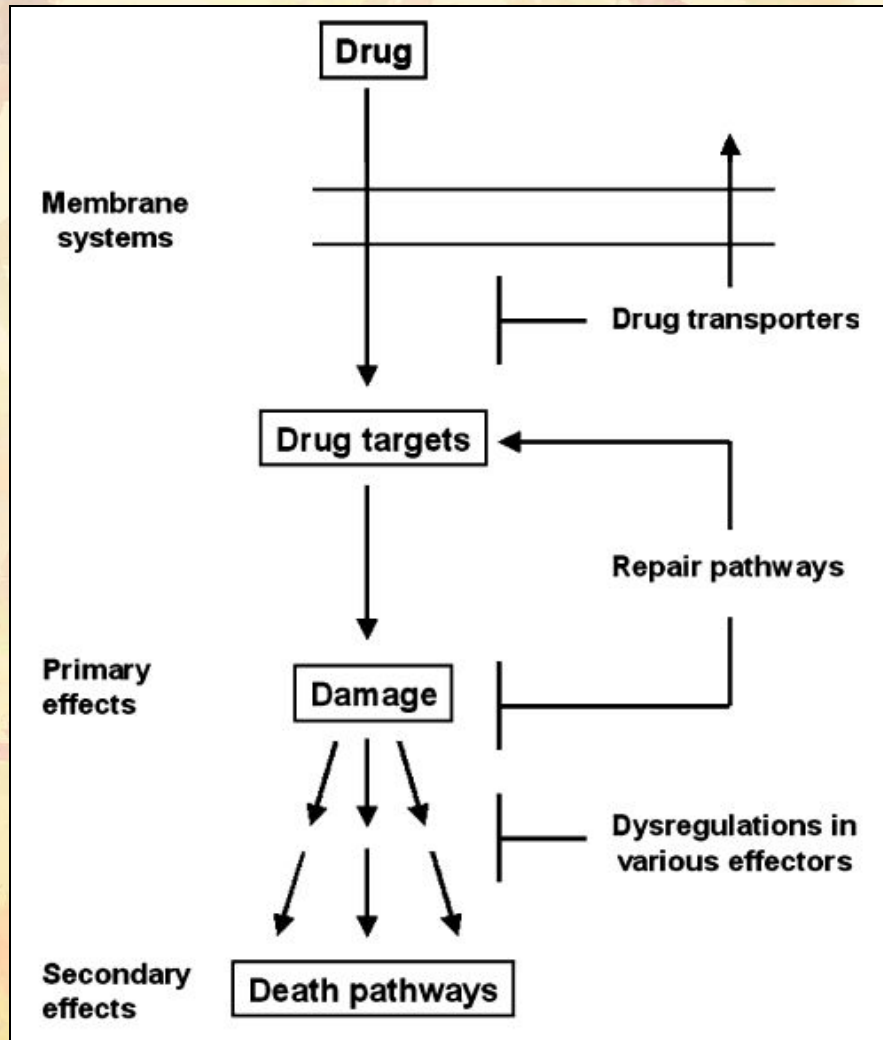


Антираковые лекарства и их транспортеры

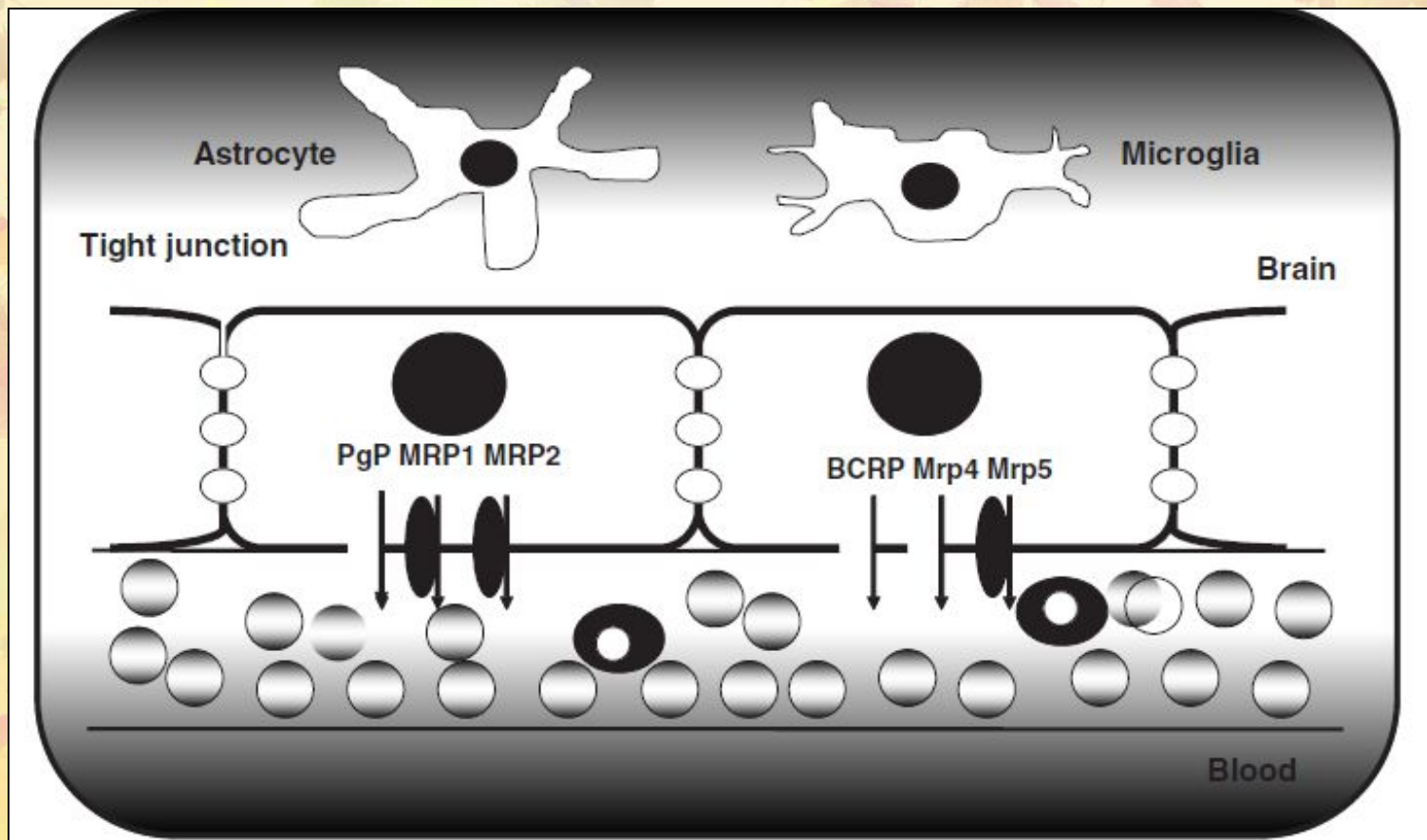
Class	Drug	Proteins
Anthracyclines	doxorubicin, daunorubicin, epirubicin, idarubicin	ABCB1, ABCC1, ABCC2*, ABCG2
Epipodophyllo-toxins	etoposide, teniposide	ABCB1, ABCC1*, ABCC2*, ABCG2
Vinca alkaloids	vincristine, vinblastine, vinorelbine	ABCB1, ABCC1, ABCC2
Taxanes	paclitaxel, docetaxel	ABCB1, ABCC2
Kinase inhibitors	imatinib, flavopyridol	ABCB1, ABCC2, ABCG2
Other preparations	mitoxantrone, tamoxifen, mitomycin, actinomycin D, methotrexate	ABCB1, ABCC1*, ABCC2*, ABCG2*

мРНК транспортеров в раковых клетках

«Сложная» судьба лекарства в раковой клетке



Транспортеры гематоэнцефалического барьера



Субстраты, индукторы, ингибиторы MDR1

Substrates	Inducers	Inhibitor
<i>Anticancer agents</i>		
Actinomycin D	Amiodarone	Amiodarone
Daunorubicin	Amprenavir	Astemizole
Docetaxel	Bromocriptine	Atorvastatin
Doxorubicin	Chlorambucil	Bepridil
Docetaxel	Cisplatin	Biricodar
Etoposide	Clotrimazole	Bromocriptine
Imatinib	Colchicine	Carvedilol
Irinotecan	Cyclosporine	Chlorpromazine
Mitomycin C	Daunorubicin	Clarithromycin
Mitoxantrone	Dexamethasone	Cortisol
Paclitaxel	Diltiazem	Cyclosporine
Teniposide	Doxorubicin	Diltiazem
Topotecan	Erythromycin	Dipyridamole
Vincristine	Etoposide	Disulfiram
Vinblastine	Flurouracil	Elacridar (GF120918)
<i>Antihypertensive agents</i>		
Celiprolol	Hydroxyurea	Erythromycin
Diltiazem	Insulin	Felodipine
Losartan	Indinavir	Fluoxetine
Talinolol	Methotrexate	Itraconazole
	Midazolam	Ketoconazole
	Mitoxantrone	LY335979
	Morphine	Midazolam
	Nelfinavir	Nicardipine

Индукция транспортеров

Transporter	Species	Inducer ^a	Organ/ Tissue/Cell ^b	Effect	NR ^c
Mdr1a	Rat	DAS	Liver	mRNA	<i>CAR</i>
Mdr1b		TSO	Liver	mRNA	<i>CAR</i>
Mdr1a, 1b		SJW	Intestine	Protein	<i>PXR</i>
		DEX	Liver	Protein	<i>PXR</i>
			bbb	Protein	
		PCN	Liver	Protein	<i>PXR</i>
			bbb	Protein	
Mdr1a	Mouse	PCN	Liver	mRNA	PXR
			Intestine	mRNA	PXR
		RU486	Liver	mRNA	PXR
		TCPOBOP	Intestine	mRNA	CAR
Mdr1b		PCN	Liver, intestine	mRNA	PXR
Mdr1a, 1b		Rifampin SJW	Intestine	Protein	<i>PXR</i>
Mdr1	Pig	Rifampin	LLC-PK1 (k)	mRNA, protein	<i>PXR</i>
MDR1	Human	Rifampin	Fa2N-4 (I) Hepatocytes	mRNA mRNA,	<i>PXR</i>